

marqué d'une aire médiane déprimée dans la moitié apicale, lisse et brillant dans la partie excavée, satiné et rugoso-ponctué ailleurs, ponctuation peu apparente; sa longueur médiane 3 fois sa largeur apicale et 2 fois sa largeur basale (24 : 8 : 12), ses bords latéraux parallèles depuis le quart basal jusqu'au tiers apical, ensuite convergents jusqu'à l'apex faiblement émarginé, ce tergite est fortement rétréci près de l'apex; angles apicaux saillants et déprimés, aire médiane à l'apex, convexe, lisse et brillante, entourée d'une sculpture plus faible; tergite II peu convexe, terne ou peu brillant, fai-

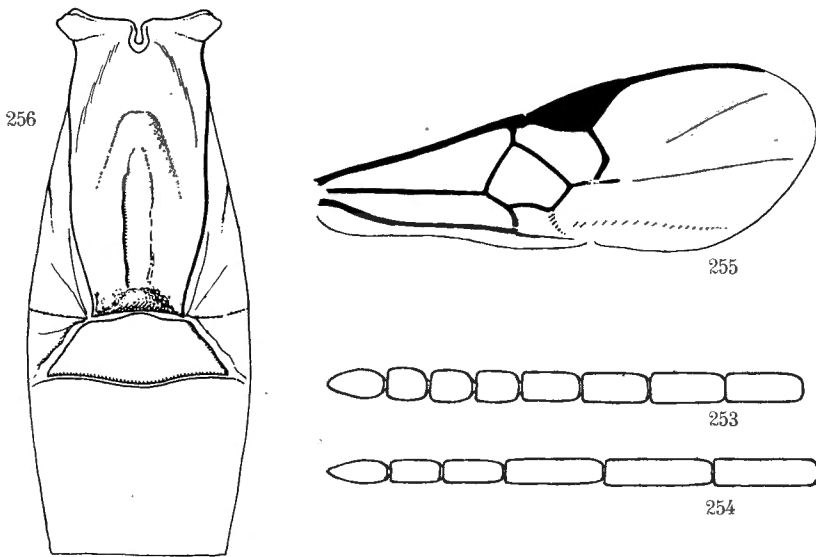


Fig. 253-256. — *Apanteles vivax* sp. n.

Fig. 253. — Sommet de l'antenne ♀. Fig. 254. — Sommet de l'antenne ♂.

Fig. 255. — Détail de la nervation de l'aile antérieure.

Fig. 256. — Détail des trois premiers tergites abdominaux.

blement et petitement sculpté, subgranulé, parfois presque lisse (lisse et brillant chez le ♂), sa base un peu plus large que l'apex du I, sa longueur médiane 1,33 fois plus courte que celui-ci, 2,66 fois plus courte que sa propre largeur apicale et 2,33 fois plus courte que la longueur médiane du III (10 : 8 : 6 : 16 : 14), sillons latéraux bien marqués, droits et largement divergents; chez le ♂, le tergite II est un peu plus long que la largeur apicale du I (8 : 7); 2^e suture fine et sinuée; tergite III brillant, lisse, portant quelques petits pointillés localisés sur les côtés; hypopygium largement membraneux sur sa ligne médiane, à apex membraneux, aigu et fendu; valves de la tarière un peu plus courtes que les tarsi III.

Longueur : 3 mm.

DISTRIBUTION GÉOGRAPHIQUE : Nyasheke, volcan Nyamuragira (alt. 1.820 m., 14-26.VI.1935), holotype ♀, allotype ♂ et paratypes; Kinyamahura, Djomba (alt. 1.800 m., 2 et 3.VIII.1934); 14 exemplaires : 12 ♂♂, 2 ♀♀.

OBSERVATIONS : L'exemplaire ♂, originaire de Kinyamahura, a les colorations testacées beaucoup plus sombres, trochanters et trochantelles II ainsi que la face supérieure des fémurs III, noirâtres; seulement le 1/3 basal des tibias III rougeâtre; tarses III noir brunâtre; mésonotum à ponctuation plus distincte; costules et carènes basales de l'aréole plus fortes que les carènes apicales; pas de stries transversales dans le cochléar; tergite I plus brillant, aire longitudinale médiane plus large et plus superficielle.

AFFINITÉS : Cette espèce ne correspond à aucun des couplets de la clef de WILKINSON; par la forme rétrécie de l'apex du 1^{er} tergite abdominal, elle s'apparente à *Ap. javensis* ROWHER, mais en diffère par d'autres caractères. Cette forme se rapproche également de l'espèce marocaine *Ap. dioryctriæ* WILKN., mais celle-ci appartient à un groupe différent, quoique les pièces génitales ♀ soient fort semblables ainsi que la forme de l'hypopygium, mais ce dernier est plus largement membraneux chez *Ap. vivax*.

102. — **Apanteles laxus** sp. n.

(Fig. 257-261.)

♂ ♀ : noirs; pattes I (sauf hanches et onychiums), trochanters, trochantelles, extrême base et apex des fémurs, tibias et tarses (sauf l'onychium) des pattes II, trochanters, trochantelles, une trace à l'extrême base des fémurs, 3/5 basilaires des tibias et base des métatarses des pattes III, partie membraneuse de l'hypopygium, rouge testacé; sternites de la base et hypopygium, rougeâtres; tarses III brun noirâtre; palpes jaune-rouge testacé; épérons des tibias III pâles; tergite III chez la ♀, à forte tendance au rougeâtre, sauf une aire médiane obtriangulaire dont la base correspond à la largeur apicale du tergite II; chez un spécimen, cette partie, ainsi que les sternites de la base sont franchement rouge testacé; ailes hyalines, très faiblement enfumées chez la ♀; stigma brun sombre, opaque; nervures assez pâles, sauf la radiale, la transverso-cubitale, ainsi que la 2^e abcisse de la médiane et parfois la 3^e, qui sont brunes.

♂ ♀. *Tête* : ligne faciale environ égale à la transfaciale; face brillante, bande médiane légèrement proéminente, ponctuation (degré 1) faiblement marquée, peu dense; clypéus différencié de la face; ostioles faciales situées à égale distance entre l'apex du clypéus et les yeux; vertex aciculé près des torules, virtuellement lisse ailleurs; occiput ponctué plus densément que la face; antennes de la longueur du corps chez la ♀, égale à la longueur du corps plus une fois l'abdomen chez le ♂; 1^{er} article du flagellum un peu plus de 3,5 fois plus long que large chez la ♀, 3 fois chez le ♂, les quatre articles préapicaux subégaux et pédicellés chez la ♀ (fig. 257 et 258).

Thorax : mésonotum faiblement brillant, à ponctuation (degré 3-4) régulière, les intervalles en moyenne un peu moindres que le diamètre des pointillés, rugueux le long des lignes des notaulices qui se terminent par une fine aciculation vers l'apex; sillon préscutellaire droit, large, assez régulièrement crénelé; disque du scutellum à faible convexité, brillant, lisse, sauf une très faible impression latérale; mésopleures lisses et brillants, ponctués

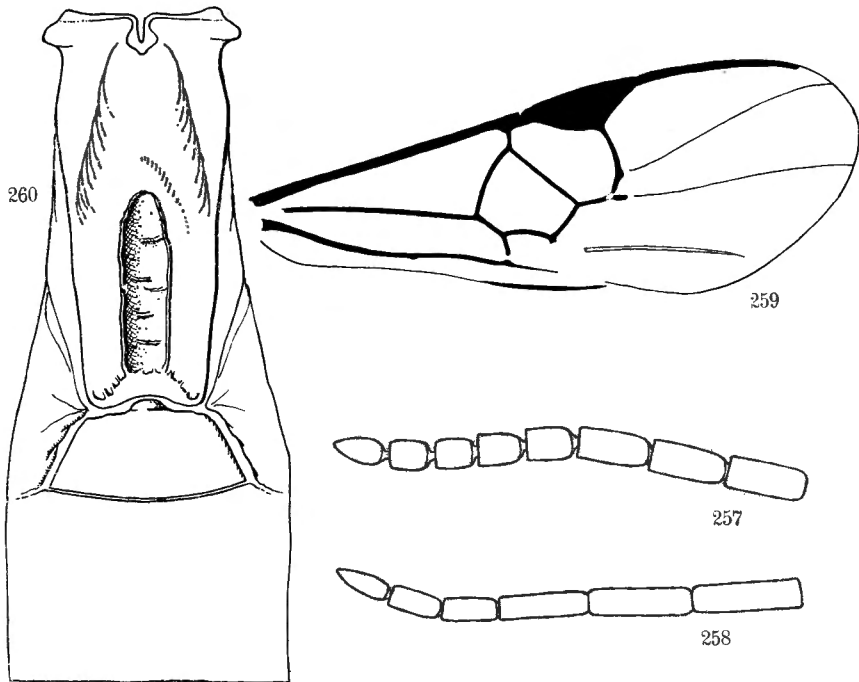


Fig. 257-260. — *Apanteles laxus* sp. n.

Fig. 257. — Sommet de l'antenne ♀. Fig. 258. — Sommet de l'antenne ♂.

Fig. 259. — Détail de la nervation de l'aile antérieure.

Fig. 260. — Détail des trois premiers tergites abdominaux.

assez superficiellement antérieurement, plus fortement dans l'angle huméral; suture méso-métapleurale finement crénelée; métapleures lisses et brillants dans le tiers antérieur, rugueux ailleurs; propodeum ruguleux basalement aux costules, portant, dans l'aréole et apicalement aux costules, quelques carènes secondaires, les intervalles lisses et brillants; aréole grande, en forme de V à l'apex, mais pas tout à fait aigu, à carènes fortes, les basales presque parallèles et se continuant jusqu'à la base du propodeum, l'aréole est ainsi largement ouverte, malgré la présence de tronçons de carènes transversales, elle ne paraît jamais distinctement fermée, costules courtes et droites ou très faiblement obliques.

Ailes : 1^{re} abcisse de la radiale un peu plus longue que la largeur du stigma, environ double de la transverso-cubitale et formant avec celle-ci un angle faible, leur point de jonction marqué d'un petit tronçon; partie apicale de la 1^{re} abcisse de la cubitale égale aux 2/3 de la radiale et double de la partie pigmentée de la 2^e abcisse qui est, elle-même, un peu plus courte que le sommet de la basale; récurrente égale à la largeur du stigma; ce dernier plus court que le métacarpe (fig. 259).

Pattes III : hanches portant quelques punctuations assez faibles sur la facette plane, en dessus à la base, ainsi qu'une petite aciculation qui se con-

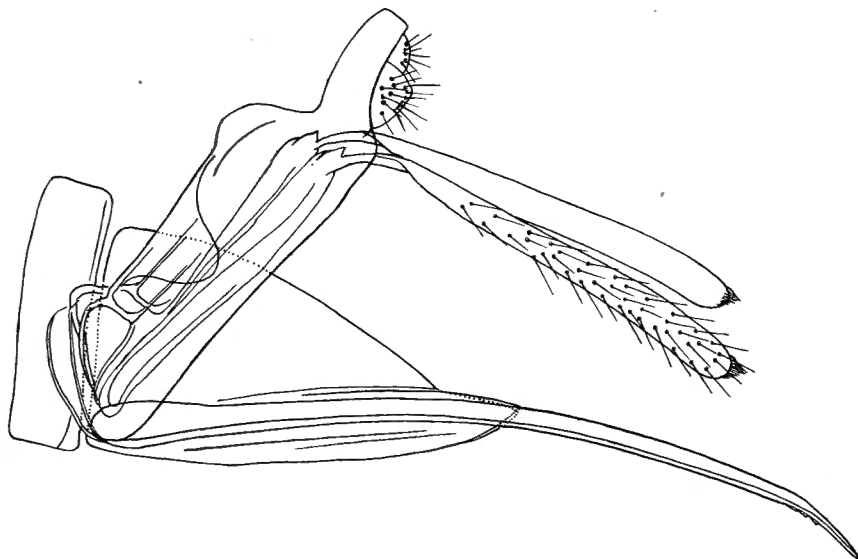


Fig. 261. — *Apanteles laxus* sp. n., hypopygium et genitalia, vus de profil.

tinue vers l'apex, lisses et très brillantes sur la face externe; fémurs brillants, à petite punctuation peu densément placée. Proportions : hanches, 25/40; fémurs, 16/52; tibias, 11/70; tarsi : I, 32; II, 12, III, 10; IV, 8; V, 10; le plus long éperon des tibias un peu plus long que la moitié et le plus court environ le tiers de la longueur des métatarses.

Abdomen (fig. 260) : tergite I brillant, excavé à la base et striolé, proéminent un peu avant le milieu, rugueux et strié longitudinalement dans les 2/3 apicaux, marqué d'une aire longitudinale médiane excavée, de forme variable, allant du sommet de la proéminence médiane à l'aire apicale lisse et brillante, longueur médiane du tergite 3,2 fois sa largeur apicale et 2,28 fois sa largeur basale (32 : 10 : 14), ses bords latéraux faiblement sinués et convergents de la base à l'apex échancré, angles apicaux légèrement arrondis; tergite II lisse et brillant, marqué parfois de quelques petits pointillés dans la moitié apicale, à peine convexe, sa largeur basale un peu plus grande que

l'apex du I, sa longueur médiane égale à la largeur apicale du I et un peu plus de la moitié de sa propre largeur apicale (10 : 10 : 18), sillons latéraux bien marqués, droits et divergents; 2° suture fine, arquée vers l'arrière; tergite III, en moyenne 1,5 fois plus long que le II (longueur légèrement variable), brillant et portant l'habituelle petite ponctuation, excepté sur l'aire médiane obtriangulaire de teinte plus sombre chez la ♀; hypopygium aigu et fendu à l'apex, à prolongement membraneux; valves de la tarière de la longueur des fémurs III (fig. 261).

Longueur : ♂, 3 à 3,5 mm.; ♀, 3,5 à 3,8 mm.

DISTRIBUTION GÉOGRAPHIQUE : Rwindi (alt. 1.000 m., 20-24.XI.1934), holotype ♀; Rutshuru (alt. 1.285 m., 29-31.V, 1-6.VI, 2-6-8 et 12.VII.1935), allotype ♂ et paratypes; Rutshuru, riv. Lubirizi (alt. 1.285 m., 13.VII.1935); Rutshuru, riv. Fuku (alt. 1.250 m., 4.VII.1935); 13 exemplaires : 9 ♂♂, 4 ♀♀.

AFFINITÉS : Cette espèce se place, dans la clef de WILKINSON, entre les espèces éthiopiennes *Ap. langerburgensis* SZÉPL. et *Ap. syleptae* FERR. Elle se rapproche plus de la première, mais elle s'en sépare par la forme du 1^{er} tergite abdominal, ainsi que par plusieurs autres caractères.

103. — *Apanteles schoutedeni* DE SAEGER.

Apanteles schoutedeni DE SAEGER, Rev. Zool. Bot. Afr., XXXV, 1941, p. 240, ♂ ♀.

DISTRIBUTION GÉOGRAPHIQUE : Congo Belge : Mauda (Haut-Uele); coll. DE WITTE : Monga (Uele) (alt. 450 m., 18.IV-8.V.1935); 7 exemplaires : 6 ♂♂, 1 ♀.

Les spécimens récoltés par la Mission DE WITTE correspondent parfaitement au type de cette espèce, ils présentent, cependant, des différences dans l'intensité de certains caractères.

♂ ♀ : fémurs II, noir brunâtre, sauf au sommet; nervure costale rouge testacé apicalement, pâle sur presque toute sa longueur; aire médiane, dans la partie apicale du tergite I, à peine marquée.

Hôte et *cocon*, inconnus.

OBSERVATION : Cette espèce ne fait pas partie de la faune du Parc National Albert.

104. — *Apanteles gitebe* sp. n.

(Fig. 262.)

Espèce très semblable à *Ap. luteocinctus* DE SAEGER (n° 105), dont elle se différencie par les caractères suivants :

♀ : tegulae, près de la 1/2 apicale des hanches (plus largement en dessous), trochanters, trochantelles, fémurs (sauf l'apex en dessus), 2/3 basilaire des tibias des pattes III, parties latérales et bande apicale du ter-

gite III, rouge testacé; légèrement les tibias et les tarsi des pattes II entièrement, une légère trace à la base des tibias III, brunâtre.

♀ : pattes III, hanches satinées, faiblement rugueuses et ponctuées en dessus, avec quelques acicules immédiatement en dessous de cette sculpture et portant quelques très petits pointillés, très épars, sur la face externe. Proportions : hanches, 20/34; fémurs, 13/45; tibias, 9/55; tarsi : I, 30; II, 10; III, 9; IV, 7; V, 10.

Abdomen (fig. 262) : tergite I excavé à la base, proéminent au milieu et faiblement courbé, rugueux, satiné et plus faiblement sculpté dans la moitié basale, brillant dans la moitié apicale et marqué dans cette partie d'une

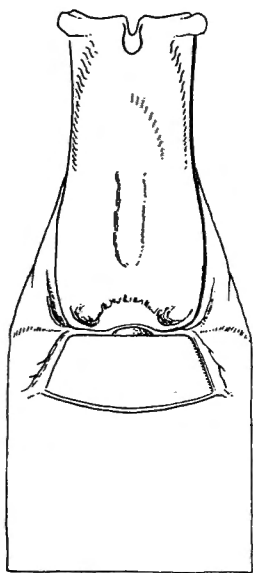


Fig. 262. — *Apanteles gitebe* sp. n.,
détail des trois premiers tergites abdominaux.

aire médiane allongée, légèrement déprimée et plus faiblement sculptée, ainsi que d'une petite aire médiane apicale, lisse et brillante, accompagnée de chaque côté d'une fossette; largeur médiane du tergite I, 2,45 fois ses largeurs basale et apicale, qui sont égales et environ 2 fois sa plus grande largeur située au tiers apical (29 : 11 : 11 : 13), ses bords latéraux subparallèles dans les 2/3 basilaires et s'incurvant ensuite jusqu'à l'apex, celui-ci légèrement émarginé et à angles latéraux arrondis; tergite II légèrement convexe, brillant, lisse, sauf pour quelques très légères irrégularités du tégument à la base et une rangée de fines soies au tiers apical, ses sillons latéraux droits, divergents et bien marqués, sa longueur médiane 1,57 fois plus courte que la largeur apicale du I, un peu moins de la moitié de sa propre largeur apicale et la moitié de la longueur médiane du III

(7 : 11 : 15 : 14), tergite III légèrement satiné, à petite ponctuation habituelle, localisée latéralement et vers l'apex.

Ailes : 1^{re} abcisse de la radiale 1/3 plus longue que la largeur du stigma, un peu incurvée et ne formant pas d'angle avec la transverso-cubitale, celle-ci est plus courte que la moitié de la précédente et un peu plus courte que la partie apicale de la 1^{re} abcisse de la cubitale; récurrente égale à la largeur du stigma, ce dernier plus court que le métacarpe.

Longueur : 3 mm.; ♂, inconnu.

DISTRIBUTION GÉOGRAPHIQUE : Gitebe, volcan Nyamuragira (alt. 2.324 m., 14-26.VI.1935); 1 exemplaire ♀ holotype.

AFFINITÉS : La similitude de cette espèce avec *Ap. luteocinctus* DE S. est très grande, le caractère qui l'en distingue principalement est la largeur apicale du 1^{er} tergite abdominal, qui n'est pas plus large au sommet qu'à la base et aussi l'absence d'angle entre la 1^{re} abcisse de la nervure radiale et la transverso-cubitale.

105. — *Apanteles luteocinctus* DE SAEGER.

Apanteles luteocinctus DE SAEGER, Rev. Zool. Bot. Afr., XXXV, 1941, p. 247, ♀.

DISTRIBUTION GÉOGRAPHIQUE : Congo Belge : Rutshuru, Kamogobe (Sud Masisi); collection DE WITTE : Rutshuru (alt. 1.285 m., 13-20, 20-21.XII.1933, 22.V, 4.VI, 6-8.VI.1934, 4.VII.1935); Rutshuru, riv. Fuku (alt. 1.250 m., 5.VI.1934); Rutshuru, riv. Musugereza (alt. 1.100 m., 10.VI.1935); Ruhengeri, riv. Penge, Ruanda (alt. 1.800-1.825 m., 30-31.VIII.1934, 4-5.X.1934); Ruhengeri, sources Kirii, Ruanda (alt. 1.800-1.825 m., 31.VIII.1934); Ngesho (alt. 2.000 m., 3-6.IV.1934); 20 exemplaires ♀ ♀.

Hôte et cocon, inconnus.

a) *Apanteles luteocinctus kirii* ab. n.

Semblable à l'espèce, dont elle se différencie par les caractères suivants :

♀ : apex des tibias et tarses des pattes II (sauf la base des métatarses) brunâtres; hanches III plus largement à la base et fémurs III environ dans le 1/4 ou le 1/5 apical en dessus, noirs; coloration du tergite III moins fortement rouge testacé, parfois à peine rougeâtre ou, seulement ainsi, à l'apex et latéralement.

♀ : hanches III moins sculptées, portant quelques gros pointillés bien marqués sur la facette plane en dessus à la base; tergite I plus court et plus large, longueur médiane 1,66 fois la largeur apicale et 2,14 fois la largeur basale (30 : 18 : 14); le tergite II est, par suite, plus large et environ égal à la moitié ou à peine plus court que la moitié du III; 2^e suture moins

sinuée ou légèrement arquée vers l'arrière; valves de la tarière plus longues que les fémurs III, environ de la longueur des tibias correspondants.

DISTRIBUTION GÉOGRAPHIQUE : Ruhengeri, sources Kirii, Ruanda (alt. 1.800-1.825 m., 31.VIII.1934), holotype ♀; Tshengelero, près de Munagana (alt. 1.750 m., 21.VIII.1934); Shamuheru, volcan Nyamuragira (alt. 1.845 m., 5.VI.1935); Rutshuru, riv. Kanzarue (alt. 1.200 m., 16.VII.1935); Burunga, Mokoto (alt. 2.000 m., 17-19.III.1934); Nyasheke, volcan Nyamuragira (alt. 1.820 m., 14-26.VI.1935); 6 exemplaires ♀ ♀.

b) **Apanteles luteocinctus kabasha** ab. n.

Semblable à l'aberration précédente excepté les caractères suivants :

♀ : hanches III à l'apex et dans la moitié inférieure, rouge testacé; la partie noire des fémurs III s'étend plus longuement sur la face supérieure que chez *Ap. luteocinctus*; tibias II rouge testacé entièrement; tergite III entièrement noir; hanches III plus petites, 20/30, tandis que chez l'aberration *kirii* elles sont plus longues, 22/38, comme chez l'espèce, et aciculées dans la partie supérieure; proportions des tergites abdominaux comme renseigné pour l'aberration *kirii*.

DISTRIBUTION GÉOGRAPHIQUE : Kanyabayongo, Kabasha (alt. 1.750 m., 11.XII.1934); Ruhengeri, sources Kirii, Ruanda (alt. 1.800-1.825 m., 3.X.1934); Ruhengeri, riv. Penge, Ruanda (alt. 1.800-1.825 m., 30-31.VIII.1934); Tshengelero, près de Munagana (alt. 1.750 m., 21.VIII.1934); 4 exemplaires ♀ ♀.

c) **Apanteles luteocinctus rutshuru** ab. n.

Semblable à l'aberration précédente à l'exception des caractères suivants :

♀ : tarsi II, apex des hanches III, extrême base des fémurs III, rouge testacé; parties latérales du tergite II, rougeâtres; hanches III grandes comme chez l'espèce, mais aciculées comme chez l'aberration *kabasha*; valves de la tarière un peu plus longues que les fémurs III, pas tout à fait aussi longues que les tibias correspondants.

DISTRIBUTION GÉOGRAPHIQUE : Rutshuru (alt. 1.285 m., 6.VII.1935); 1 exemplaire holotype ♀.

106. — **Apanteles sarpedon** sp. n.

(Fig. 263-267.)

Cette espèce présente de nombreux caractères communs avec *Ap. alastor* (n° 107), elle pourrait être facilement confondue avec celui-ci au premier abord; ces deux espèces offrent, cependant, des caractères essentiels absolument différents, qui écartent toute confusion et ne permettent pas de les considérer comme appartenant à une race locale ou une aberration.

♀ : coloration très semblable à celle de *Ap. alastor*. Noire; articles basilaire des palpes maxillaires et palpes labiaux entièrement, bruns; pattes I depuis la moitié ou le tiers basal des fémurs, extrême apex des fémurs, tiers basal des tibias ou seulement la base et tarse (ceux-ci cependant un peu enfumés) des pattes II, un peu moins de la moitié basale des tibias et base des métatarses des pattes III, rouge testacé; tarse III ailleurs, brun rougeâtre; éperons des tibias II et III pâles; sclérites axillaires brun poix; costale jaune testacé presque entièrement; ailes hyalines à soies colorées; stigma opaque, brun, ainsi que les nervures sous le stigma, les autres pâles, décolorées.

♂ : semblable aux caractères décrits de la ♀, excepté les suivants :

Ailes hyalines un peu laiteuses, à soies incolores; stigma discalement hyalin, avec une très faible coloration jaunâtre, bordé de brun rougeâtre; toutes les nervures incolores; métacarpe brun rougeâtre.

♀. *Tête* : ligne faciale plus courte que la transfaciale; face peu brillante, à petite ponctuation légèrement rugueuse, quelques stries transversales et une courte carène longitudinale médiane sous les torules; clypéus bien différencié de la face; ostioles faciales à peine plus près de l'apex du clypéus que des yeux; vertex et occiput sculptés comme la face, mais un peu plus fortement; ocelles postérieurs distinctement un peu plus près l'un de l'autre que des yeux; antennes un peu plus courtes que le corps chez la ♀ (brisées chez le ♂); 1^{er} article du flagellum 3 fois plus long que large (♀) (12 : 4), 3,5 fois (♂) (14 : 4); flagellum plus épais que chez *Ap. alastor*, les quatre articles préapicaux 1,5 fois plus longs que larges (fig. 263).

Thorax : mésonotum mat, rugoso-ponctué, un peu moins finement et moins densément que chez *Ap. alastor*, ligne des notaulices plus apparentes; sillon présutellaire droit, plus large, crénelé; disque du scutellum un peu plus long que sa largeur basale, aussi rugueux que le mésonotum; pilosité du mésonotum et du disque du scutellum notablement plus forte que chez *Ap. alastor*; propodeum petitement ponctué et marqué ordinairement de rides obliques vers le milieu dans la moitié basale, plus lisse et plus brillant dans la moitié apicale, également avec quelques rides espacées, mais pas de ponctuation; aréole en forme de V à l'apex, carènes apicales faibles et ramifiées, carènes basales fortes formant un angle moins aigu que les apicales, se rejoignant au quart basal du propodeum et réunies à la base de celui-ci par une carène longitudinale médiane courte et forte, qui se divise à l'extrême base pour border, en V, une forte échancrure médiane, ces carènes ainsi que la médiane parfois mal marquées ou partiellement absentes, costules courtes, droites et assez fortes.

Ailes : 1^{re} abcisse de la radiale un peu plus courte que la largeur du stigma, 1/3 plus longue que la transverso-cubitale et formant avec celle-ci une incurvation sans angle bien défini à leur point de jonction, qui est à peine discernable; partie apicale de la 1^{re} abcisse de la cubitale un peu

plus courte que la transverso-cubitale et près de la moitié de la récurrente; stigma environ égal au métacarpe (fig. 264).

Pattes III : hanches mates, rugoso-punctuées et parfois obliquement striées en dessus, petitement punctuées et plus brillantes sur la face externe, étroitement punctuées et mates en dessous. Proportions : hanches, 20/32; fémurs, 15/40; tibias, 9/50; tarses : I, 26; II, 11; III, 9; IV, 7; V, 8; le plus long éperon des tibias un peu plus de la 1/2 et le plus court le 1/3 de la longueur des métatarses. Les proportions se présentent à peu près dans le même rapport que chez *Ap. alastor*, les fémurs sont toutefois plus larges.

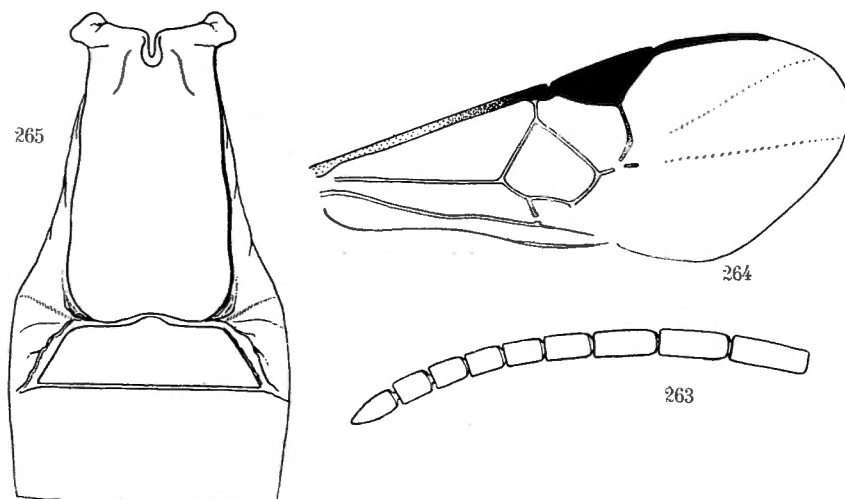


Fig. 263-265. — *Apanteles sarpedon* sp. n. ♀.

Fig. 263. — Sommet de l'antenne.

Fig. 264. — Détail de la nervation de l'aile antérieure.

Fig. 265. — Détail des trois premiers tergites abdominaux.

Abdomen (fig. 265) : tergite I assez mat, excavé à la base et lisse, vaguement sculpté ailleurs dans le tiers basal, assez grossièrement rugueux dans les 2/3 apicaux, faiblement courbé et légèrement proéminent au milieu, sa longueur médiane 2,4 fois sa largeur apicale, un peu plus de 2 fois sa largeur basale et 1,6 fois sa plus grande largeur située près de l'apex (24 : 10 : 11 : 15), ses bords latéraux plus ou moins sinués et bordés irrégulièrement, divergents jusque près de l'apex, ensuite incurvés jusqu'à celui-ci qui est émarginé et à angles très arrondis; tergite II brillant, très petitement sculpté, à apparence chagrinée, portant quelques rares soies vers l'apex, sa base un peu plus large que la largeur apicale du I et ses angles antérieurs un peu arrondis, ses sillons latéraux droits et divergents, sa longueur médiane 1,66 fois plus courte que la largeur apicale du I, 1,33 fois plus courte que sa propre largeur apicale et 1,66 fois plus courte que le III; ce dernier lisse et brillant, sauf l'habituelle petite punctuation, absente

dans le tiers basal et une bande médiane; 2° suture mince et droite, hypopygium non membraneux, large et assez court, à apex légèrement arrondi et non fendu (fig. 267); valves de la tarière un peu plus longues que les métatarses III (fig. 266).

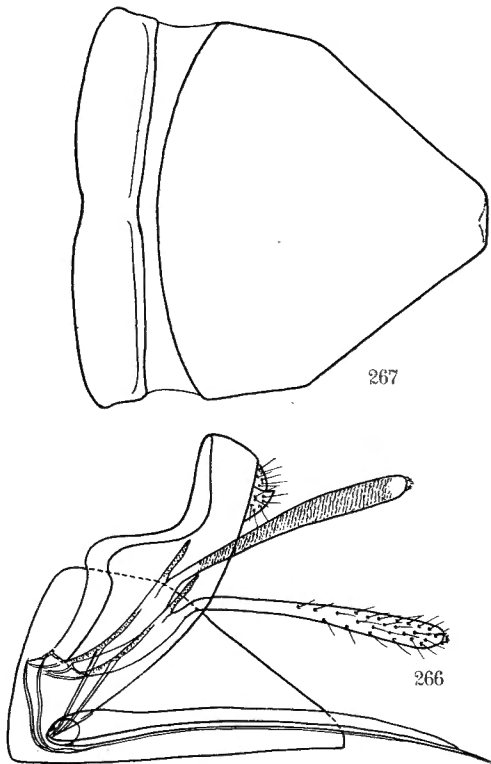


Fig. 266-267. — *Apanteles sarpedon* sp. n.

Fig. 266. — Hypopygium et genitalia, vus de profil.

Fig. 267. — Hypopygium, ouvert.

♂ : semblable à la description ci-dessus, excepté les caractères suivants :

Tergite I faiblement rugueux et terne, non proéminent, légèrement convexe, assez plat à l'apex, bords latéraux non bordés, apex à peine échancré; tergite II plus brillant, à peine et très superficiellement sculpté.

Longueur : ♂, 2,6 mm.; ♀, 3 mm.

DISTRIBUTION GÉOGRAPHIQUE : Tshengelero, près de Munagana (alt. 1.750 m., 21.VIII.1934), holotype ♀; Ruhengeri, sources Kirii, Ruanda (alt. 1.800-1.825 m., 1.X.1934), allotype ♂; vers Rweru, volcan Mikenno, forêt de Bambous (alt. 2.400 m., 26-27.VII.1934), 2 paratypes ♀♀; Mubiliba, volcan Nyamuragira (alt. 2.000 m., 14-26.VI.1935); Kitondo, près de Gandjo (alt. 2.000 m., 7-23.I.1935); 7 exemplaires : 1 ♂, 6 ♀♀.

107. — **Apanteles alastor** sp. n.

(Fig. 268-273.)

♂ ♀ : noirs; palpes, pattes I depuis le 1/3 apical des fémurs, au moins la moitié basale de la costale, rouge testacé; tibias et tarses des pattes II, brun sombre; tarses III brun noirâtre; base des tibias II et III parfois rougeâtre; sternites de la base et hypopygium, rouge sombre; ailes hyalines à soies colorées; stigma brun pâle, un peu diaphane, à bords sombres; nervures presque incolores, sauf la 1^{re} abcisse de la radiale, transverso-cubitale et partie pigmentée de la 2^e abcisse de la cubitale.

♂ ♀. *Tête*: face à peu près carrée, légèrement plus étroite à la base, médiocrement brillante, à petite ponctuation dense, tendant à être rugueuse, marquée de quelques faibles stries transversales sous les torules ainsi qu'une courte ligne médiane proéminente; clypéus peu ou pas différencié de la face; ostioles faciales plus près de l'apex du clypéus que des yeux; front, derrière les antennes, lisse et brillant; vertex et occiput à ponctuation petite, dense et rugueuse; ocelles postérieurs équidistants entre eux et les yeux; antennes effilées distalement, égales à la longueur du corps plus une fois la tête (♀), égale à la longueur du corps plus deux fois la tête (♂); 1^{er} article du flagellum un peu plus de 2,5 fois plus long que large (11 : 4); les quatre articles préapicaux subégaux chez la ♀, les deux préapicaux chez le ♂ (fig. 268 et 269).

Thorax: mésonotum mat, étroitement et finement rugoso-ponctué, marqué, parfois, d'une ligne longitudinale médiane brillante, près de l'apex, lignes des notaulices à peine discernables par une rugosité faiblement différente; sillon préscutellaire faiblement arqué, peu profond et crénelé; disque du scutellum à faible convexité, 1,4 fois plus long que sa largeur basale, à apex aigu, un peu moins mat que le mésonotum, fortement rugoso-ponctué, mais pas tout à fait aussi étroitement que le mésonotum; mésopleures lisses et brillants au milieu et vers l'arrière, fortement ponctués presque rugueux antérieurement, souvent striés près du cochléar, celui-ci bien marqué; suture méso-métapleurale crénelée dans sa partie inférieure; métapleurales lisses et brillants antérieurement, ruguleux postérieurement, à sillon médian vaguement crénelé; propodeum médiocrement brillant, assez grossièrement ruguleux dans la moitié basale, marqué de quelques rides dans la moitié apicale, qui est plus lisse et plus brillante; aréole plus ou moins lisse et un peu déprimée, à carènes assez fortes apicalement, en forme de V à l'apex, environ aussi large que longue, basalement moins bien marquée et de sculpture irrégulière, paraissant parfois fermée, parfois ouverte, les carènes basales sub-parallèles jusque près de la base du propodeum, de part et d'autre d'une aire médiane excavée, costules droites.

Ailes: 1^{re} abcisse de la radiale égale à la largeur du stigma, perpendiculaire au bord antérieur de l'aile, double de la transverso-cubitale qui est plus

épaisse et formant avec elle un angle bien marqué; partie apicale de la 1^{re} abcisse de la cubitale un peu plus longue que la transverso-cubitale, 1,5 fois plus longue que la partie pigmentée de la 2^e abcisse de la cubitale et

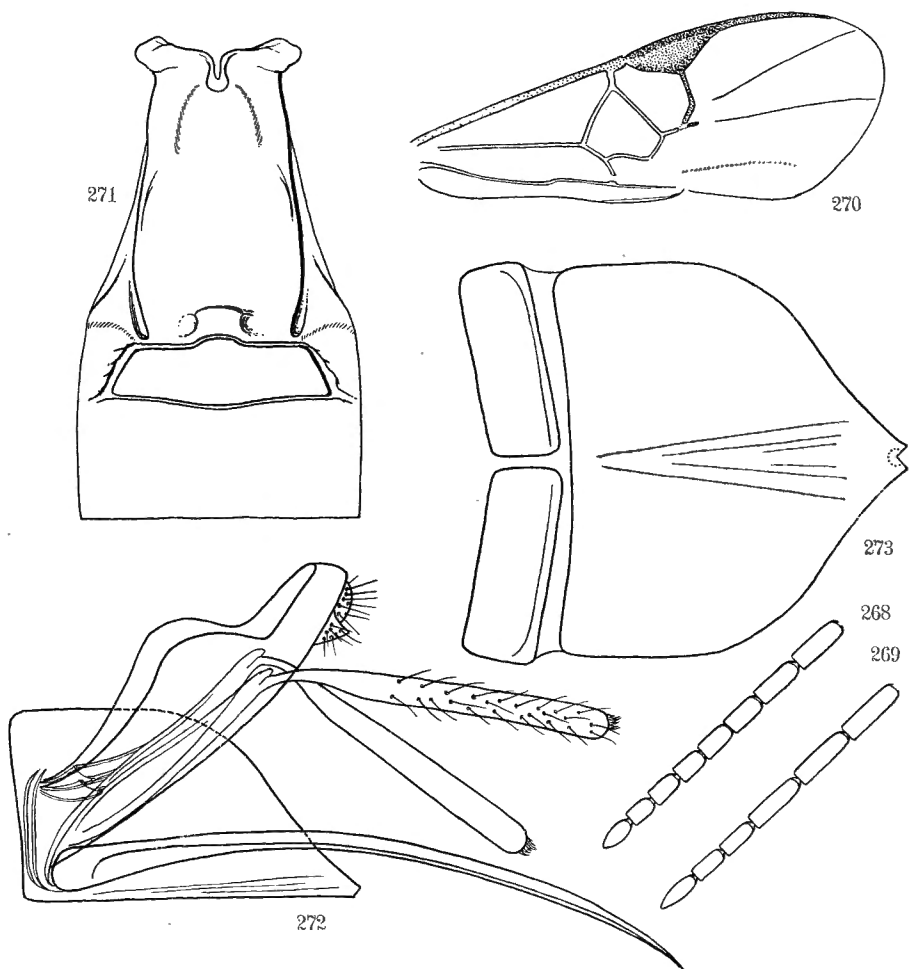


Fig. 268-273. — *Apanteles alastor* sp. n.

Fig. 268. — Sommet de l'antenne ♀. Fig. 269. — Sommet de l'antenne ♂.

Fig. 270. — Détail de la nervation de l'aile antérieure.

Fig. 271. — Détail des trois premiers tergites abdominaux.

Fig. 272. — Hypopygium et genitalia, vus de profil.

Fig. 273. — Hypopygium, ouvert.

environ égale aux $\frac{3}{4}$ de la longueur de la récurrente; stigma un peu plus court que le métacarpe (fig. 270).

Pattes III : hanches mates, rugueuses, plus finement et plus superficiellement que le mésonotum. Proportions : hanches, 18/30; fémurs, 13/40; tibias,

9/46; tarsss : I, 24; II, 11; III, 8; IV, 6; V, 6; le plus long éperon des tibias la moitié et le plus court le tiers de la longueur des métatarses.

Abdomen (ig. 271) : tergite I lisse, brillant et excavé à la base, proéminent au milieu, courbé un peu au delà du milieu, finement rugueux ailleurs dans la moitié basale, plus grossièrement rugueux-ruguleux dans la moitié apicale, marqué dans cette partie d'une aire longitudinale médiane un peu déprimée et sculptée, portant à l'apex une aire médiane lisse et brillante; sa longueur médiane 2 fois sa largeur apicale, un peu plus de 2 fois sa largeur basale et 1,6 fois sa plus grande largeur située au tiers apical, ses bords latéraux divergents de la base au tiers apical, incurvés ensuite jusqu'à l'apex, celui-ci échancré au milieu et à angles non arrondis; tergite II très finement sculpté, faiblement rugueux, assez mat, à peine proéminent discalement et portant quelques très petites soies dans la moitié apicale, sa longueur médiane, moitié moindre que la largeur apicale du I et 1,66 fois plus courte que la longueur médiane du III, ses sillons latéraux un peu courbés dans les angles antérieurs, divergents sur les côtés; 2^e suture mince, un peu arquée au milieu, presque droite; tergite III brillant, à petite ponctuation habituelle, absente dans un espace obtriangulaire à la base; hypopygium membraneux, aigu, à apex légèrement fendu (fig. 272 et 273); valves de la tarière de la longueur des tibias III (fig. 272).

Longueur : 2,8 mm.

DISTRIBUTION GÉOGRAPHIQUE : Rutshuru (alt. 1.285 m., 4.VII.1935), holotype ♀, 1 paratype ♀, 2 paratypes ♂♂; idem (1-6.VI.1935, 2, 3 et 4.VII.1935); ibidem (13.VII.1935), allotype ♂; ibidem (23.VII.1934, 16.X.1934); Sake, lac Kivu (alt. 1.460 m., 19-22.II.1934); Kalondo, lac Ndaraga, Mokoto (alt. 1.750 m., 22-27.III.1934); Nzulu, Sake (alt. 1.500 m., 9-14.II.1934); 19 exemplaires : 10 ♂♂, 9 ♀♀.

AFFINITÉS : Cette espèce se caractérise principalement par la rugosité du disque du scutellum qui l'a fait se placer, dans la clef de WILKINSON, en même temps que l'espèce cinghalaise *Ap. significans* WALK., dont elle se sépare immédiatement par la forme du 1^{er} tergite abdominal. Elle ne se place ni dans la clef de MUESEBEËK, ni dans celle de FAHRINGER.

a) ***Apanteles alastor nyongera* ab. n.**

Semblable à l'espèce, à l'exception des caractères suivants :

♀. *Coloration* : pattes I et II (sauf les hanches), trochanters, trochantelles, extrême base des fémurs, moitié basale des tibias et base des métatarses des pattes III, rouge testacé.

♀. *Tête* : ligne transfaciale plus longue que la ligne faciale; face un peu plus brillante, ponctuation à tendance moins rugueuse, pas de stries transversales sous les torules; clypéus différencié de la face par sa convexité; vertex et occiput à petite ponctuation non rugueuse.

Abdomen : tergite I plus mat, à sculpture plus fine, à peine proéminent au milieu; sculpture du tergite II à stries longitudinales légèrement apparentes, ainsi que quelques punctuations superficielles; sa longueur médiane 1,7 fois plus courte que la largeur apicale du I, 2,4 fois plus courte que sa propre largeur apicale et 1,7 fois plus courte que la longueur médiane du III (7 : 12 : 17 : 12), le tergite II est, par suite, moins large et un peu plus long; 2^e suture arquée vers l'arrière; valves de la tarière un peu plus courtes que les tibias III.

DISTRIBUTION GÉOGRAPHIQUE : Nyongera, près de Rutshuru (alt. 1.218 m., 17.VII.1935), holotype ♀; Kinyamahura, Djomba (alt. 1.800 m., 23.VIII.1934); Nzulu, Sake (alt. 1.500 m., 9-14.II.1934); 3 exemplaires ♀ ♀.

108. — **Apanteles megagaster** sp. n.

(Fig. 274-279.)

♀ : noire; palpes, apex des hanches et restant des pattes I (tarses un peu plus sombres), hanches (parfois noires à la base), trochanters, trochantelles, fémurs (sauf une légère enfumure sur la face supérieure à l'apex) et tibias (sauf l'apex) des pattes II, extrême apex des hanches, trochanters, trochantelles, environ la moitié basale des fémurs (sauf la partie supérieure sur une étendue variable), environ la moitié basale des tibias des pattes III (sauf une légère enfumure sur la face supérieure) sternites et hypopygium, rouge testacé; apex des tibias et tarses des pattes II, brun noirâtre; tibias ailleurs et tarses des pattes III, noir brunâtre; tegulae rouge sombre; ailes enfumées, légèrement jaunâtres; stigma opaque, brun comme les nervures, celles-ci à peine plus claires; éperons des tibias II et III, pâles.

♂ : semblable à la ♀, à l'exception des caractères suivants : extrême apex des hanches et restant des pattes I (sauf les tarses, bruns), extrême apex des hanches, trochanters, trochantelles, partiellement les fémurs (ces derniers présentent des parties assombries) et 3/4 basilaires des tibias des pattes II, extrême apex des hanches, partie inférieure des trochanters, trochantelles et de l'extrême base des fémurs, moitié basale des tibias (plus largement en dessous) des pattes III, rouge testacé; pattes ailleurs, noir brunâtre à noir. Les pattes chez le ♂ sont parfois très sombres, les parties rouges à peine perceptibles.

♂ ♀. *Tête* : face un peu plus large que longue, assez mate, à petite punctuation (degré 2) régulière, densément placée, donnant un aspect presque rugueux au tégument; clypéus faiblement différencié de la face; ostioles faciales un peu plus près de l'apex du clypéus que des yeux; vertex à très petite punctuation, presque lisse; occiput plus densément ponctué que le vertex, mais moins fortement que la face; espace oculo-ocellaire égal à la distance séparant les ocelles postérieurs; antennes égales à la longueur du corps plus une fois la tête chez la ♀, égales à la longueur du corps plus deux fois la tête chez le ♂; 1^{er} article du flagellum 3,75 fois plus long que large chez

la ♀ (15 : 4), légèrement plus court et plus épais chez le ♂, articles préapicaux environ 2 fois plus longs que larges chez la ♀, 3 fois chez le ♂ (fig. 275 et 276).

Thorax : mésonotum brillant, à ponctuation (degré 3) assez dense, peu profonde, très superficielle latéralement, un peu plus serrée et plus profonde sur les lignes des notaulices qui sont, cependant, peu marquées; sillon pré-scutellaire droit ou faiblement arqué, parfois assez large, irrégulièrement crénelé, parfois petitement; disque du scutellum très plat, tronqué, 2 fois plus large à la base qu'à l'apex, brillant, à ponctuation (degré 2) éparse, rare sur le disque, parfois aussi dense que sur les parties latérales du mésonotum; partie lisse des axillae atteignant, au moins, la moitié de la longueur du disque; mésopleures brillants, à forte ponctuation bien espacée antérieurement, lisses ailleurs; suture méso-métapleurale petitement crénelée; métapleurales lisses antérieurement, rugoso-ponctués postérieurement; propodeum assez brillant, orné d'une petite aréole arrondie à l'apex, triangulaire à la base, reliée à la base du propodeum par une carène longitudinale médiane aussi longue que les carènes basales de l'aréole, un peu élargie à l'extrême base, parfois très faible, l'aréole pouvant même paraître ouverte, costules droites, sauf tout à fait latéralement et placées au tiers apical du propodeum, toutes ces carènes fortes, bien marquées; tégument à ponctuation sétigère forte et bien distincte basalement aux costules, petite et bien séparée à la base du propodeum, progressivement plus forte vers les costules et latéralement, où elle devient alvéolariforme, même rugueuse près des costules, plus brillante dans l'aréole et apicalement aux costules, avec quelques rides (fig. 277).

Ailes : 1^{re} abcisse de la radiale naissant au delà du milieu du bord postérieur du stigma, oblique, subparallèle à la 1^{re} abcisse de la cubitale, égale

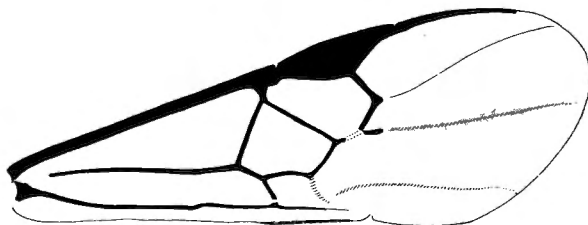


FIG. 274. — *Apanteles megagaster* sp. n., aile antérieure.

ou un peu plus longue que la largeur du stigma, environ 1/4 plus longue que la transverso-cubitale; ces deux nervures formant un angle bien marqué entre elles, leur point de jonction prolongé par un petit tronçon; partie apicale de la 1^{re} abcisse de la cubitale à peine plus courte que la transverso-cubitale et égale aux 2/3 de la récurrente, qui est égale à la 1^{re} abcisse de la radiale; stigma égal ou un peu plus court que le métacarpe (fig. 274).

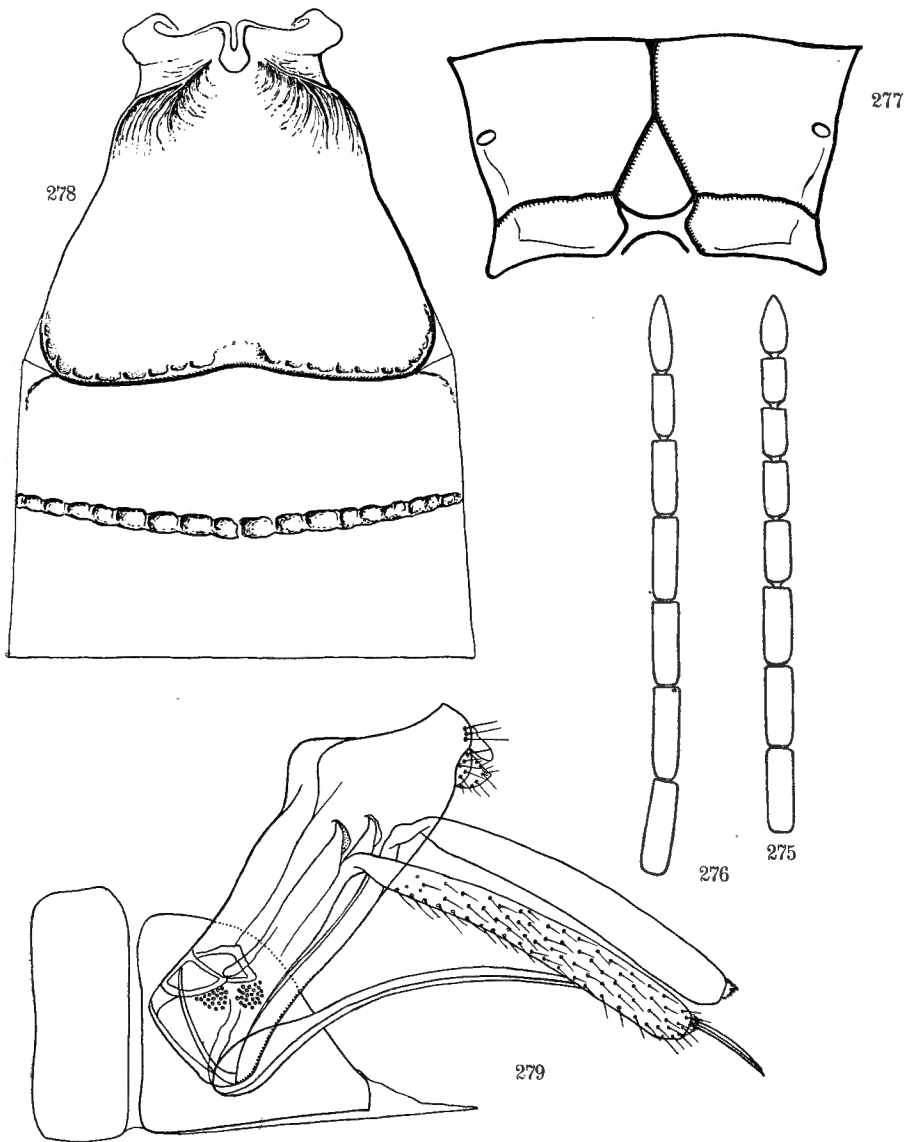


FIG. 275-279. — *Apanteles megagaster* sp. n.

FIG. 275. — Sommet de l'antenne ♀. FIG. 276. — Sommet de l'antenne ♂.

FIG. 277. — Schéma de l'aréolation du propodeum.

FIG. 278. — Détail des trois premiers tergites abdominaux.

FIG. 279. — Hypopygium et genitalia, vus de profil.

Pattes III : hanches brillantes, à ponctuation (degré 3) bien marquée, plus forte et plus dense à la base en dessus; fémurs à petite ponctuation régulière, un peu saillante. Proportions : hanches, 18/36; fémurs, 15/43; tibias, 11/60; tarsi : I, 30; II, 13; III, 9; IV, 7; V, 9; le plus long éperon des tibias un peu plus de la moitié et le plus court la moitié de la longueur des métatarses; onychiums très développés.

Abdomen (fig. 278) : tergite I un peu excavé près de la base, courbé vers la moitié, très légèrement proéminent au milieu un peu avant la moitié et faiblement convexe ailleurs, brillant et ruguleux dans le 1/4 basal, fortement rugoso-ponctué dans les 3/4 apicaux, à ponctuation grande, profonde, les intervalles marqués d'une petite réticulation donnant l'apparence rugueuse; sa longueur médiane 1,2 fois plus *courte* que sa largeur apicale, 1,75 fois plus grande que sa largeur basale et 1,3 fois sa plus grande largeur située un peu avant l'apex, celui-ci faiblement échancré (26 : 32 : 16 : 34), ses bords latéraux fortement divergents jusqu'au point le plus large, ensuite largement incurvés pour former les angles apicaux; tergite II mat et sculpté comme le I, un peu plus large que la plus grande largeur de ce dernier et se trouvant sur le même plan, sa longueur médiane 2,2 fois plus *courte* que la largeur apicale du I et 2,5 fois sa propre largeur (14 : 32 : 36), sillons latéraux absents; 2^e suture forte, profonde, plus ou moins fovéolée et légèrement arquée vers l'arrière; tergite III brillant, à ponctuation (degré 2) assez superficielle et largement espacée, sa longueur médiane 1,27 fois plus *courte* que celle du II (11 : 14); tergites suivants brillants, à petite ponctuation habituelle; hypopygium de conformation spéciale, présentant une certaine analogie avec celui de l'espèce méditerranéenne *Ap. olivierellae* WILKN.; court, obtus à l'apex, fendu sur sa ligne médiane à la partie inférieure et prolongé par une membrane allongée se terminant en pointe aiguë; valves de la tarière fortes, plus longues que les fémurs III, mais plus courtes que les tibias III, environ de la longueur des trois premiers articles des tarsi III (fig. 279).

Longueur : 3,6 mm.

DISTRIBUTION GÉOGRAPHIQUE : May ya Moto (alt. 950 m., 9.XI.1934), holotype ♀, allotype ♂ et paratypes; Ruhengeri, riv. Penge, Ruanda (alt. 1.800-1.825 m., 29.IX.1934); riv. Molindi, entre Kirumba et le lac Kibuga (alt. 1.000 m., 31.IV, 2.V.1934); 11 exemplaires : 6 ♂♂, 5 ♀♀.

OBSERVATIONS : *Ap. megagaster*, présente plusieurs caractères inhabituels qui ne furent pas encore rencontrés, simultanément, chez d'autres espèces. Cette espèce est surtout remarquable par la forme très élargie du 1^{er} tergite abdominal et la carénation du propodeum.

109. — **Apanteles longistylus** sp. n.

(Fig. 280-284.)

♂ ♀ : noirs; pattes I (sauf les hanches et l'article apical des tarsi), trochanters plus ou moins, trochantelles, vaguement l'extrême base et

l'extrême apex des fémurs, tibias partiellement et tarses (sauf l'article apical) des pattes II, trochantelles, vaguement la base des fémurs et la base des tibias des pattes III, hypopygium, rouge testacé foncé; tibias et tarses III, brun noirâtre (chez le ♂, les pattes sont à peu près complètement noires ou noire brunâtre, les trochanters, trochantelles et légèrement la base des tibias III sont rougeâtres, tandis que chez la ♀, les colorations rougeâtres et noires sont assez irrégulièrement réparties); palpes rouge testacé sale; éperons des tibias II et III, pâles; ailes hyalines, légèrement jaunâtres; stigma opaque, brun ainsi que les nervures.

♂ ♀. *Tête* : face à peu près carrée, brillante, à ponctuation (degré 1) régulière, dense; clypéus légèrement différencié de la face; ostioles faciales beaucoup plus près de l'apex du clypéus que des yeux; vertex lisse et brillant; occiput ponctué plus finement et plus éparsément que la face; ocelles postérieurs beaucoup plus rapprochés l'un de l'autre que des yeux; antennes égales à la longueur du corps plus 1 fois la tête chez la ♀; égales à la longueur du corps plus environ 1 fois l'abdomen chez le ♂; 1^{er} article du flagellum environ 3 fois plus long que large chez la ♀ (10 : 3) et chez le ♂ (12 : 4), les deux articles préapicaux subégaux chez la ♀ (fig. 280 et 281).

Thorax : mésonotum brillant, à ponctuation (degré 4) ronde, bien marquée, les pointillés séparés par une distance un peu moindre que leur propre diamètre, à peine plus denses le long des lignes des notaulices qui sont à peine apparentes, les intervalles, entre la ponctuation, marqués d'une très petite aciculation, plus distincte latéralement; tégument lisse près du bord apical; sillon préscutellaire étroit, légèrement arqué et faiblement crénelé; disque du scutellum à faible convexité, brillant, portant quelques pointillés à peine esquissés; mésopleures lisses et brillants, sauf une légère ponctuation dans l'angle huméral; suture méso-métapleurale finement crénelée; métapleurales lisses et brillants, à peine légèrement sculptés près du bord coxal, à sillon médian lisse; propodeum rugoso-ponctué basalement aux costules, à peu près lisse dans les angles antéro-externes et portant quelques rugules apicalement aux costules, les intervalles lisses et brillants; aréole incomplète, en forme de U à l'apex, à carènes faibles limitées au tiers apical du propodeum, vaguement ramifiées ensuite, costules plus faibles que les carènes de l'aréole, légèrement obliques postéro-antérieurement.

Ailes : 1^{re} abcisse de la radiale un peu plus courte que la largeur du stigma et que la transverso-cubitale, qui lui est sensiblement égale, ces deux nervures formant entre elles un angle bien marqué et épaissies à leur point de jonction, du côté externe; partie apicale de la 1^{re} abcisse de la cubitale et partie pigmentée de la 2^e abcisse d'égale longueur et environ égales aux 2/3 de la récurrente; stigma plus court que le métacarpe (fig. 282).

Pattes III : hanches brillantes, imperceptiblement ponctuées, virtuellement lisses, excepté 2 ou 3 grosses ponctuations sur la facette plane en dessus à la base. Proportions : hanches, 18/30; fémurs, 11/44; tibias, 8/55; tarses :

I, 26; II, 13; III, 10; IV, 8; V, 8; le plus long éperon des tibias moins de la 1/2 et le plus court un peu plus du 1/4 de la longueur des métatarses.

Abdomen (fig. 283) : tergite I excavé à la base, fortement proéminent au milieu et faiblement courbé, ruguleux à la base, finement rugueux ailleurs, sa longueur médiane 1,69 fois sa largeur apicale et 1,83 fois sa largeur basale (22 : 13 : 12), ses bords latéraux subparallèles, plus fortement divergents très près de l'apex, en sorte que les angles apicaux sont un peu saillants, à peine arrondis, apex échancré; sculpture du tergite II constituée par des stries disposées plus ou moins concentriquement, ses sillons laté-

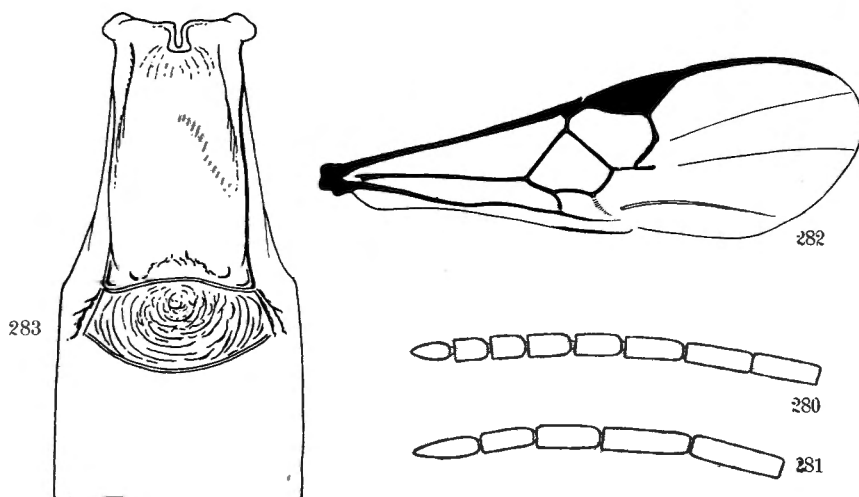


FIG. 280-283. — *Apanteles longistylus* sp. n.

FIG. 280. — Sommet de l'antenne ♀. FIG. 281. — Sommet de l'antenne ♂.

FIG. 282. — Détail de la nervation de l'aile antérieure.

FIG. 283. — Détail des trois premiers tergites abdominaux.

raux minces, droits et divergents, dépassant parfois fortement la partie sculptée; longueur médiane du tergite II, 1,62 fois plus courte que la largeur apicale du I et 1,37 fois plus courte que la longueur médiane du III (8 : 13 : 11); 2° suture mince et très fortement arquée vers l'arrière, parfois absente; tergite III brillant, sans sculpture, mais présentant à la base de vagues irrégularités, lisse ailleurs, sauf l'habituelle petite ponctuation localisée à la moitié apicale; hypopygium membraneux, prolongé, aigu et fendu, sans foramen; valves de la tarière particulièrement longues et étroites (fig. 284), égales à la longueur des tibias et tarsi III réunis. Chez le ♂, le tergite I est environ de même largeur au sommet qu'à la base; la sculpture du tergite II est plus localisée au disque, les sillons latéraux sont un peu moins divergents et plus longs, la 2° suture est généralement obsolète.

Longueur : ♂, 2,6 à 2,8 mm.; ♀, 2,6 mm.; valves de la tarière, 2 mm.

DISTRIBUTION GÉOGRAPHIQUE : Ruhengeri, riv. Penge, Ruanda (alt. 1.800-1.825 m., 30-31.VIII.1934); vers le mont Kamatembe (alt. vers 2.300 m., 7-23.I.1935); Kinyamahura, Djomba (alt. 1.800 m., 23.VIII.1934), holotype ♀; Burunga, Mokoto (alt. 2.000 m., 9.III.1934), allotype ♂ et 1 paratype ♂; Kibati (alt. 1.900 m., 12-13.I.1934), paratype ♀; Ruhengeri, sources Kirii, Ruanda (alt. 1.800-1.825 m., 31.VIII.1934); Kalondo, lac Ndaraga, Mokoto (alt. 1.750 m., 22-27.III.1934); Ngesho (alt. 2.000 m., 3-6.IV.1934); Nyarusambo (alt. 2.000 m., 30.VI, 2.VII.1934); 24 exemplaires : 21 ♂♂, 3 ♀♀.

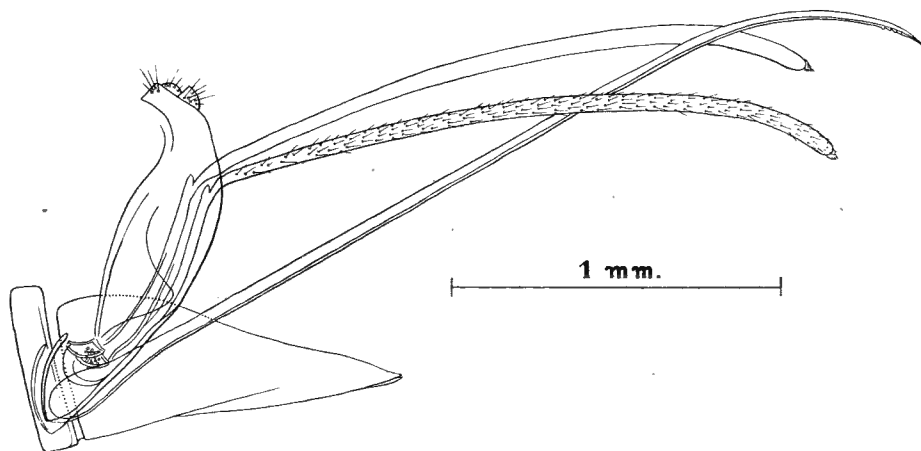


FIG. 284. — *Apanteles longistylus* sp. n.,
hypopygium et genitalia, vus de profil.

OBSERVATIONS : Cette espèce est remarquable par la longueur exceptionnelle de la tarière et de ses valves, ainsi que par la sculpture du 2^e tergite abdominal. Elle ne correspond à aucune des espèces figurant dans la clef de WILKINSON et ne se place pas, non plus, dans les clefs de MUESEBECK et de FAHRINGER.

a) ***Apanteles longistylus kashwa*** ab. n.

Cette aberration est tout à fait semblable à l'espèce et n'en diffère que par les caractères suivants :

♀ : extrême apex de toutes les hanches, toutes les pattes excepté les tarsi et l'apex des tibia III, rouge testacé; tarsi et apex des tibia III beaucoup plus sombres; article apical des tarsi, brun noirâtre; ponctuation du mésonotum plus fine (degré 3); sculpture des tergites I et II plus superficielle.

DISTRIBUTION GÉOGRAPHIQUE : Kashwa, entre Ngesho et Bishakishaki (alt. 2.000 m., 7-23.I.1935), holotype ♀; 1 exemplaire.

La différence de coloration présentée par ce spécimen n'est pas due à un état d'immaturation.

110. — *Apanteles fallax* sp. n.

(Fig. 285-288.)

Espèce très voisine de *Ap. xanthophilis* (n° 113), dont elle se distingue par les caractères suivants :

♂ ♀ : pièces buccales y compris le labre, scapes (partiellement chez le ♂), apex des hanches III moins fortement, éperons des tibias II et III, rouge testacé; tegulae rouge noirâtre, sombre; pas d'enfumure apicale aux fémurs III; tibias et tarses III brun rougeâtre (tibias un peu plus clairs à la base chez le ♂); pattes ailleurs, rouge testacé; flagellum brun noirâtre, stigma brun foncé, nervures un peu plus pâles.

♀. *Tête* : face brillante, à ponctuation beaucoup plus forte (degré 2 à 3) que chez *Ap. xanthophilis*, bien séparée, plus faible latéralement, pas de carène médiane à la partie supérieure; ocelles un peu plus près l'un de l'autre que des yeux; antennes distinctement plus courtes que le corps (fig. 285 et 286).

Thorax : ponctuation du mésonotum plus forte et profonde (degré 4), à pointillés bien séparés, par environ leur propre diamètre; sillon préscutellaire droit; disque du scutellum plat, tronqué à l'apex, brillant et lisse sauf quelques très petits pointillés près des bords latéraux; cochléar fortement marqué; ponctuation basale du propodeum mieux marquée, carènes un peu plus fortes, ramifications de l'aréole plus étendues, paraissant fermer l'aréole vers la base, légèrement arrondies à l'apex.

Ailes : stigma assez large; 1^{re} abcisse de la radiale plus courte que la largeur du stigma et environ 1/3 plus longue que la transverso-cubitale, ces deux nervures formant entre elles un angle bien marqué, leur point de jonction indiqué par un petit tronçon; partie apicale de la 1^{re} abcisse de la cubitale de même longueur que la transverso-cubitale, plus longue que la partie pigmentée de la 2^e abcisse et égale aux 2/3 de la récurrente; sommet de la basale très court; stigma plus court que le métacarpe (fig. 287).

Pattes III : hanches fortes et larges, lisses et brillantes, portant quelques petits pointillés en dessus à la base. Proportions : hanches, 21/35; fémurs, 14/44; tibias, 9/50; tarses : I, 25; II, 11; III, 8; IV, 6; V, 9; le plus long éperon des tibias 3/5 et le plus court 2/5 de la longueur des métatarses.

Abdomen (fig. 288) : tergite I faiblement courbé au delà du milieu, beaucoup plus proéminent médialement que chez *Ap. xanthophilis*, à rugosité grossière, sa longueur médiane 1,27 fois sa largeur apicale et 1,53 fois sa largeur basale (23 : 18 : 15), ses bords latéraux divergents faiblement de la base à l'apex, celui-ci émarginé et à angles arrondis; tergite II plus finement rugueux que le I, à stries longitudinales plus apparentes, ses sillons latéraux droits et parallèles, partant des angles apicaux du I, sa longueur médiane 1,8 fois plus courte que la longueur médiane du III (10 : 18 : 12); 2^e suture fortement arquée; hypopygium aigu, sans dévelop-

pement membraneux à la partie inférieure; valves de la tarière un peu plus longues que les tarsi III.

♂ : semblable à la description de la ♀, excepté : antennes très effilées, égales à la longueur du corps plus environ 1 fois la tête; tergite I plus étroit et à angles apicaux aigus (21 : 14 : 11); tergite II moins transverse (9 : 14 : 11).

Longueur : ♂, 2,8 mm.; ♀, 3 mm.

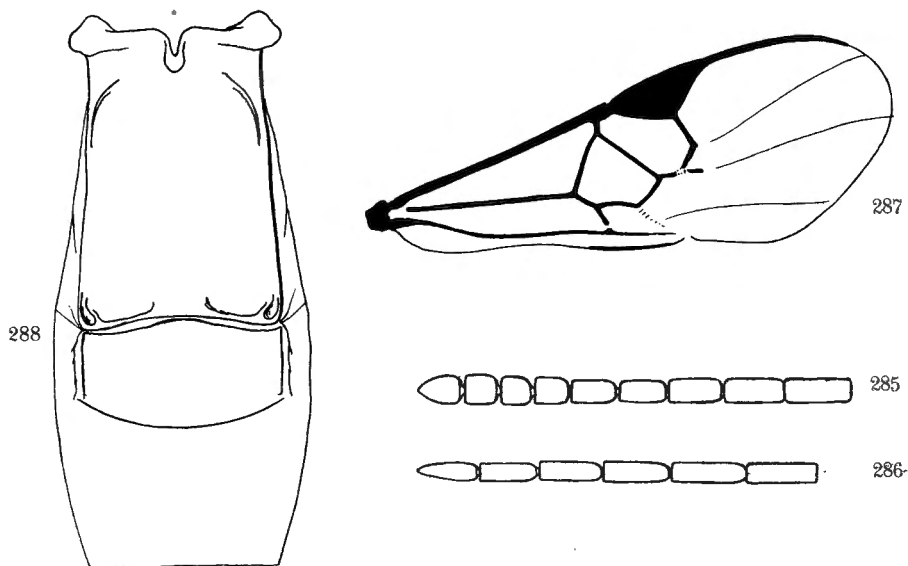


FIG. 285-288. — *Apanteles fallax* sp. n.

FIG. 285. — Sommet de l'antenne ♀. FIG. 286. — Sommet de l'antenne ♂.
 FIG. 287. — Détail de la nervation de l'aile antérieure.
 FIG. 288. — Détail des trois premiers tergites abdominaux.

DISTRIBUTION GÉOGRAPHIQUE : Rutshuru, riv. Musugereza (alt. 1.100 m., 10.VII.1935), holotype ♀; Rutshuru (alt. 1.285 m., 6-8.VI.1934), allotype ♂; Mayumbu, volcan Nyamuragira (alt. 2.100 m., 14-26.VI.1935); Burunga, Mokoto (alt. 2.000 m., 15-16.III.1934); vers Rweru, volcan Mikeno, forêt de Bambous (alt. 2.400 m., 26-27.VII.1934); Nyongera, près de Rutshuru (alt. 1.218 m., 18.VII.1935); Tshumba, Mushari (alt. 2.100 m., 28.IV, 1.V.1934); 11 exemplaires : 10 ♂♂, 1 ♀.

AFFINITÉS : Par les scapes rouge testacé, au moins en grande partie, cette espèce se place dans la clef de WILKINSON, en même temps que l'espèce javanaise *Ap. caniae* WILKN., elle en est nettement différente. L'espèce éthiopienne *Ap. hylas* WILKN. présente des caractères intermédiaires et semble devoir se placer entre *Ap. xanthopholis* et *Ap. furax*, cette espèce est de taille plus petite et se caractérise particulièrement des deux autres par la longueur des valves de la tarière.

111. — *Apanteles cyclorhaphus* sp. n.

(Fig. 289-290.)

Espèce ayant une grande affinité avec *Ap. fallax*, mais s'en distinguant par des caractères bien déterminés.

♀ : scapes partiellement et base des tibias III, rouge testacé, labre brun rougeâtre foncé, les autres colorations comme *Ap. fallax*.

♀. *Tête* : ligne oculo-ocellaire plus longue que la distance séparant les ocelles postérieurs; antennes de la longueur du corps plus environ 2 fois la tête, beaucoup plus minces que chez *Ap. fallax* (fig. 289).

Thorax : ponctuation du mésonotum un peu plus petite que chez *Ap. fallax*, mais plus régulière et plus étroitement placée, plus petite latérale-

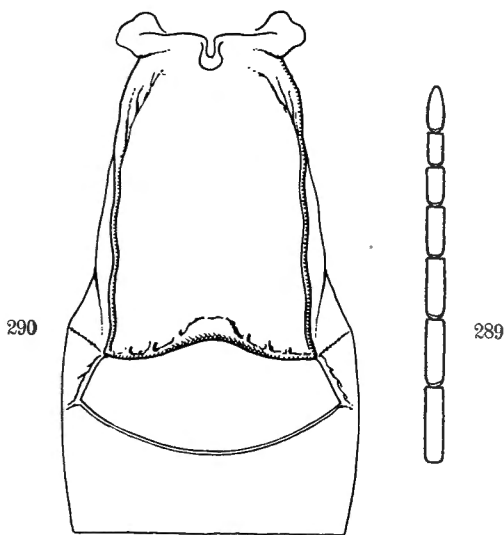
FIG. 289-290. — *Apanteles cyclorhaphus* sp. n. ♀.

FIG. 289. — Sommet de l'antenne.

FIG. 290. — Détail des trois premiers tergites abdominaux.

ment (degré 3); aréolation du propodeum semblable à celle de cette espèce, les carènes basales de l'aréole plus faibles et ne se rejoignant pas.

Pattes III : hanches plus étroites, 18/24; fémurs, 13/44; tibias, 8/52; tarsi : I, 28; II, 13; III, 10; IV, 6; V, 9; le plus long éperon des tibias la 1/2 et le plus court un peu plus du 1/3 de la longueur des métatarses.

Abdomen (fig. 290) : tergite I bordé latéralement, excavé à la base, proéminent médialement et courbé au milieu, mat et ruguleux dans le 1/3 basal, grossièrement rugoso-ponctué ailleurs, sa longueur médiane 1,33 fois sa largeur apicale et 1,9 fois sa largeur basale (25 : 19 : 13), ses bords latéraux divergents près de la base, subparallèles ensuite et légèrement sinués, angles

apicaux aigus et un peu saillants, apex fortement émarginé, aire médi-apicale petite; tergite II un peu mat, coriacé, à petite sculpture rugueuse accompagnée de quelques forts pointillés vers l'apex, qui n'apparaissent qu'occasionnellement lorsque la sculpture du tergite a tendance à diminuer d'intensité, sa longueur médiane 1,9 fois plus courte que la largeur apicale du I et 2,3 fois plus courte que sa propre largeur entre l'extrémité des sillons latéraux (10 : 19 : 23), ceux-ci faibles, droits, partant des angles apicaux du tergite I; 2° suture très fortement arquée vers l'arrière; tergite III brillant et lisse, sauf quelques petits pointillés épars, absents près de la base, sa longueur médiane 1,43 fois plus courte que celle du II (10 : 7); hypopygium membraneux, à prolongement aigu; valves de la tarière très longues et étroites, beaucoup plus longues que les tarse III, presque aussi longues que les fémurs et tibias III réunis.

Longueur : 2,8 mm., ♂, inconnu.

DISTRIBUTION GÉOGRAPHIQUE : escarpement de Kabasha (alt. 1.500 m., 14.XII.1934); 3 exemplaires ♀ ♀.

AFFINITÉS : Dans la clef de WILKINSON, cette espèce aboutit au couplet 151, mais ne correspond à aucune des espèces qui y figurent et s'en sépare par la longueur médiane du tergite III, nettement plus courte que celle du II.

Ap. cyclorhaphus se caractérise également par la courbure prononcée de la 2° suture et la longueur des valves de la tarière.

112. — *Apanteles pelops* sp. n.

(Fig. 291-300.)

♂ ♀ : noirs; palpes, pattes I et II entièrement (sauf parfois une tache en dessus à la base des hanches II et l'article apical des tarse), extrême apex des hanches, trochanters, trochantelles, fémurs, tibias, leurs éperons et la base des métatarses des pattes III (tibias III souvent enfumés à l'apex), bords latéraux membraneux des tergites I et II occasionnellement, nervure costale presque entièrement, sternites de la base et partie membraneuse de l'hypopygium, jaune-rouge testacé; scapes présentant quelquefois une tendance au rougeâtre; articles apicaux des tarse I et II, bruns; tarse III brun noirâtre; ailes légèrement enfumées, un peu jaunâtres; stigma et nervures sous le stigma, brun pâle à jaunâtres, les autres nervures jaune pâle à incolores; stigma parfois discalement plus hyalin.

♀. *Tête* : face nettement plus large que longue, à joues un peu renflées (fig. 291 et 292), satinée, à ponctuation (degré 1) dense et superficielle, presque absente sur les bords orbitaux, parfois pourvue d'une petite saillie sous les torules; clypéus peu ou pas différencié de la face; ostioles faciales légèrement plus près de l'apex du clypéus que des yeux; vertex assez long, lisse et brillant; occiput ponctué un peu plus fortement et plus distinctement que la face; espace oculo-oculaire égal à deux fois la distance séparant les ocelles postérieurs; antennes égales à la longueur du corps plus environ

1 fois l'abdomen chez les deux sexes, légèrement amincies distalement; 1^{er} article du flagellum près de 4 fois plus long que large; articles préapicaux au moins 2 fois plus longs que larges (fig. 297 et 298).

Thorax : un peu déprimé; mésonotum brillant, à ponctuation plus petite (degré 3) et densément placée antérieurement, plus forte et profonde postérieurement (degré 4), mieux marquée le long des lignes des notaulices et apicalement, plus petite et plus superficielle ailleurs, les pointillés bien séparés, mais toutefois moins que leur propre diamètre; cette ponctuation est assez semblable à celle de *Ap. wittei*, un peu plus densément placée et peut-être un peu moins forte, mais nette et profonde également; sillon préscutellaire mince, arqué, finement crénelé; disque du scutellum à faible convexité, apex faiblement arrondi plutôt que tronqué, à largeur apicale moitié de la largeur basale, brillant et portant quelques pointillés très superficiels à la base et le long des bords latéraux, qui sont droits; méso- et métapleures lisses et brillants, cochléar faiblement marqué; suture méso-métapleurale crénelée et sillon métapleural lisse; propodeum brillant, distinctement mais superficiellement ponctué basalement aux costules, lisse ou marqué d'une ou deux carènes transversales apicalement aux costules, lisse dans l'aréole; celle-ci petite, tronquée à l'apex, souvent divisée par une carène transversale faible à hauteur des costules, carènes apicales pas ou à peine divergentes et environ égales à la largeur apicale, carènes basales faibles, mal marquées, un peu rugueuses, se rejoignant au milieu vers le tiers basal du propodeum d'où elles sont réunies à la base de celui-ci par une ligne rugueuse simulant une carène ou occasionnellement une carène faible; costules faibles, obliques postéro-antérieurement, situées près du tiers apical du propodeum (fig. 293).

Ailes : 1^{re} abcisse de la radiale un peu plus courte que la largeur du stigma, égale ou légèrement plus courte que la transverso-cubitale, ces nervures ne formant pas un angle très marqué entre elles, la 2^e plus épaisse et plus droite que la 1^{re}; partie apicale de la 1^{re} abcisse de la cubitale et partie pigmentée de la 2^e abcisse de même longueur et de moitié moins longues que la transverso-cubitale, récurrente un peu moins longue que cette dernière, égale à la largeur du stigma; métacarpe plus long que le stigma (fig. 294).

Pattes III : hanches brillantes, portant d'imperceptibles pointillés, virtuellement lisses, dépourvues de facette plane en dessus à la base, ou, cette facette à peine esquissée. Proportions : hanches, 15/30; fémurs, 11/42; tibias, 8/54; tarses : I, 25; II, 12; III, 8; IV, 7; V, 8; le plus long éperon des tibias la 1/2 et le plus court le 1/3 de la longueur des métatarses.

Abdomen (fig. 295) : tergite I légèrement excavé à la base au milieu, un peu proéminent juste avant le milieu et faiblement courbé, lisse et brillant latéralement à la base, finement rugueux ailleurs, un peu plus grossièrement dans la moitié apicale, l'apex portant une petite aire médiane lisse

et brillante; sa longueur médiane 2 fois sa largeur apicale, 1,57 fois sa largeur basale et 1,46 fois ses plus grandes largeurs situées près de la base et au tiers apical (22 : 11 : 14 : 15 : 15), l'apex présente de chaque côté une petite expansion qui le fait paraître aussi large que la base; bords latéraux légèrement sinueux jusqu'au tiers apical, convergents faiblement ensuite jusqu'à l'apex tronqué dont les angles sont un peu arrondis; tergite II en

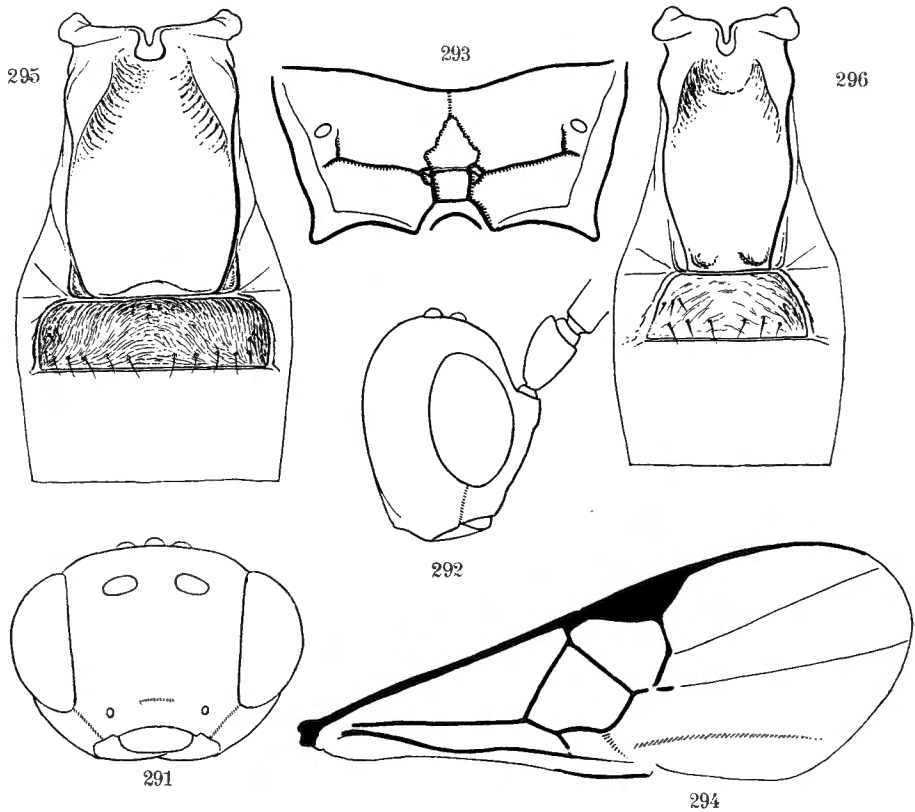


FIG. 291-296. — *Apanteles pelops* sp. n.

FIG. 291. — Tête, vue de face. FIG. 292. — Tête, vue de profil.

FIG. 293. — Schéma de l'aréolation du propodeum. FIG. 294. — Aile antérieure.

FIG. 295. — Détail des trois premiers tergites abdominaux de la ♀.

FIG. 296. — Idem du ♂.

rectangle transversal, brillant et finement aciculé, portant une rangée de petits pointillés près de l'apex, sillons latéraux faiblement marqués partant de l'angle des expansions latérales du tergite I, courbés dans les angles antérieurs, parallèles ensuite; longueur médiane du tergite 1,83 fois plus courte que la largeur apicale du I et 3,33 fois plus courte que sa propre largeur (6 : 11 : 20); 2^e suture mince et droite; tergite III, 1,66 fois plus long que le II (10 : 6), brillant et lisse, sauf l'habituelle petite ponctuation loca-

lisée dans les 3/4 apicaux; hypopygium un peu membraneux médialement à la face inférieure, la membrane se continue en une pointe aiguë à l'apex; valves de la tarière courbées et élargies distalement, égales à la longueur des tibias III (fig. 299 et 300).

♂ : semblable à la description de la ♀, excepté les caractères suivants : tergite I plus étroit et distinctement plus large à la base qu'au sommet, sa longueur médiane 2,85 fois sa largeur apicale, 1,8 fois sa largeur basale et 1,66 fois sa plus grande largeur située près de la base, ses bords latéraux

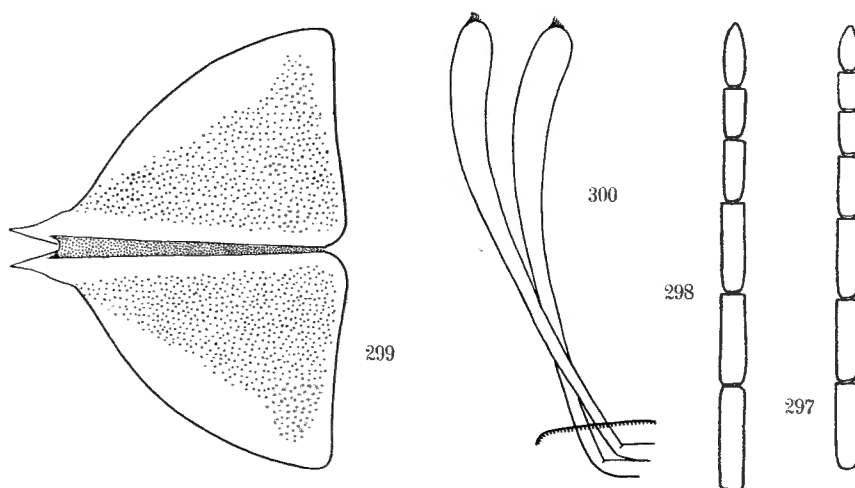


FIG. 297-300. — *Apanteles pelops* sp. n.

FIG. 297. — Sommet de l'antenne ♀. FIG. 298. — Sommet de l'antenne ♂.
FIG. 299. — Hypopygium, ouvert. FIG. 300. — Valves de la tarière.

sinueux comme chez la ♀, les angles apicaux ne sont pas arrondis et les expansions latérales à l'apex sont moins apparentes, proéminence médiane petite; tergite II plus faiblement aciculé que chez la ♀, presque lisse, sa longueur médiane un peu plus courte que la largeur apicale du I et 2,33 fois plus courte que sa propre largeur apicale (6 : 7 : 14); ce tergite n'a donc pas la même apparence que celui de la ♀, sillons latéraux droits ou faiblement incurvés et légèrement divergents de la base à la 2^e suture (fig. 296); tergite III, 1,83 fois plus long que le II (11 : 6).

Longueur : 2,7 à 3 mm.

DISTRIBUTION GÉOGRAPHIQUE: vers Rweru, volcan Mikeno, forêt de Bambous (alt. 2.400 m., 26-27.VII.1934), holotype ♀, allotype ♂ et paratypes; Nyabirehe, pied du volcan Karisimbi, Ruanda (alt. 2.000 m., 22.II.1935); Kabare, volcan Mikeno (alt. 3.200 m., 15-16.VII.1934); lac Gando, pied du volcan Karisimbi, Ruanda (alt. 2.400 m., 8.III.1935); mont Sesero, près de Bitashimwa, forêt de Bambous (alt. 2.000 m., 1-2.VII.1934); Shamuheru, volcan

Nyamuragira (alt. 1.843 m., 14-26.VI.1935); Tshamugussa, Bweza, forêt de Bambous (alt. 2.250 m., 10.VIII.1934); lac Kanyamenoni, vers le volcan Musule (alt. 2.300 m., 14.VIII.1934); mont Tamira, près du lac Gando, Ruanda (alt. 2.600 m., 11.III.1935); Gitebe, volcan Nyamuragira (alt. 2.324 m., 14-26.VI.1935); Mubiliba, volcan Nyamuragira (alt. 2.000 m., 14-26.VI.1935); 62 exemplaires : 44 ♂♂, 18 ♀♀.

AFFINITÉS : Soit qu'elle soit considérée comme ayant des scapes rouge testacé ou noirs, cette espèce correspond, dans la clef de WILKINSON, à l'espèce javanaise *Ap. caniae* WILKN., à laquelle elle s'apparente par la forme et la sculpture du 2^e tergite abdominal, ainsi que par la longueur de la 1^{re} abcisse de la radiale et de la transverso-cubitale; elle s'en éloigne, toutefois, par la ponctuation du mésonotum, la carénation du propodeum et la longueur des valves de la tarière.

a) **Apanteles pelops nigricoxis** ab. n.

Cette aberration ne diffère de l'espèce que par les caractères suivants :

♂♀ : toutes les hanches noires (sauf l'extrême apex), une bande longitudinale sombre sur la face supérieure des fémurs I et II; enfumure des tibias III plus forte et plus étendue, atteignant parfois le tiers basal; costale à peine plus claire dans les 2/3 basilaires; stigma opaque, brun ainsi que les nervures sous le stigma, les autres nervures un peu plus claires.

DISTRIBUTION GÉOGRAPHIQUE : Shamuheru, volcan Nyamuragira (alt. 1.843 m., 15.VI.1935), holotype ♀; idem (14-26.VI.1935); Nyabirehe, volcan Nyamuragira (alt. 2.000 m., 14-26.VI.1935); Burunga, Mokoto (alt. 2.000 m., 15-16.VII.1935), allotype ♂; vers Rweru, volcan Mikeno, forêt de Bambous (alt. 2.400 m., 26.VII.1934); Nyongera, près de Rutshuru (alt. 1.218 m., 17.VII.1935); 6 exemplaires : 2 ♂♂, 4 ♀♀.

113. — **Apanteles xanthophilis** sp. n.

(Fig. 301-305.)

♂♀ : noirs; palpes, tegulae, sclérites axillaires, pattes I et II entièrement (sauf l'article apical des tarses qui est enfumé), apex des hanches (♀), extrême apex (♂), trochanters, trochantelles, fémurs (sauf une légère enfumure apicale), tibias (sauf une enfumure apicale, parfois plus sombre et plus étendue chez le ♂) et base des métatarses des pattes III, bords latéraux membraneux des tergites I, II, III, parfois le bord apical du III chez la ♀, sternites de la base, hypopygium en tout ou en partie, costale près de la base, jaune-rouge testacé; scapes rougeâtres à la base chez la ♀; tarses III ailleurs, brun sombre; éperons des tibias III pâles; ailes très légèrement enfumées entièrement; stigma opaque, brun ainsi que les nervures.

♀. *Tête* : transverse (vue de dessus) 2 fois plus large que longue; ligne faciale plus courte que la transfaciale; face brillante, à petite ponctuation

(degré 1) superficielle, faiblement convexe et ornée d'une courte carène médiane à la partie supérieure; clypeus non différencié de la face; ostioles faciales plus près de l'apex du clypeus que des yeux; vertex lisse et brillant; occiput ponctué comme la face; ocelles postérieurs beaucoup plus près l'un de l'autre que des yeux; antennes de la longueur du corps plus une fois l'abdomen, 1^{er} article du flagellum 3,5 fois plus long que large (♀) (14 : 4), 3 fois plus long que large (♂) (15 : 5), l'article préapical, le plus court, 2 fois plus long que large (♀) (fig. 302-303).

Thorax : mésonotum très brillant, à ponctuation (degré 3) ronde et bien séparée, plus forte le long des lignes des notaulices, plus faible et assez superficielle ailleurs; sillon préscutellaire étroit, mais bien marqué, arqué et petitement crénelé; disque du scutellum à faible convexité, très brillant, portant quelques petits pointillés très épars; mésopleures lisses et brillants, sauf une ponctuation antérieure assez superficielle et bien séparée, protubé-

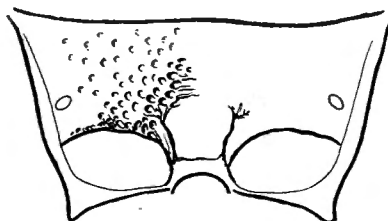


FIG. 301. — *Apanteles xanthopholis* sp. n.,
schéma de la carénation du propodeum.

rance humérale presque lisse, cochléar à peine apparent; suture méso-métapleurale finement crénelée; métapleurales lisses et brillants, à sillon médian lisse; propodeum brillant, à ponctuation très superficielle à la base, presque lisse, progressivement plus forte vers les costules, à fines soies longues, axipètes, à peu près lisse apicalement aux costules qui sont faibles, arquées vers l'avant et partant de la base de l'aréole, parfois très peu distinctes; aréole tronquée à l'apex et délimitée apicalement par des carènes plus faibles que les costules, un peu divergentes, se ramifiant et se perdant dans la ponctuation vers le milieu du propodeum, basalement marqué par une rugosité entremêlée d'une forte ponctuation (fig. 301).

Ailes : 1^{re} abcisse de la radiale un peu plus longue que la largeur du stigma et environ 1/4 plus longue que la transverso-cubitale, ces deux nervures régulièrement incurvées, leur point de jonction à peine discernable; partie apicale de la 1^{re} abcisse de la cubitale et partie pigmentée de la 2^e abcisse égales et à peine plus longues que la moitié de la transverso-cubitale qui, elle-même, est un peu plus longue que la récurrente; stigma beaucoup plus court que le métacarpe (fig. 304). Ailes plus amples chez la ♀ que chez le ♂.

Pattes III : hanches brillantes, longues (atteignant l'apex du tergite III), marquées de quelques forts pointillés sur la facette plane en dessus à la base, lisses ailleurs. Proportions : hanches, 18/38; fémurs, 13/50; tibias, 8/56; tarses : I, 30; II, 12; III, 11; IV, 8; V, 10; le plus long éperon des tibias la moitié et le plus court le tiers de la longueur des métatarses.

Abdomen (fig. 305) : tergite I excavé à la base, faiblement proéminent et courbé entre le tiers basal et la moitié, à faible convexité dans la moitié apicale où il est légèrement déprimé médialement, striolé longitudinalement

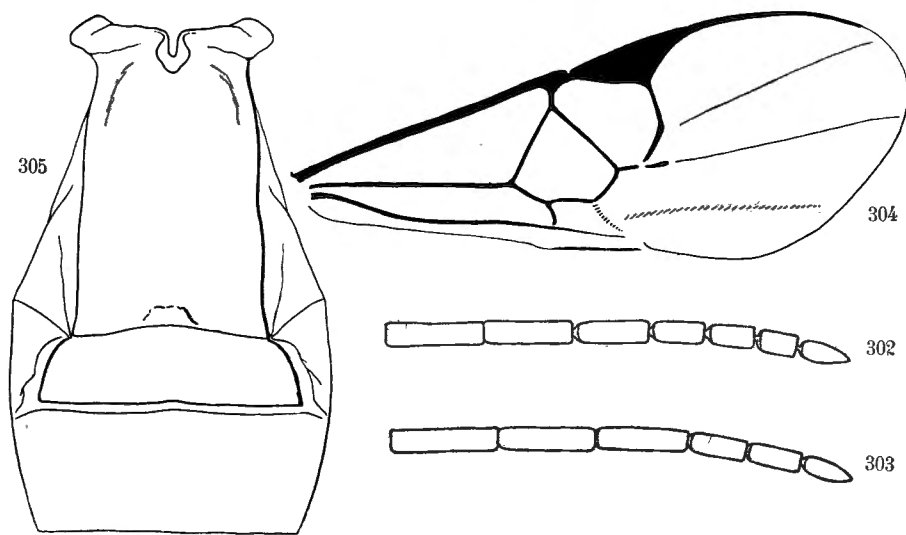


FIG. 302-305. — *Apanteles xanthopholis* sp. n.

FIG. 302. — Sommet de l'antenne ♀. FIG. 303. — Sommet de l'antenne ♂.

FIG. 304. — Détail de la nervation de l'aile antérieure.

FIG. 305. — Détail des trois premiers tergites abdominaux.

dans le tiers basal, rugoso-punctué ailleurs, sa longueur médiane 1,4 fois sa largeur apicale et 1,7 fois sa largeur basale (24 : 17 : 14), ses bords latéraux droits et légèrement divergents de la base à l'apex, celui-ci faiblement émarginé et à angles aigus; tergite II fortement chitinisé, légèrement proéminent médialement, sculpté un peu comme l'apex du I mais plus faiblement, ses sillons latéraux partant des angles apicaux du I, légèrement incurvés à la base et un peu divergents, sa longueur médiane 2,63 fois plus courte que la largeur apicale du I et 3,83 fois plus courte que sa propre largeur apicale (6 : 17 : 23); 2^e suture forte, droite ou un peu arquée, parfois crénelée; tergite III, 1,66 fois plus long que le II (10 : 6), lisse, satiné ou brillant, à petite ponctuation habituelle; hypopygium non membraneux à la partie inférieure ou faiblement vers l'apex, à prolongement apical très aigu; valves de la tarière de la longueur des tibias III, peu élargies distalement.

♂ : semblable aux caractères décrits de la ♀, excepté les suivants : longueur médiane du tergite I, 1,57 fois sa largeur apicale et 1,8 fois sa largeur basale (22 : 14 : 12), ses bords latéraux subparallèles; longueur médiane du tergite II, 1,75 fois plus courte que la largeur apicale du I, 2,25 fois plus courte que sa propre largeur apicale et 1,37 fois plus courte que la longueur médiane du III (8 : 14 : 18 : 11), ce tergite est, par suite, beaucoup moins transverse que chez la ♀ et ses sillons latéraux sont plus longs.

Longueur : 2,5 à 3 mm. Longueur de l'aile du ♂, 3,5 mm., de la ♀, 4 mm.

DISTRIBUTION GÉOGRAPHIQUE : Tshamugussa, Bweza, forêt de Bambous (alt. 2.250 m., 10.VIII.1934), holotype ♀, allotype ♂, 1 paratype ♀, 1 paratype ♂; Ngesho (alt. 2.000 m., 3-6.IV.1934); vers Rweru, volcan Mikeno, forêt de Bambous (alt. 2.400 m., 26-27.VII.1934); Ruhengeri, riv. Penge, Ruanda (alt. 1.800-1.825 m., 30-31.VIII.1934); Nyasheke, volcan Nyamuragira (alt. 1.820 m., 14-26.VI.1935); lac Mugunga (alt. 1.500 m., 21.I.1934); Gitebe, volcan Nyamuragira (alt. 2.324 m., 14-26.VI.1935); Burunga, Mokoto (alt. 2.000 m., 15-16.III.1934); lac Gando, au pied du volcan Karisimbi, Ruanda (alt. 2.400 m., 7.III.1935); Kibga, volcan Visoke, Ruanda (alt. 2.400 m., 11.II.1935); Mayumbu, volcan Nyamuragira (alt. 2.100 m., 14-26.VI.1935); mont Tamira, près du lac Gando, Ruanda (alt. 2.600 m., 11.III.1935); 25 exemplaires : 8 ♂♂, 17 ♀♀.

OBSERVATIONS : Chez le spécimen ♀, originaire du lac Mugunga, la ponctuation du mésonotum est nettement plus forte et plus dense, le disque du scutellum est entièrement ponctué (degré 3), à pointillés superficiels mais bien marqués et bien séparés; la sculpture du tergite II est plus faible que celle du I, presque striolée longitudinalement sur les côtés; l'enfumure des tibias III occupe plus de la moitié apicale. Malgré ces divergences, ce spécimen semble bien devoir être rapporté à cette espèce.

AFFINITÉS : Cette espèce se place, dans la clef de WILKINSON, en même temps que l'espèce éthiopienne *Ap. eros* WILKN., dont elle se distingue facilement par la coloration, l'aréolation du propodeum et la longueur des valves de la tarière.

114. — *Apanteles furax* sp. n.

(Fig. 306-309.)

♀ : noire; scapes parfois partiellement, tegulae et sclérites axillaires, pattes I et II (sauf une trace noire à la base des hanches et une légère enfumure apicale des tarsi), extrême apex des hanches, trochanters, trochantelles, fémurs (sauf une enfumure au-dessus à l'apex), tibias (sauf l'apex) des pattes III, rouge testacé; tarsi III, brun sombre; bords latéraux membraneux des tergites I et II et sternites de la base, rouge sombre; palpes et épérons des tibias III, pâles; ailes hyalines à très légèrement enfumées entièrement; stigma opaque, brun pâle, nervures un peu plus claires.

♂ : semblable à la description ci-dessus, excepté que la coloration rouge testacé est, en général, plus sombre; tegulae rouge sombre, plus rarement rouge testacé; hanches I et II presque entièrement noires sauf l'apex; fémurs II et III enfumés sur la face supérieure; hanches III entièrement noires ainsi que les trochanters; tibias III enfumés au moins dans la moitié apicale.

♀. *Tête* : ligne faciale plus courte que la transfaciale; face brillante, à punctuation (degré 2) assez marquée; clypéus faiblement différencié de la face; ostioles faciales plus près de l'apex du clypéus que des yeux, vertex imperceptiblement ponctué; occiput un peu plus fortement ponctué que le vertex; ocelles postérieurs plus près l'un de l'autre que des yeux; antennes effilées distalement, égales à la longueur du corps plus 1 fois la tête (plus 2 fois la tête chez le ♂); 1^{er} article du flagellum 3 fois plus long que large (9 : 3) (2,5 fois chez le ♂) (10 : 4); les trois articles préapicaux subégaux (fig. 306-307).

Thorax : mésonotum très brillant, à punctuation (degré 3) bien marquée, plus dense antérieurement, espacée et plus superficielle postérieurement, les pointillés séparés, toutefois, par une distance moindre que leur diamètre; sillon préscutellaire faiblement arqué, et distinctement crénelé; disque du scutellum plat, à apex tronqué, brillant, virtuellement lisse, ne portant que quelques pointillés extrêmement petits; mésopleures lisses et brillants, sauf quelques pointillés superficiels dans l'angle huméral, cochléar faiblement marqué; suture méso-métapleurale crénelée; métapleures lisses et brillants, excepté une punctuation près du bord coxal, à sillon médian lisse; propodeum sculpté comme *Ap. xanthopholis*, mais les costules, obliques postéro-antérieurement, partent de l'extrémité des carènes apicales et non de la base (fig. 301).

Ailes : 1^{re} abcisse de la radiale un peu plus courte que la largeur du stigma, égale ou un peu plus courte que la transverso-cubitale, ces deux nervures incurvées, leur point de jonction faiblement discernable; partie apicale de la 1^{re} abcisse de la cubitale et partie pigmentée de la 2^e abcisse de même longueur et égales aux 2/3 de la récurrente, elle-même de la longueur de la transverso-cubitale; stigma plus court que le métacarpe (fig. 308).

Pattes III : hanches à très petite punctuation, virtuellement lisses sur la face externe, marquées de quelques forts pointillés sur la facette plane en dessus à la base. Proportions : hanches, 14/26; fémurs, 10/35; tibias, 6/40; tarsi : I, 20; II, 9; III, 8; IV, 6; V, 7; le plus long éperon des tibias la moitié et le plus court un peu moins de la moitié de la longueur des métatarses.

Abdomen (fig. 309) : tergite I, excavé, lisse et brillant à la base, courbé au milieu, très faiblement proéminent, un peu terne et rugoso-ponctué, à punctuation forte et profonde ailleurs, sa longueur médiane 1,12 fois sa largeur apicale et 1,8 fois sa largeur basale (18 : 16 : 10), ses bords latéraux droits et divergents de la base à l'apex, celui-ci bisinué, à angles légèrement arrondis; tergite II rugueux mais sans punctuation comme le I, épousant étroitement

l'apex de celui-ci, ses sillons latéraux horizontaux à la base sur une courte distance, parallèles ensuite, sa longueur médiane 2,66 fois plus courte que la largeur apicale du I et environ 3 fois plus courte que sa propre largeur (6 : 16 : 19); 2^e suture irrégulière, forte et droite; tergite III un tiers plus long que la longueur médiane du II, brillant et lisse, sauf une rangée de petits pointillés au tiers apical; hypopygium aigu, non membraneux; valves de la tarière de la longueur des tibias III.

♂ : semblable à la description de la ♀, excepté les caractères suivants : face plus petitement et plus confusément ponctuée; disque du scutellum souvent plus distinctement ponctué; propodeum parfois plus rugueux ou

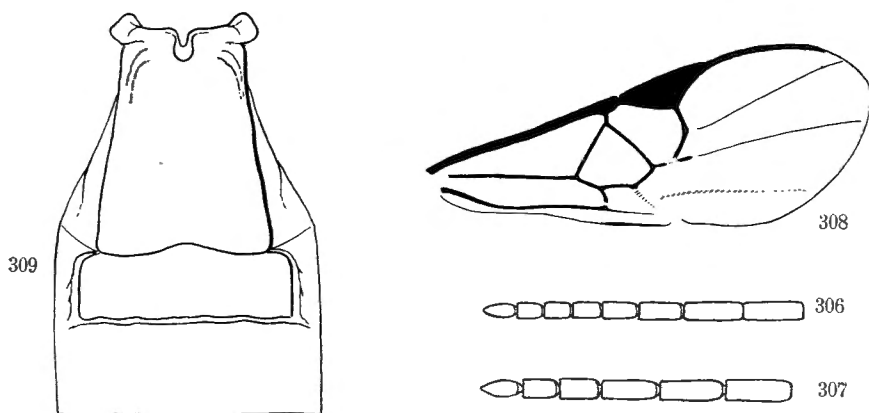


FIG. 306-309. — *Apanteles furax* sp. n.

FIG. 306. — Sommet de l'antenne ♀. FIG. 307. — Sommet de l'antenne ♂.

FIG. 308. — Détail de la nervation de l'aile antérieure.

FIG. 309. — Détail des trois premiers tergites abdominaux.

plus lisse, un peu déprimé au milieu dans la moitié basale; tergite I à bords latéraux plus parallèles, apex moins fortement bisinué et à angles un peu saillants extérieurement; sillons latéraux du tergite II parfois un peu obliques, divergents.

Longueur : 2,2 mm.

DISTRIBUTION GÉOGRAPHIQUE : Kalondo, lac Ndaraga, Mokoto (alt. 1.750 m., 22-27.III.1934), holotype ♀, allotype ♂ et paratypes; Gitebe, volcan Nyamuragira (alt. 2.324 m., 14-26.VI.1935); lac Gando, volcan Karisimbi, Ruanda (alt. 2.400 m., 28-29.VI.1934); Nyarusambo, Kikere (alt. 2.226 m., 28-29.VI.1934); Ruhengeri, riv. Penge, Ruanda (alt. 1.800-1.825 m., 30-31.VIII.1934); 22 exemplaires : 16 ♂♂, 6 ♀♀.

AFFINITÉS : Cette espèce se place, dans la clef de WILKINSON, en même temps que l'espèce éthiopienne *Ap. hylas* WILKN. avec laquelle elle présente certainement une grande affinité. Ces deux espèces peuvent être séparées principalement par la forme de l'aréole, toujours ouverte basalement chez

Ap. furax, l'absence chez celui-ci d'une éclaircie dans l'angle proximal du stigma, une ponctuation du mésonotum moins serrée, la partie apicale de la 1^{re} abcisse de la cubitale n'atteignant jamais deux fois la longueur de la 2^e abcisse et les valves de la tarière plus longues que les deux articles basilaires des tarsi postérieurs.

Très semblable également à *Ap. xanthopholis*, *Ap. furax* s'en différencie, premièrement par une taille plus petite, ensuite par l'emplacement des costules et par le parallélisme des sillons du 2^e tergite abdominal.

115. — ***Apanteles arundinariae* sp. n.**

(Fig. 310-314.)

♂ ♀ : noirs; palpes, pattes I (sauf les hanches et l'article apical des tarsi), trochanters, trochantelles, base et apex des fémurs et tibiai (plus sombres au milieu) des pattes II, trochanters, trochantelles, extrême base et apex des fémurs et base des tibiai des pattes III, rouge testacé; tibiai III ailleurs et tarsi II et III, enfumés; ces colorations variables en intensité, beaucoup plus foncées chez le ♂, chez lequel les tibiai et tarsi sont parfois presque noirs et les fémurs I ordinairement sombres au milieu; épérons des tibiai III pâles; ailes hyalines ou légèrement enfumées entièrement; stigma brun, opaque, marqué d'une éclaircie extrêmement faible dans l'angle proximal; nervures brun pâle.

♂ ♀. *Tête* : ligne faciale plus courte que la transfaciale; face brillante, un peu proéminente médialement, à petite ponctuation faible; clypéus non différencié de la face; ostioles faciales beaucoup plus près de l'apex du clypéus que des yeux; vertex satiné et lisse; occiput un peu plus fortement ponctué que la face; ligne oculo-ocellaire plus longue que l'espace entre les ocelles postérieurs; antennes effilées distalement, égales à la longueur du corps plus environ 2 fois la tête; 1^{er} article du flagellum 4 fois plus long que large (♀) (12 : 3)^{1/2}; les deux articles préapicaux subégaux, 1,5 fois plus longs que larges (♀), plus de 2 fois (♂) (fig. 311 et 312).

Thorax : mésonotum un peu mat, à ponctuation (degré 3) un peu superficielle, plus profonde et contiguë le long des lignes des notaulices, beaucoup plus forte (degré 4) et bien séparée à l'apex; sillon préscutellaire droit, petitement crénelé; disque du scutellum plus brillant que le mésonotum, déprimé à l'apex, à ponctuation (degré 3) assez bien marquée latéralement, très superficielle sur le disque; mésopleures à ponctuation rugueuse antérieurement, lisses ailleurs; suture méso-métapleurale crénelée; métapleurales lisses antérieurement, rugueuses postérieurement, à sillon médian lisse; propodeum petitement rugoso-ponctué et assez mat basalement aux costules, à soies longues, brillant, presque lisse apicalement aux costules et dans l'aréole; carénation bien marquée, aréole tronquée à l'apex, à carènes apicales faiblement divergentes, un peu plus longues que la largeur apicale, carènes basales légèrement incurvées, mais ne se rejoignant pas, interrompues au

tiers basal du propodeum, se continuant, parfois vaguement, jusqu'à la base de celui-ci, base de l'aréole jamais distinctement fermée, costules droites.

Ailes : stigma 2,5 fois plus long que large; 1^{re} abcisse de la radiale un peu plus courte que la largeur du stigma, égale à la transverso-cubitale et formant avec celle-ci un angle faible; partie apicale de la 1^{re} abcisse de la

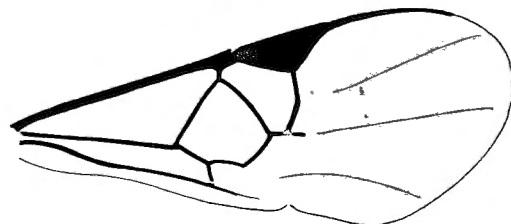


FIG. 310. — *Apanteles arundinariae* sp. n., aile antérieure.

cubitale et partie pigmentée de la 2^e abcisse égales, près de la moitié de la longueur des précédentes et un peu plus longues que le tiers de la récurrente; partie apicale de la 1^{re} abcisse variable, parfois égale à la moitié de la récurrente; stigma plus court que le métacarpe (fig. 310).

Pattes III : hanches satinées, très petitement ponctuées et portant quelques pointillés à peine plus forts en dessus à la base. Proportions : hanches, 16/28; fémurs, 10/41; tibias, 7/50; tarses : I, 24; II, 10; III, 8; IV, 6; V, 9; éperons des tibias subégaux, le plus long égal à la moitié de la longueur des métatarses.

Abdomen (fig. 313) : tergite I légèrement excavé à la base et rugueux, faiblement courbé et très fortement proéminent médialement un peu avant le milieu, finement rugueux sur la proéminence, plus fortement vers l'apex, sa longueur médiane 1,22 fois sa largeur apicale et 1,8 fois sa largeur basale (22 : 18 : 12), ses bords latéraux droits, divergents de la base à l'apex, angles apicaux légèrement saillants et déprimés, apex un peu échancré au milieu; tergite II rugueux, plus faiblement que le I, marqué de vagues stries longitudinales (sculpture parfois très superficielle), sa longueur médiane le tiers de la largeur apicale du I et le quart de sa propre largeur apicale (6 : 18 : 24), sillons latéraux étroits, divergents et faiblement courbés (droits chez le ♂); 2^e suture droite; tergite III, 1,8 fois plus long que le II, brillant et lisse sauf pour l'habituelle petite ponctuation, absente dans un espace médian obtusif à la base; hypopygium non membraneux sur sa ligne médiane à la partie inférieure, à prolongement apical membraneux et aigu; valves de la tarière de la longueur des tibias III (fig. 314).

Longueur : 2,5 à 2,7 mm.

DISTRIBUTION GÉOGRAPHIQUE: vers Rweru, volcan Mikeno, forêt de Bambous (alt. 2.400 m., 3 et 26-27.VII.1934), holotype ♀, allotype ♂ et paratypes;

mont Sesero, près de Bitashimwa, forêt de Bambous (alt. 2.000 m., 1-2.VIII.1934); Kibga, volcan Visoke, Ruanda (alt. 2.400 m., 11.II.1935); 31 exemplaires : 23 ♂♂, 8 ♀♀.

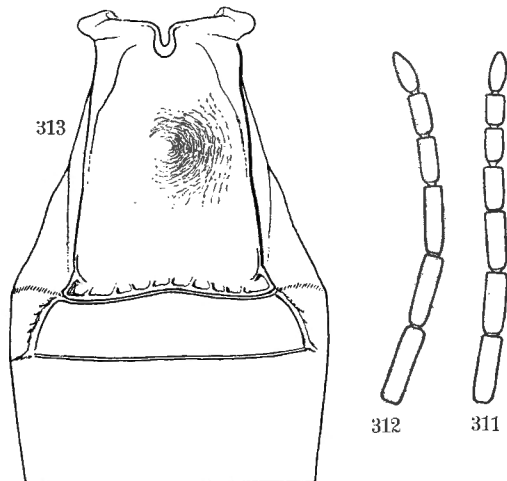


FIG. 311-313. — *Apanteles arundinariae* sp. n.

FIG. 311. — Sommet de l'antenne ♀. FIG. 312. — Sommet de l'antenne ♂.
FIG. 313. — Détail des trois premiers tergites abdominaux.

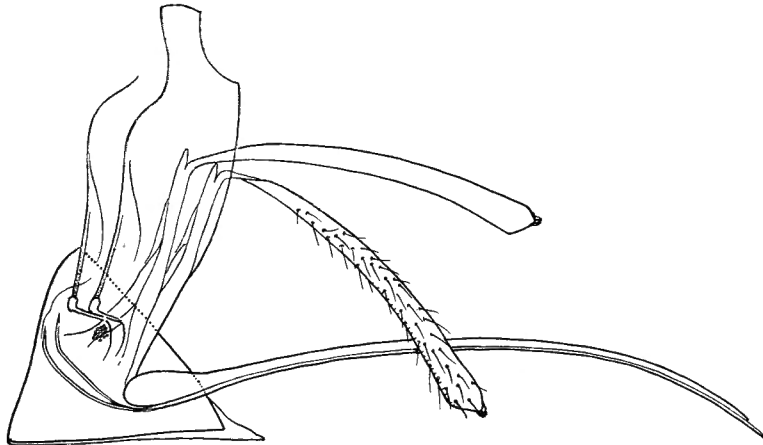


FIG. 314. — *Apanteles arundinariae* sp. n., hypopygium et genitalia, vus de profil.

AFFINITÉS : Les caractères de cette espèce ne correspondent pas à ceux des espèces figurant dans la clef de WILKINSON, elle s'y placerait près de l'espèce hindoue *Ap. bambusae* WILKN. Par les proportions du tergite II, cette espèce se rapproche de l'espèce congolaise *Ap. eurytergis* DE S., mais elle en diffère notablement par d'autres caractères.

116. — *Apanteles sylvaticus* sp. n.

(Fig. 315-317.)

Espèce très semblable à *Ap. arundinariae*, dont elle se différencie par les caractères suivants :

♀. *Coloration* : pattes I depuis le tiers basal des fémurs, pattes II faiblement à l'apex des fémurs et à la base des tibias, pattes III, à la base des tibias, rouge testacé foncé; éclaircie proximale du stigma plus distincte, nervation décolorée, sauf les nervures sous le stigma.

♀. *Ailes* : nervation assez variable; transverso-cubitale plus courte que la 1^{re} abcisse de la radiale, formant parfois avec celle-ci une ligne courbe, sans point de jonction discernable.

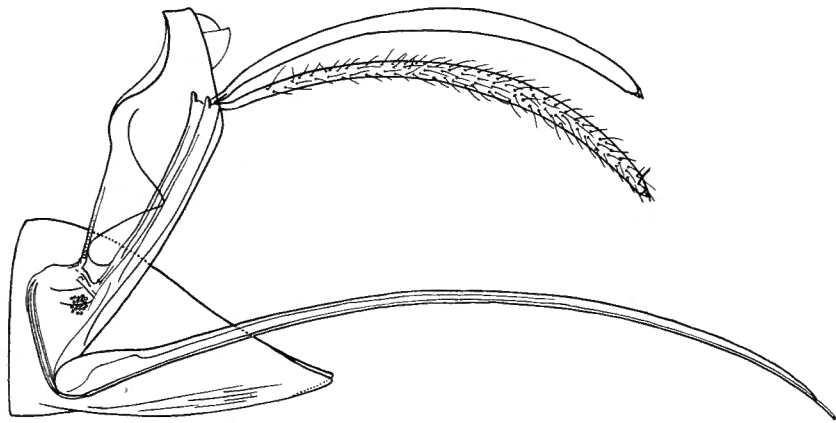


FIG. 315. — *Apanteles sylvaticus* sp. n., hypopygium et genitalia, vus de profil.

Pattes III : facette plane en dessus à la base des hanches III bien marquée et portant quelques forts pointillés rapprochés.

Abdomen : hypopygium membraneux sur sa ligne médiane à la face inférieure, à apex membraneux, aigu et fendu; valves de la tarière de la longueur des tarsi III (fig. 315).

♂ : trois exemplaires ♂♂, originaires du mont Sesero et portant le même numéro de capture (505) que les ♀♀ citées ci-dessous, ont une morphologie externe absolument semblable à celle du ♂ de *Ap. arundinariae*. Des préparations de genitalia permettent de constater une différence dans la structure de l'appareil copulateur (fig. 316 et 317). Toutefois, la grande similitude de ces spécimens ne doit faire admettre ces ♂♂ qu'avec réserve, comme appartenant à l'espèce *sylvaticus*. Seul l'élevage de ces *Apanteles* permettra d'éclaircir cette question.

Longueur : 2,8 mm.

DISTRIBUTION GÉOGRAPHIQUE : Ruhengeri, sources Kirii, Ruanda (alt. 1.800-1.825 m., 3.X.1934), holotype ♀; mont Sesero, près de Bitashimwa, forêt de Bambous (alt. 2.000 m., 1-2 et 2-3.VIII.1934), 3 ♂♂, 3 ♀♀; Ruhengeri, riv. Penge, Ruanda (alt. 1.800-1.825 m., 29.IX.1934); Nyabirehe, volcan Kari-simbi, Ruanda (alt. 2.000 m., 22.II.1935); Munagana, vers Gahinga-Sabinyo (alt. 2.200 m., 18.VIII.1934); Tshumba, Mushari (alt. 2.100 m., 23.IV et 1.V.1934); 11 exemplaires : 3 ♂♂; 8 ♀♀.

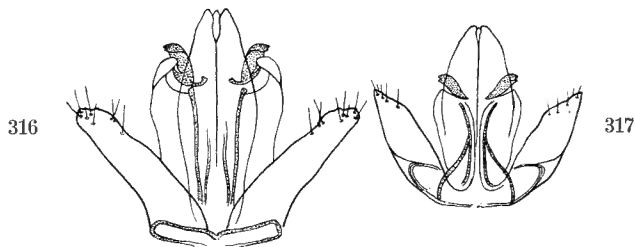


FIG. 316. — *Apanteles arundinariae* sp. n., appareil copulateur ♂.

FIG. 317. — *Apanteles sylvaticus* sp. n. ?, appareil copulateur ♂.

117. — *Apanteles conspicabilis* sp. n.

(Fig. 318-320.)

♀ : noire; palpes, pattes I entièrement (sauf une légère enfumure des tarsi), pattes II (sauf le 1/3 apical des tibias et les tarsi), pattes III (sauf la base des hanches parfois, l'apex des fémurs, les 2/5 apicaux des tibias et les tarsi, excepté la base des métatarses) et costale à la base, rouge testacé; apex des tibias et tarsi des pattes II, brunâtres; éperons des tibias II et III, pâles; les quatre premiers articles du flagellum et la moitié proximale du cinquième ou les cinq premiers et la moitié du sixième, d'un rouge testacé assez semblable à celui des pattes, l'intersection des articles légèrement plus sombre; ailes légèrement enfumées, un peu jaunâtres; stigma opaque, brun, nervures un peu plus claires, décolorées à la base de l'aile.

♀. *Tête* : face un peu plus large que longue, satinée, à petite ponctuation (degré 1), faible, régulière et assez dense; clypéus bien différencié de la face; ostioles faciales placées à égale distance entre les yeux et l'apex du clypéus; vertex imperceptiblement ponctué; occiput ponctué comme la face; espace oculo-ocellaire un peu plus grand que la distance séparant les ocelles postérieurs; antennes de la longueur du corps; 1^{er} article du flagellum environ 3,5 fois plus long que large, les six articles préapicaux subégaux deux à deux (fig. 318).

Thorax : mésonotum satiné, à ponctuation (degré 3) peu marquée, les pointillés espacés en moyenne par une distance égale à leur propre diamètre, plus denses sur une ligne longitudinale médiane antérieure, ainsi que le long des lignes des notaulices et accompagnés d'une aciculation à l'apex de ces derniers; sillon présutellaire droit, assez large, irrégulièrement

crénelé; disque du scutellum à faible convexité, brillant et lisse discalement, satiné et paraissant très finement aciculé près des bords latéraux, aciculation apparaissant parfois très faiblement sur le disque; mésopleures lisses et brillants, ruguleux-punctués antérieurement, cochléar peu marqué, transversalement strié à la partie inférieure; suture méso-métapleurale lisse; métapleures lisses et brillants dans le tiers antérieur, satinés ailleurs, plus ou moins carénés dans le tiers postérieur, à sillon médian lisse; propodeum brillant, peu densément ruguleux basalement aux costules, marqué

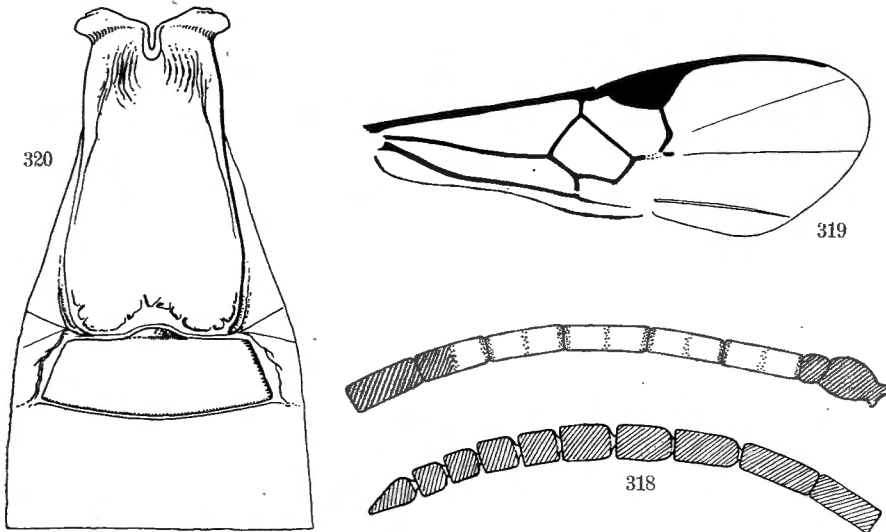


FIG. 318-320. — *Apanteles conspicabilis* sp. n. ♀.

FIG. 318. — Antenne. FIG. 319. — Aile antérieure.

FIG. 320. — Détail des trois premiers tergites abdominaux.

de quelques carènes obliques apicalement aux costules, les intervalles lisses; aréole à peu près lisse et brillante, en forme de U à l'apex, à peine plus longue que large, à carènes assez fortes, les basales à peine plus courtes que les apicales et se continuant parallèlement jusqu'à la base du propodeum, de chaque côté d'une aire plus ou moins fortement excavée, l'aréole n'est pas distinctement fermée à la base (type de *Ap. fontinalis*, n° 119).

Ailes : 1^{re} abcisse de la radiale à peine plus courte que la largeur du stigma et près de 2 fois la longueur de la transverso-cubitale qui est plus épaisse et forme avec elle un angle marqué; partie pigmentée de la 2^e abcisse de la cubitale épaisse et courte, plus courte que le sommet de la basale et à peu près égale à la moitié de la partie apicale de la cubitale, qui est, elle-même, environ aussi longue que la récurrente; stigma beaucoup plus court que le métacarpe (fig. 319).

Pattes III : hanches satinées, portant quelques pointillés un peu rugueux à la base en dessus, ailleurs petitement, peu densément et peu distinctement

ponctuées. Proportions : hanches, 20/32; fémurs, 11/45; tibias, 8/56; tarses : I, 28; II, 12; III, 0; IV, 7; V, 10; le plus long éperon des tibias la 1/2 et le plus court le 1/3 de la longueur des métatarses.

Abdomen (fig. 320) : tergite I brillant, excavé médialement à la base, fortement proéminent au milieu et faiblement courbé, striolé à la base, rugoso-ponctué à subréticulé ailleurs, marqué dans la moitié apicale d'une aire longitudinale médiane plus lisse et bordée de carènes un peu plus fortes; longueur médiane du tergite, 2 fois sa largeur apicale, 1,36 fois sa largeur basale et 1,6 fois sa plus grande largeur située au delà du tiers apical (26 : 13 : 11 : 16), ses bords latéraux un peu sinueux et divergents jusqu'à la plus grande largeur, ensuite convergents vers l'apex émarginé au milieu, angles apicaux à peine arrondis; tergite II un peu convexe, à sculpture très petite, finement rugueuse, presque chagrinée, ses sillons latéraux droits et divergents, sa longueur médiane 1,85 fois la largeur apicale du I et 2,85 fois sa propre largeur apicale (7 : 13 : 20), un peu plus large à la base que l'apex du I; 2^e suture légèrement arquée vers l'arrière, fine et bien marquée; longueur médiane du tergite III, 1,43 fois celle du II, ce tergite ainsi que les suivants, brillants, à petite ponctuation apicale; hypopygium membraneux à apex en biseau et fendu; valves de la tarière plus longues que les fémurs, plus courtes que les tibias, environ de la longueur des trois premiers articles des tarses III.

Longueur : 3 mm.; ♂, inconnu.

DISTRIBUTION GÉOGRAPHIQUE : Rutshuru (alt. 1.285 m., 11.VII.1935), holotype ♀; Ruhengeri, riv. Penge, Ruanda (alt. 1.800-1.825 m., 4-5.X.1934); Ruhengeri, sources Kirii, Ruanda (alt. 1.800-1.825 m., 31.VIII.1934); 10 exemplaires.

AFFINITÉS : Cette espèce se caractérise par la coloration de la base du flagellum. Les espèces connues ayant les antennes bicolores, telles *Ap. annulicornis* ASHM. et *Ap. taeniaticornis* WILKN., présentent une disposition différente de la teinte claire de cet organe, comme chez *Microgaster Laurae*. C'est la première espèce éthiopienne présentant ce caractère.

Sous-groupe COXALIS.

Mésonotum rugueux et habituellement strié le long des lignes des notaulices à l'apex; disque du scutellum lisse ou faiblement ponctué; aréole du propodeum en forme de U ou de V à l'apex, jamais tronquée, fermée à la base ou non par une carène transverso-basale, mais jamais par ses propres carènes basales qui se continuent toujours parallèlement jusqu'à la base du propodeum, de chaque côté d'une aire généralement déprimée ou excavée; 1^{re} abcisse de la radiale distinctement plus longue que la transverso-cubitale; hanches postérieures plus ou moins fortement rugueuses, parfois striées;

2^e tergite abdominal fortement chitinisé, à sculpture forte, rugueuse, parfois striée, ses sillons latéraux jamais très fortement divergents et ordinairement droits.

118. — **Apanteles langerburgensis** SZÉPLIGETI.

Apanteles langerburgensis SZÉPLIGETI, Wiss. Ergebn. Deutsch. Z. Africa Exp., III, 1911, p. 412, ♂ ♀; WILKINSON, Trans. Entom. Soc. Lond., LXXX, 1932, p. 317.

DISTRIBUTION GÉOGRAPHIQUE : Tanganyika Territory; collection DE WITTE : Munagana, vers Gahinga-Sabinyo (alt. 2.200 m., 18.VIII.1934); Nzulu, Sake (alt. 1.500 m., 14.II.1934); Ruhengeri, sources Kirii, Ruanda (alt. 1.800-1.825 m., 31.VIII.1934, 1 et 3.X.1934); Nzulu, lac Kivu (alt. 1.500 m., 31.I.1934); Kibga, volcan Visoke, Ruanda (alt. 2.400 m., 11.II.1935); Rutshuru (alt. 1.285 m., 23-30.XII.1933, 2 et 4.VII.1935); Burambi, volcan Muhavura, Ruanda (alt. 2.325 m., 5.IX.1934); Ruhengeri, riv. Penge, Ruanda (alt. 1.800-1.825 m., 29.IX.1934); Kalondo, lac Ndaraga, Mokoto (alt. 1.750 m., 22-27.III.1934); Rutshuru, riv. Musugereza (alt. 1.100 m., 10.VII.1935); lac Gando, pied volcan Karisimbi, Ruanda (alt. 2.400 m., 8.III.1935); Shamuheru, volcan Nyamuragira (alt. 1.820 m., 14-26.VI.1935); Rwindi (alt. 1.100 m., 20-24.XI.1934); Rutshuru, riv. Kanzarue (alt. 1.200 m., 16.VII.1935); Sake, lac Kivu (alt. 1.460 m., 19-22.II.1934); 34 exemplaires : 16 ♂♂, 18 ♀♀.

Hôte et cocon, inconnus

119. — **Apanteles fontinalis** sp. n.

(Fig. 321-327.)

♀ : noire; palpes (sauf l'article basal des palpes maxillaires), trochanters, trochantelles, apex des fémurs sur une longueur variable, tibias et éperons des pattes I, trochanters, trochantelles, extrême apex des fémurs en dessous et moitié basale des tibias des pattes II, trochanters, trochantelles, parfois l'extrême base des fémurs, environ la moitié basale des tibias et base des métatarses des pattes III, bords latéraux membraneux des tergites I et II et parfois l'apex du III, sternites de la base, rouge testacé; tarsi I et II, bruns, s'assombrissant distalement; tarsi III brun noirâtre; éperons des tibias I et II, pâles; ailes enfumées légèrement et entièrement, à soies colorées; stigma brun, opaque; nervures brunes à peine plus claires que le stigma.

♂ : semblable à la ♀; les colorations testacées généralement plus sombres, trochanters et trochantelles noirs.

♂ ♀. *Tête* : tête légèrement allongée (fig. 321); face à peu près aussi large que longue, brillante, à petite ponctuation (degré 1) régulière; clypéus différencié de la face seulement par sa convexité; ostioles faciales à égale distance des yeux et de l'apex du clypéus; espace oculo-malaire égal à la moitié de la plus grande largeur des yeux; vertex brillant, à ponctuation extrêmement petite; occiput satiné, petitement ponctué, plus densément que la face; espace

oculo-ocellaire égal à la distance séparant les ocelles postérieurs; antennes de la longueur du corps, épaissies distalement (♀), un peu plus longues que le corps et amincies distalement (♂); 1^{er} article du flagellum 4 fois plus long que large (15 : 3,5) chez la ♀, 3 fois chez le ♂ (15 : 5), les quatre articles pré-apicaux, chez la ♀, environ aussi larges que longs (fig. 322 et 323).

Thorax : mésonotum assez mat, à ponctuation (degré 3-4), profonde, irrégulière, coalescente le long des lignes des notaulices et d'une ligne longitudinale médiane, qui s'achèvent au sommet par une aciculation plus ou moins fortement marquée, accompagnée d'une petite impression secondaire peu apparente; sillon préscutellaire assez large, droit et divisé par 5 ou 6 carènes; disque du scutellum convexe, brillant, dépourvu de ponctuation, sauf quelques pointillés vagues et superficiels près des bords latéraux; mésopleures ponctués-réticulés dans la partie antérieure, lisses ailleurs, sauf une faible sculpture près du bord coxal et de fines stries dans le cochléar; métapleures lisses antérieurement, ponctués-réticulés postérieurement; propodeum marqué d'une grande aréole excavée, brillante et presque lisse, en forme de U à l'apex, à carènes fortes, les basales plus courtes que les apicales, fermée, au tiers basal environ, par une carène transversale plus faible; les carènes basales de l'aréole se continuent jusqu'à la base du propodeum de chaque côté d'une dépression médiane moins forte que celle de l'aréole; costules horizontales, courtes, aussi fortes que les carènes aréolaires; tégument du propodeum vaguement ruguleux avec quelques carènes irrégulières dans la moitié basale, moins, mais plus régulièrement caréné et plus brillant dans la moitié apicale.

Ailes : 1^{re} abcisse de la radiale égale à la largeur du stigma, près d'un tiers plus longue que la transverso-cubitale et formant avec celle-ci un angle faible, leur point de jonction bien marqué; la partie apicale de la 1^{re} abcisse de la cubitale égale aux 3/4 de la 1^{re} abcisse de la radiale et un peu plus courte que la récurrente; stigma plus court que le métacarpe (fig. 324).

Pattes III : hanches assez mates, rugoso-ponctuées à la base en dessus, aciculées dans la partie supérieure de la face externe et à l'apex, finement ponctuées et brillantes en dessous; fémurs brillants à petite ponctuation peu densément placée. Proportions : hanches, 23/38; fémurs, 14/52; tibias, 10/62; tarsi : I, 34; II, 13; III, 10; IV, 8; V, 11; le plus long éperon des tibias la moitié et le plus court environ le tiers de la longueur des métatarses; onychiums bien développés.

Abdomen (fig. 325) : tergite I, excavé, brillant et faiblement sculpté dans le tiers basal, fortement proéminent au milieu dans le tiers médian, légèrement convexe dans le tiers apical, un peu mat et réticulé depuis le tiers basal, marqué dans le tiers apical d'une aire médiane étroite, moins fortement sculptée, bordée de carènes longitudinales et pourvu d'une petite aire lisse et brillante, peu en relief, à l'apex; longueur médiane du tergite I environ 2,5 fois la largeur apicale, qui est à peine plus grande que la largeur

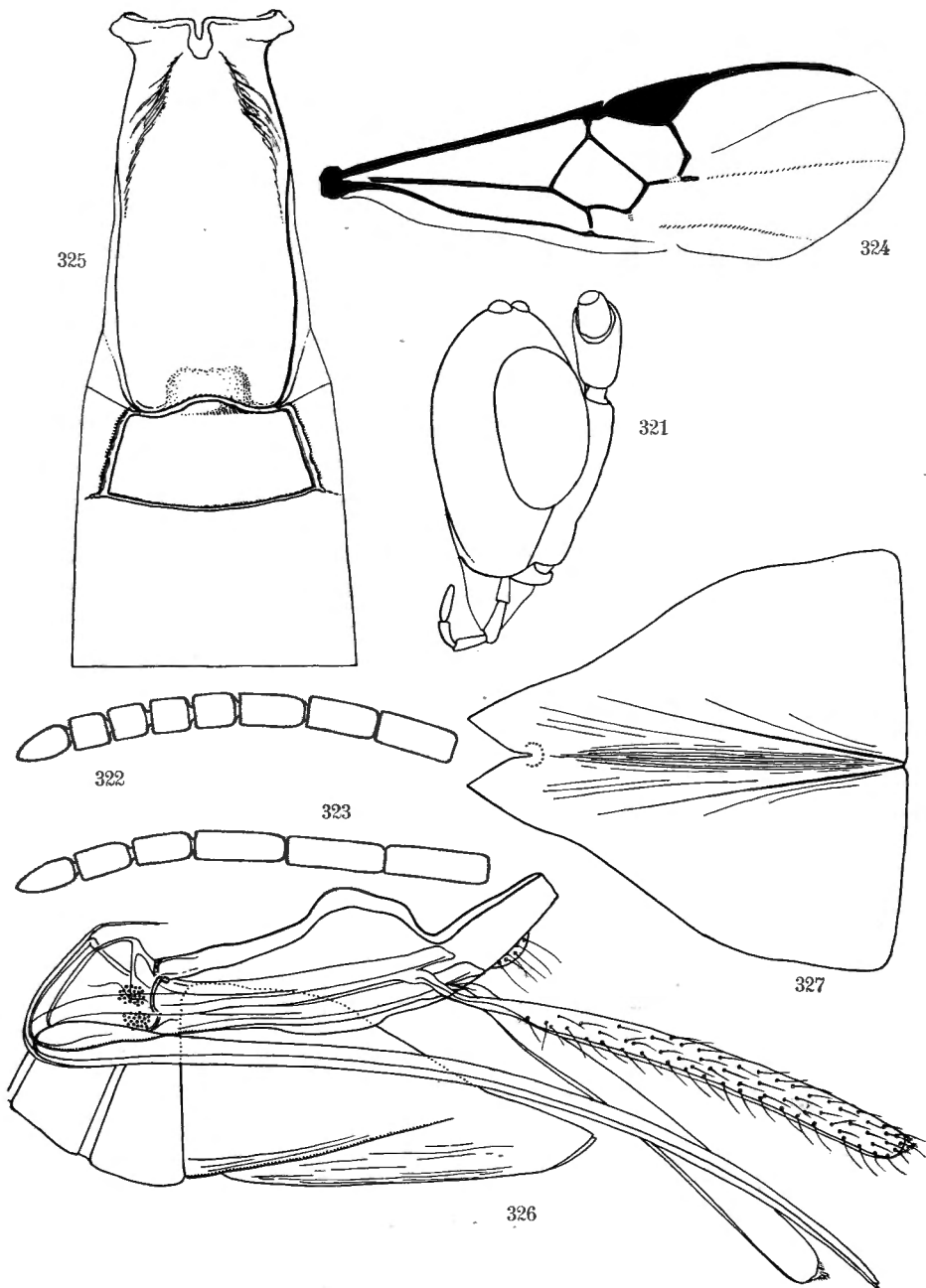


Fig. 321-327. — *Apanteles fontinalis* sp. n.

Fig. 321. — Tête, vue de profil.

Fig. 322. — Sommet de l'antenne ♀. Fig. 323. — Sommet de l'antenne ♂.

Fig. 324. — Détail de la nervation de l'aile antérieure.

Fig. 325. — Détail des trois premiers tergites abdominaux.

Fig. 326. — Hypopygium et genitalia, vus de profil.

Fig. 327. — Hypopygium, ouvert.

basale et 2 fois la plus grande largeur située à peu près au tiers apical (32 : 13 : 12 : 16), ses bords latéraux faiblement sinueux, apex échanuré, à angles fortement arrondis; tergite II épousant la forme de l'apex du I et un peu plus large, plus brillant au milieu que sur les côtés, ruguleux et ponctué, à sillons latéraux droits et bien marqués, sa longueur médiane 1,44 fois la largeur apicale du I et la moitié de sa propre largeur apicale (9 : 13 : 18), 2° suture fine et fortement arquée vers l'arrière; tergite III, 1,55 fois plus long que le II, brillant et portant de petits pointillés épars; hypopygium à développement membraneux, aigu et fendu à l'apex, mais dépourvu de foramen; valves de la tarière plus longues que les tibias et un peu plus courtes que les tarse des pattes III (fig. 326 et 327).

Longueur : ♂, 3,2 mm.; ♀, 3,5 mm.

DISTRIBUTION GÉOGRAPHIQUE : Ruhengeri, sources Kirii, Ruanda (alt. 1.800-1.825 m., 1.X.1934), holotype ♀, allotype ♂ et paratypes; Ilega, volcan Karisimbi, Ruanda (alt. 2.400 m., 12.III.1935); Ruhengeri, riv. Penge, Ruanda (alt. 1.800-1.825 m., 4-5.X.1934); vers Rweru, volcan Mikeno, forêt de Bambous (alt. 2.400 m., 26-27.VII.1934); Kanyabayongo, Kabasha (alt. 1.760 m., 7.XII.1934); Kundhuru ya Tshuve, col Gahinga-Sabinyo, Ruanda, forêt de Bambous (alt. 2.600 m., 15.IX.1934); lac Gando, volcan Karisimbi (alt. 2.400 m., 6.III.1935); 22 exemplaires : 8 ♂♂, 14 ♀♀.

AFFINITÉS : Cette espèce se place au couplet 178 de la clef de WILKINSON, mais diffère de *Ap. syleptae* FERR. par la sculpture du propodeum, de *Ap. langerburgensis* SZÉPL. par les longueurs respectives des 2° et 3° tergites abdominaux; de *Ap. brédoi* DE S. qui se place également au même endroit de cette clé, elle diffère par une carénation du propodeum plus forte, les 1^{er} et 2° tergites de proportions différentes, par une sculpture beaucoup plus caractérisée de ce dernier et par la pigmentation de la nervation alaire.

Ap. fontinalis présente surtout une affinité de structure avec *Ap. coxalis* SZÉPL., dont il se distingue par une sculpture moins carénée des 1^{er} et 2° tergites, par les valves de la tarière nettement plus longues et une taille un peu plus forte. Les caractères de cette espèce correspondent très bien à la description de l'espèce vitienne *Ap. hymeniae* WILKN., elle en diffère par la coloration et quelques autres détails dont, entre autres, la longueur des valves de la tarière.

Il est évident que ces différentes espèces constituent un groupement naturel.

120. — *Apanteles cato* sp. n.

(Fig. 328-332.)

♀ : noire; palpes, pattes I et II entièrement, extrême apex et moitié apicale de la face inférieure des hanches, trochanters, trochantelles, fémurs (sauf une tache apicale, 1/5), tibias (sauf l'apex, 1/6) et base des métatarses des pattes III, tegulae, sclérites axillaires, partie basale de la costale, bords laté-

raux membraneux des tergites I et II parfois et parties latérales du III, plus largement vers l'apex, sternites de la base, partie membraneuse de l'hypopygium, rouge testacé; tarsi III ailleurs, noir brunâtre; éperons des tibia III, pâles; ailes hyalines, légèrement jaunâtres, à soies colorées; stigma brun, opaque, nervures un peu plus claires, incolores à la base de l'aile. La coloration testacée du tergite III est d'intensité variable, quelquefois imperceptible.

♂ : semblable à la description de la ♀, à l'exception des caractères suivants :

Hanches environ dans la moitié apicale et restant des pattes I, apex des hanches, trochanters, trochantelles, extrême base et extrême apex des fémurs, moitié basale des tibia des pattes II, trochanters, trochantelles, extrême base des fémurs et moitié basale des tibia des pattes III, rouge testacé; pattes II ailleurs, brun noirâtre; tarsi III noir brunâtre; bords latéraux membraneux des tergites I et II noirâtres; tergite III toujours entièrement noir.

♂ ♀. *Tête* : environ 2 fois plus large que longue; ligne faciale plus longue que la transfaciale; face satinée, à petite ponctuation (degré 1), assez dense, et portant un tronçon de carène médiane au sommet; clypéus différencié de la face; ostioles faciales un peu plus près des yeux que de l'apex du clypéus; vertex satiné et très finement ponctué; occiput ponctué comme la face, mais moins densément; ocelles postérieurs à peine plus près l'un de l'autre que des yeux; antennes égales à la longueur du corps plus 2 fois la tête chez la ♀, égales à la longueur du corps plus une fois l'abdomen chez le ♂; 1^{er} article du flagellum 3,5 fois plus long que large chez la ♀ (14 : 4) un peu moins de 3 fois chez le ♂ (14 : 5); les quatre articles préapicaux environ 1,5 fois plus longs que larges chez la ♀, les deux articles préapicaux environ 2 fois plus longs que larges chez le ♂ (fig. 328 et 329).

Thorax : mésonotum satiné, à ponctuation (degré 3) assez peu distincte étroitement placée et un peu rugueuse le long des lignes des notaulices ainsi que sur une ligne longitudinale médiane, ces lignes faiblement ponctuées-aciculées à l'apex où elles confluent (cette aciculation est plus marquée chez certains spécimens); sillon présutellaire, droit, peu profond, crénelé; disque du scutellum satiné, plus brillant au milieu, vaguement et faiblement ponctué latéralement; partie lisse des axillae atteignant au moins la moitié de la longueur du disque du scutellum; mésopleures rugoso-ponctués antérieurement, lisses ailleurs, brillants au milieu et postérieurement, cochléar faiblement marqué; suture méso-métapleurale lisse; métapleurales lisses et brillants antérieurement, mats et rugueux postérieurement, à sillon médian lisse; propodeum faiblement brillant, à stries faibles, aréole en forme de V à l'apex, un peu plus longue que large, à carènes de force moyenne, les carènes apicales un peu plus de 2 fois plus longues que les basales; l'aréole n'est pas distinctement fermée par une carène transversale à la base, les carènes

basales se continuant parallèlement jusqu'à la base du propodeum; tégument dans l'aréole plus brillant, costules un peu moins fortes que les carènes de l'aréole, droites ou légèrement obliques (fig. 330).

Ailes (fig. 331) : 1^{re} abcisse de la radiale 1,25 fois plus longue que la largeur du stigma, légèrement incurvée, 3 fois plus longue que la transverso-cubitale et ne formant qu'un angle très faible avec cette dernière, qui est à peine plus longue que la partie pigmentée de la 2^e abcisse de la cubitale; par-

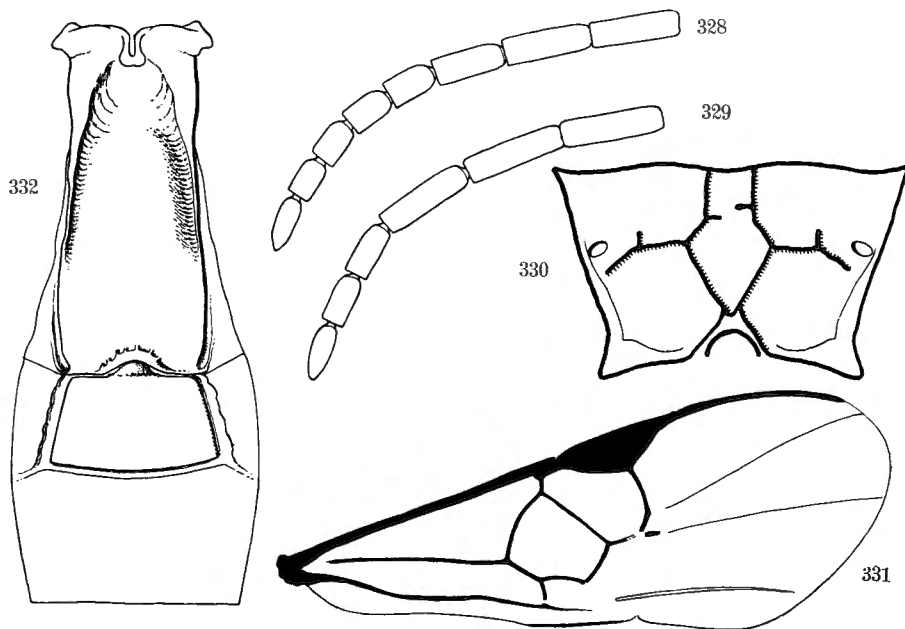


Fig. 328-332. — *Apanteles cato* sp. n.

Fig. 328. — Sommet de l'antenne ♀. Fig. 329. — Sommet de l'antenne ♂.

Fig. 330. — Schéma de l'aréolation du propodeum.

Fig. 331. — Détail de la nervation de l'aile antérieure.

† Fig. 332. — Détail des trois premiers tergites abdominaux ♀.

tie apicale de la 1^{re} abcisse de la cubitale près de 2 fois la longueur de la transverso-cubitale et égale aux 2/3 de la récurrente; stigma plus court que le métacarpe.

Pattes III : hanches peu brillantes, finement aciculées et petitement ponctuées. Proportions : hanches, 18/36; fémurs, 12/46; tibias, 9/58; tarses : I, 28; II, 11; III, 9; IV, 7; V, 8; le plus long éperon des tibias la moitié et le plus court le 1/3 de la longueur des métatarses.

Abdomen (fig. 332) : tergite I excavé à la base, fortement proéminent au milieu et faiblement courbé, brillant et striolé à la base, rugueux ailleurs, plus finement vers l'apex, orné de quelques soies dans les 2/3 apicaux et présentant une aire longitudinale médiane, un peu excavée, dans la moitié

apicale, sa longueur médiane 2,33 fois ses largeurs apicale et basale qui sont à peu près égales et 2,15 fois sa plus grande largeur située vers le 1/4 apical (28 : 12 : 12 : 13), ses bords latéraux plus ou moins droits, faiblement divergents jusqu'à la plus grande largeur ensuite faiblement convergents vers l'apex, celui-ci nettement échancré, petite aire médiane apicale faiblement marquée; tergite II plus finement et plus superficiellement rugueux que le I, portant quelques punctuations dans la moitié apicale, localisées surtout sur les côtés, un peu plus étroit à la base que l'apex du I, sa longueur médiane 1,2 fois plus courte que la largeur apicale du I, à peine plus courte que sa propre largeur basale et 1,5 fois sa propre largeur apicale (10 : 12 : 11 : 15), ses sillons latéraux bien marqués, droits et légèrement divergents; 2^e suture plus mince que les sillons latéraux du II et arquée vers l'arrière, parfois faiblement; longueur médiane du tergite III à peine plus longue que celle du II (11 : 10), brillant et portant quelques très petits pointillés espacés, excepté dans une aire obtriangulaire médiane à la base et une bande comprenant le 1/4 apical; hypopygium membraneux, aigu et fendu à l'apex, semblable à celui de *Ap. fontinalis* (fig. 326); valves de la tarière de la longueur des fémurs III (fig. 2). Chez le ♂, les proportions des trois premiers tergites sont un peu différentes : tergite I plus court mais de même rapport avec sa largeur (26 : 11); tergite II également plus court (9); tergite III, 1/3 plus long que le II (12 : 9).

DISTRIBUTION GÉOGRAPHIQUE: vers Rweru, volcan Mikeno, forêt de Bambous (alt. 2.400 m., 3 et 26-27.VII.1934), holotype ♀, allotype ♂ et paratypes; Ilega, pied du volcan Karisimbi, Ruanda (alt. 2.400 m., 12.III.1935); Kundhuru ya Tshuve, col Gahinga-Sabinyo, Ruanda, forêt de Bambous (alt. 2.600 m., 18.IV.1934); Tshamugussa, Bweza, forêt de Bambous (alt. 2.250 m., 10.VIII.1934); Ruhengeri, riv. Penge, Ruanda (alt. 1.800-1.825 m., 30-31.VIII.1934); Ruheñgeri, sources Kirii, Ruanda (alt. 1.800-1.825 m., 1.X.1934); vers le mont Kamatembe (vers 2.300 m., 7-23.I.1935); Kinyamahura, Djomba (alt. 1.800 m., 23.VIII.1934); lac Gando, pied du volcan Karisimbi, Ruanda (alt. 2.400 m., 8.III.1935); mont Tamira, près du lac Gando, Ruanda (alt. 2.600 m., 11.III.1935); Rutshuru (alt. 1.285 m., 1-6.VI.1935-4.VII.1935); Rutshuru, riv. Musugereza (alt. 1.100 m., 8.VII.1935); Kalondo, lac Ndaraga, Mokoto (alt. 1.750 m., 22-27.III.1934); Nyasheke, volcan Nyamuragira (alt. 1.820 m., 14-26.VI.1935); Nyarusambo (alt. 2.000 m., 30.VI, 2.VII.1934); Burunga, Mokoto (alt. 2.000 m., 17-19.III.1934); Nyakibumba, près de Kikere (alt. 2.226 m., 9.VII.1934); Ngesho (alt. 2.000 m., 3-6.IV.1934); mont Sesero, près de Bitashimwa (alt. 2.000 m., 1-2.VIII.1934); Sake, lac Kivu (alt. 1.410 m., 19-22.II.1934); 179 exemplaires : 126 ♂♂, 53 ♀♀.

121. — **Apanteles subaltus** sp. n.

(Fig. 333.)

♀ : noire, palpes, pattes I et II entièrement (sauf une très légère enfumure apicale des tibias II), extrême apex des hanches, trochanters, trochantelles, un peu plus de la moitié basale des fémurs, moitié basale des tibias et extrême base des métatarses des pattes III; partie membraneuse de l'hypopygium rouge testacé; tarsi III brun noirâtre; éperons des tibias III pâles; tegulae, bords latéraux membraneux des tergites I et II, parties latérales du III d'une façon plus ou moins étendue et parfois entièrement,

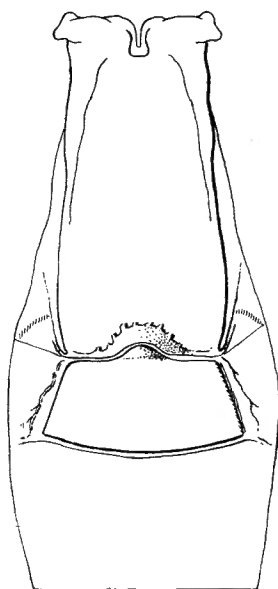


Fig. 333. — *Apanteles subaltus* sp. n.,
détail des trois premiers tergites abdominaux.

sternites de la base, rouge testacé à rougeâtres, quelquefois assez sombres; ailes hyalines, non colorées ou très faiblement; stigma brun sombre, opaque; nervures brun pâle, costale légèrement éclaircie à la base.

♂ : semblable à la ♀, à l'exception des caractères suivants : pattes I entièrement, pattes II (sauf une légère enfumure de l'apex des tibias et les tarsi), extrême apex des hanches, trochanters, trochantelles, extrême base des fémurs, environ le tiers basal des tibias et extrême base des métatarses des pattes III, rouge testacé.

♂ ♀ : correspondent à ma description de la sculpture de *Ap. cato* (n° 120) et n'en diffèrent que par de faibles détails :

Carénation du propodeum un peu plus forte; aréole aussi large que longue, ses carènes basales un peu plus divergentes et plus courtes chez

la ♀; bords latéraux du tergite I parallèles, ce tergite un peu plus large (28 : 14 : 12 : 15); tergite II un peu plus court, plus large (9 : 14 : 13 : 18) et plus distinctement strié (fig. 333); ces tergites assez semblables, à part leurs dimensions, à ceux de *Ap. fontinalis* (fig. 225); abdomen du ♂ plus étroit que celui de la ♀, tergites I et II à proportions plus petites (22 : 10 : 10 : 12), (7 : 10 : 13); le III 1/3 plus long que le II (12 : 9), les sillons latéraux de ce dernier un peu courbés.

Longueur : ♂, 2,8 mm.; ♀, 3 mm.

DISTRIBUTION GÉOGRAPHIQUE : Rutshuru (alt. 1.285 m., 22.V, 4.VI.1934, 18-23.VI.1934, 29-31.V.1935, 6.VI.1935, 2 et 4.VII.1935); Rutshuru, riv. Lubirizi (alt. 1.285 m., 13.VII.1935); Rutshuru, Buhanya (alt. 1.200 m., 6.VII.1935); Rutshuru, riv. Fuku (alt. 1.250 m., 5.VII.1935); Tshamugussa, Bweza, forêt de Bambous (alt. 2.250 m., 9.VIII.1934); mont Sesero, près de Bitashimwa, forêt de Bambous (alt. 2.000 m., 1-2.VIII.1934); Ruhengeri, riv. Penge, Ruanda (alt. 1.800-1.825 m., 30-31.VIII.1934, 4-5.X.1934); Ruhengeri, sources Kirii, Ruanda (alt. 1.800-1.825 m., 31.VIII.1934); Luofu (alt. 1.700 m., 10.XII.1934); Ngesho (alt. 2.000 m., 3-6.IV.1934); forêt près du mont Kamatembe (alt. 2.200 m., 12.IV.1934); Kalondo, lac Ndaraga, Mokoto (alt. 1.750 m., 22-27.III.1934); Rutshuru, riv. Rodahira (alt. 1.200 m., 1.VII.1935); Rutshuru, riv. Musugereza (alt. 1.100 m., 4.VII.1935); Nyongera, près de Rutshuru (alt. 1.248 m., 22.VI.1935); Tshumba, Mushari (alt. 2.100 m., 28.IV, 1.V.1934); Bishakishaki, plaine de lave (alt. 2.100 m., 7-23.I.1935); Ruhengeri, Moruguhu, Ruanda (alt. 1.800-1.825 m., 6.II.1935); Tshengelero, près de Munagana (alt. 1.750 m., 21.VIII.1934); Nzulu, Sake (alt. 1.500 m., 9 et 14.II.1934); 86 exemplaires : 43 ♂♂, 43 ♀♀.

a) ***Apanteles subaltus nigrifemur* ab. n.**

Cette aberration se distingue de l'espèce par les caractères suivants :

♀ : apex des hanches II, extrême base ou tout au plus le quart basal des fémurs III et la moitié basale des tibias III, rouge testacé; parfois les fémurs sur la face supérieure et l'apex des tibias des pattes III, enfumés.

DISTRIBUTION GÉOGRAPHIQUE : Rutshuru, riv. Lubirizi (alt. 1.285 m., 13.VII.1935), holotype ♀; idem (id., 3.V.1934, 4.VII.1935); Sake, lac Kivu (alt. 1.460 m., 19-22.II.1934); Kalondo, lac Ndaraga, Mokoto (alt. 1.750 m., 22-27.III.1934); 8 exemplaires ♀♀.

ESPECES CONGOLAISES
NE FIGURANT PAS DANS LA COLLECTION
DE LA MISSION DE WITTE.

[I. — **Apanteles pistrinariae** WILKINSON.]

Apanteles pistrinariae. WILKINSON, Bull. Ent. Res., XX, 1930, p. 443, ♂ ♀;
DE SAEGER, Rev. Zool. Bot. Afr., XXXIV, 1941, p. 323.

Nigérie du Sud; Congo Belge : Elisabethville (Katanga).

Hôte : au Nigeria, *Mylothris chloris* F. (Pieridae).

Cocons : chamois pâle, empilés régulièrement côte à côte, les deux extrémités exposées à l'extérieur.

[II. — **Apanteles lefèvrei** DE SAEGER.]

Apanteles lefèvrei DE SAEGER, Rev. Zool. Bot. Afr., XXXIV, 1941, p. 333,
♂ ♀; idem, XXXV, 1941, p. 265.

Ruanda-Urundi : Kitega (Urundi).

Hôte : *Acraea terpsychore* L. (Acraeidae), sur *Smithia bequaerti* (Légum.).

Cocons : inconnus.

Epiparasite : *Mesochorus ornatus* WILKN. (Ichneum.-Mesochorinae) parasitant les nymphes.

[III. — **Apanteles kivuensis** DE SAEGER.]

Apanteles kivuensis DE SAEGER, Rev. Zool. Bot. Afr., XXXIV, 1941, p. 335,
♂ ♀.

Congo Belge : Kalonge (Kivu).

Hôte et *cocons* : inconnus.

[IV. — **Apanteles gratiosus** WILKINSON.]

Apanteles gratiosus WILKINSON, Bull. Ent. Res., XXI, 1930, p. 150, ♂ ♀;
WILKINSON, Stylops, III, fasc. 7, 1934, p. 145; DE SAEGER, Rev. Zool. Bot.
Afr., XXXIV, 1941, p. 323; idem, XXXV, 1941, p. 264.

Uganda; Congo Belge : Eala (Équateur), Luputa (Lomami), Bambesa (Uele), Alipago (Uele), Nioka (Uele).

Hôtes : en Uganda, *Dasychira goodi* HOLLAND (Lymantriidae); au Congo Belge, à Eala, *Spilosoma* sp. sur *Ficus elastica*, à Bambesa, *Taragama polydora* DRC., var. *obliquatum* STRD. (Lasiocampidae) sur *Arachis hypogea*, à Nioka, *Amphicallia pactolicus* BTLR. (Arctiidae), sur *Crotolaria* sp.

Cocons : chez un exemplaire de *Spilosoma* d'Eala, les cocons sont fixés parmi les poils, perpendiculairement au corps de la chenille; chaque spécimen, de la série originaire de Bambesa, est accompagné d'un cocon régulier, non entouré de soies libres et d'une coloration très légèrement rougeâtre; les exemplaires du Lomami sont accompagnés d'une chenille de Lasiocampide portant des cocons placés isolément, dressés perpendiculairement au corps de la chenille et fixés à celui-ci par le pôle anal.

[V. — **Apanteles pallidocinctus** GAHAN.]

Apanteles pallidocinctus GAHAN, Proc. U. S. Nat. Mus., LIV, 1918 (1919), p. 588, ♀; WILKINSON, Bull. Ent. Res., XIX, 1928, p. 81 (*papilionis*), ♂ ♀; WILKINSON, Bull. Ent. Res., XX, 1929, p. 107; WILKINSON, Bull. Ent. Res., XXI, 1930, p. 150-151; WILKINSON, Trans. Ent. Soc. Lond., LXXX, 1932, p. 302; DE SAEGER, Rev. Zool. Bot. Afr., XXXIV, 1941, p. 328; idem, XXXV, 1941, p. 328.

Uganda; Kenya; Congo Belge : Elisabethville (Katanga), Mulungu (Kivu), Malambwe (Katanga), Eala (Équateur).

Hôtes : en Uganda, *Papilio demodocus* L. (Papilionidae); au Kenya, obtenu d'un *Papilio*, probablement *P. demodocus*; au Congo, à Elisabethville et à Mulungu, le même hôte sur *Citrus*, à Malambwe de *Papilio angolanus* GOEZE et à Eala, *Mycalesis medontias* HEW. (Satyridae), sur *Aframomum granum paradisi* L. (Zingibéracées).

Cocons : bruns ou pâles pour les exemplaires provenant de l'Uganda, les séries d'Elisabethville sont accompagnées de cocons isolés de couleur brun rougeâtre clair.

[VI. — **Apanteles seydeli** DE SAEGER.]

Apanteles seydeli DE SAEGER, Rev. Zool. Bot. Afr., XXXIV, 1941, p. 337, ♂ ♀; idem, XXXV, 1941, p. 265.

Congo Belge : Elisabethville (Katanga), Rutshuru (Kivu).

Hôtes : à Elisabethville, *Nudaurelia* (= *Gonimbrasia*) *rubra* BOUV. (Saturniidae) et *Bombycopsis bipars* WLK. (Lasiocampidae); à Rutshuru, *Urota sinope* WESTW. (Saturniidae), sur *Erythrina abyssinica* (Légum.).

Cocons : blanc crème, un peu papyracés et isolés.

[VII. — **Apanteles ituriensis** DE SAEGER.]

Apanteles ituriensis DE SAEGER, Rev. Zool. Bot. Afr., XXXIV, 1941, p. 339,

♂.

Congo Belge : mont Wago (Ituri).

Hôte et *cocons* : inconnus.

[VII. — **Apanteles regalis** DE SAEGER.]

Apantelis regalis DE SAEGER, Rev. Zool. Bot. Afr., XXXV, 1941, p. 218, ♀.

Congo Belge : Rutshuru (Kivu).

Hôte et *cocons* : inconnus.

[IX. — **Apanteles anthozelae** DE SAEGER.]

Apanteles anthozelae DE SAEGER, Rev. Zool. Bot. Afr., XXXV, 1941, p. 221,

♀.

Congo Belge : Eala (Équateur).

Hôtes : ex fruits d'*Anonidium mannii* (Annonacées) + *Anthozela anoni-dii* GHESQ. (Eucosmidae).

Cocons : inconnus.

[X. — **Apanteles sagax** WILKINSON.]

Apanteles sagax WILKINSON, Bull. Ent. Res., XX, 1929, p. 111, ♂ ♀ ;

DE SAEGER, Bull. Agr. Congo Belge, XXVIII, 1937, p. 145; DE SAEGER, Rev. Zool. Bot. Afr., XXXV, 1941, p. 233.

Tanganyika Territory; Congo Belge : Eala (Équateur); Nyangwe (Lomami), Sankuru, Bambesa (Uele), Nzali (Ubangi), Bumba (Ubangi), Lukuga (Tanganika), Uvira (Kivu).

Hôte : *Syllepta derogata* F. (Pyraustidae), sur cotonnier et *Hibiscus esculentus*.

Cocons : blancs, agglomérés autour de la dépouille de l'hôte et réunis par des soies lâches. Durée de la période larvaire : 6 à 16 jours (Tanganika); durée de la nymphose : 4 jours (avril, Tanganika).

Épiparasites : *Syntomosphyrum phaeosoma* WTRST. (Proctotrupidae) et *Calliceras* sp. (Calliceratidae).

[XI. — **Apanteles bordagei** GIARD.]

Apanteles sp., GIARD, Bull. Soc. Ent. France, 1898, p. 201.

Apanteles bordagei GIARD, Bull. d'Agr. colon. 1901-1909, p. 22, ♀ ; BORDAGE, Bull. Sci. France Belg., XLVII, 1913, p. 384; Box, Bull. Ent. Res., XIV, 1923, p. 133; WILKINSON, Stylops, III, fasc. 7, 1934, p. 150.

Kenya; Tanganyika Territory; Congo Belge : Rutshuru (Kivu).

Hôte : *Leucoptera coffeina* WSHBN. [syn. *L. coffeella*, auct. p. p. nec GUÉRIN], (Lyonetiadae), mineuse des feuilles de Caféier.

Observations : Les exemplaires originaires de Rutshuru (J. GHESQUIÈRE, IV et V.1937) sont au nombre de 72, tous du sexe ♀. Il y a lieu de remarquer que tous les spécimens récoltés à ce jour sont uniquement des ♀♀, il est fort probable qu'il s'agit d'une espèce thélytoque.

[XII. — **Apanteles hapaliae** DE SAEGER.]

Apanteles hapaliae DE SAEGER, Rev. Zool. Bot. Afr., XXXV, 1941, p. 257, ♂.

Congo Belge : Eala (Équateur).

Hôte : *Hapalia ablactalis* WLK. (Pyraustidae), vivant dans les fleurs de *Spathodea campanulata* (Bignoniacées).

Cocons : inconnus. Durée de la nymphose : 15 jours (octobre).

[XIII. — **Apanteles coffea** WILKINSON.]

Apanteles coffea WILKINSON, Bull. Ent. Res., XXI, 1930, p. 277, ♂♀ ;
DE SAEGER, Rev. Zool. Bot. Afr., XXXV, 1941, p. 235.

Uganda; Congo Belge : Rutshuru (Kivu).

Hôtes : en Uganda, dans les baies de Caféier, probablement *Argyroploce* (= *Enarmonia*) *batrachopa* MEYR. (Eucosmidae), mais peut-être *Ischnurges* (= *Thliptoceras*) *octoguttalis* FELD. (Pyraustidae), enfin dans les baies d'un *Tricalysia* sp., cette Pyrauste sans aucun doute; au Congo Belge, *Ischnurges* sp. sur Caféier.

Cocons : blancs, papyracés.

[XIV. — **Apanteles pentagonius** DE SAEGER *nom. nov.*]

Apanteles wilkinsoni DE SAEGER, Rev. Zool. Bot. Afr., XXXV, 1941, p. 250, ♂♀ (nec FAHRINGER, 1935).

Congo Belge : Lukolela (Moyen-Congo), Rutshuru (Kivu).

Hôte : *Lamprosema indicata* F. (Pyraustidae), vivant sur *Vigna sinensis* (Légum.).

Cocons : inconnus.

[XV. — **Apanteles carterus** WILKINSON.]

Apanteles carterus WILKINSON, Bull. Ent. Res., XXI, 1930, p. 278, ♂♀ ;
DE SAEGER, Rev. Zool. Bot. Afr., XXXV, 1941, p. 243.

Soudan anglo-égyptien; Congo Belge : Bambesa (Uele).

Hôtes : *Earias insulana* BOISD. et *Diparopsis castanea* HMPS. (Noctuidae), dans des capsules de Cotonnier et d'Abutilon, au Soudan; au Congo Belge, obtenu dans une cage d'élevage de *Platyedra gossypiella* SAUND. (Gelechiidae).

Cocons : blancs.

[XVI. — **Apanteles maynéi** DE SAEGER.]

Apanteles maynéi DE SAEGER, Rev. Zool. Bot. Afr., XXXV, 1941, p. 254, ♂ ♀.

Congo Belge : Congo da Lemba (Bas-Congo).

Hôte : parasite de chenilles d'un Limacodide sp., 220 individus éclos d'une seule chenille.

Cocons : inconnus.

[XVII. — **Apanteles diparopsidis** LYLE.]

Apanteles diparopsidis LYLE, Bull. Ent. Res., XVII, 1927, p. 415, ♂ ♀; WILKINSON, Bull. Ent. Res., XVIII, 1928, p. 394; WILKINSON, Trans. Ent. Soc. Lond., LXXX, 1932, p. 314; DE SAEGER, Rev. Zool. Bot. Afr. XXXV, 1941, p. 234.

Transvaal; Uganda; Nigéria; Rhodésie du Nord; Zululand; Soudan anglo-égyptien; Congo Belge : Lemba (Mayumbe), Rutshuru (Kivu).

Hôtes : au Transvaal et au Zululand, *Diparopsis castanea* HMPS. (Noctuidae) sur Cotonnier; en Uganda, *Platyedra erebodoxa* MEYR. (Gelechiidae) sur *Hibiscus diversifolius* (Malvacées) et *Earias biplaga* WLK. (Noctuidae), ce dernier hôte également au Nigeria; en Rhodésie, *Earias sp.* et *Earias insulana* BOISD.; au Soudan, *Platyedra gossypiella* SAUND. (Gelechiidae), sur Cotonnier; au Congo Belge, *Hapalia ablactalis* WLK. (Pyraustidae), dans les fleurs de *Spathodea campanulata* (Bignoniacées), une série de Rutshuru est renseignée « ex capsules de *Hibiscus rostellatus* (Malvacées), avec *Earias sp.*, *Platyedra cunctatrix* MEYR., *Dichocrocis surusalis* WLK, etc. ».

Cocons : blancs et lorsqu'ils sont trouvés en nombre, réunis sans disposition particulière.

Épiparasites : au Zululand, *Elasmus masii* var. *natalensis* FERR. (Chalc. Elasmidae); en Uganda, ces *Apanteles* ont été obtenus de *Platyedra erebodoxa* MEYR., en même temps que des exemplaires de *Microbracon hancocki* WILKN., et de *Chelonella ritchiei* WILKN., association encore compliquée par la présence de deux espèces d'Hyménoptères parasites, un Chalcidide (*Eurytoma sp.*) et un Proctotrupide (*Calliceras sp.*), qui sont présumés en être les épiparasites.

[XVIII. — *Apanteles syleptae* FERRIÈRE.]

Apanteles syleptae FERRIÈRE, in VAYSSIÈRE et MIMEUR, L'Agron. colon., XC, 1926, p. 261, ♂ ♀; WILKINSON, Trans. Ent. Soc. Lond., LXXX, 1932, p. 318; DE SAEGER, Rev. Zool. Bot. Afr., XXXV, 1941, p. 243.

Soudan; Tanganyika Territory; Soudan anglo-égyptien; Congo Belge : Eala (Équateur).

Hôtes : *Syllepta derogata* F. (Pyraustidae), au Soudan, Soudan anglo-égyptien et Tanganyika; au Congo Belge, *Acrocercops bifasciata* WALS. (Lithocollétidae), Gracilaire mineuse de feuilles de Cotonnier. La grande différence entre ce dernier hôte et celui observé ailleurs fait douter de l'exactitude de la détermination de cet *Apanteles* au Congo Belge.

Cocons : inconnus.

Épiparasites : épiparasites de *Syllepta* et probablement parasites de *Ap. syleptae* : *Stictopisthus africanus* FERR. (Ichneum. Mesochorinae) et *Eupelmus soudanensis* FERR. (Chalc. Eupelminae), au Soudan. Ces deux Hyménoptères ont été récoltés au Congo Belge également.

[XIX. — *Apanteles epiplemicidus* DE SAEGER.]

Apanteles epiplemicidus DE SAEGER, Rev. Zool. Bot. Afr., XXXV, 1941, p. 261, ♂ ♀.

Congo Belge : Rutshuru (Kivu), Ngweshe (Kivu).

Hôte : *Epiplema dohertyi* WARR. (Uraniidae), sur Caféier Arabica.

Cocons : solitaires, blanc crémeux, fixés par quelques soies sur les feuilles, sur une plage dont le parenchyme a été rongé.

[XX. — *Apanteles maculipalpis* DE SAEGER.]

Apanteles maculipalpis DE SAEGER, Rev. Zool. Bot. Afr., XXXV, 1941, p. 259, ♀.

Congo Belge : Ngweshe (Kivu).

Hôte : ex nid d'Hyménoptères *Serapistha denticulata* Sss., s. sp. *per-nigra* CKLL. (Apidae), l'hôte est probablement un Microlépidoptère.

Cocons : inconnus.

[XXI. — *Apanteles brédoi* DE SAEGER.]

Apanteles brédoi DE SAEGER, Rev. Zool. Bot. Afr., XXXV, 1941, p. 243, ♂ ♀.

Congo Belge : Nzali (Ubangi), Bambesa (Uele).

Hôte : *Syllepta derogata* F. sur Cotonnier.

Cocons : inconnus.

[XXII. — **Apanteles eurytergis** DE SAEGER.]

Apanteles eurytergis DE SAEGER, Rev. Zool. Bot. Afr., XXXV, 1941, p. 235, ♀.

Congo Belge : Eala (Équateur).

Hôte et cocons : inconnus.

[XXIII. — **Apanteles carpatus** (SAY).]

Microgaster carpata SAY, Boston Journ. Nat. Hist., I, 1836, p. 263, ♀;

LE CONTE, Writ. of Th. Say, Entom., II, 1859, p. 714.

Apanteles carpatus CHITTENDEN, U. S. Div. Ent. Bull., 8, 1897, p. 42.

Apanteles ensiger SAY (= *Microgaster carpatus* SAY) DALLA TORRE, Catalogus Hymenopt., IV, 1898, p. 169.

Apanteles carpatus VIERECK, Bull. 22, Conn. State Geol. and Nat. Hist. Survey, 1916, p. 191.

Apanteles carpatus MUESEBECK, Proc. U. S. Nat. Mus., LVIII, 1920, p. 515.

Apanteles igae WATANABE, Insect. Mats., VII, 1932, p. 97.

Apanteles carpatus WATANABE, Insect. Mats., VIII, 1934, p. 142; FAHRINGER, Opusc. Bracon., Bd III, Palaearkt. reg., 1935, p. 158.

(États-Unis, Suisse, Japon, Suède, Belgique.)

Congo Belge : Eala (Équateur).

Hôte : *Tinea pelliionella* L. et *Tricophaga tapetiella* (L.) (Tineidae) aux États-Unis; le premier de ces hôtes au Japon; *Tineola biselliella* (HUM.) en Suisse, en Suède et en Belgique; *Tinea allutella* (REB.), Teigne des murs, au Congo Belge.

Cocons : blancs. Espèce solitaire.

[XXIV. — **Apanteles fuscicornis** (CAMERON).]

Urogaster fuscicornis CAMERON, Z. Naturw., LXXXI, 1910, p. 449, ♀.

Apanteles fuscicornis CAMERON, WILKINSON, Trans. Ent. Soc. Lond., LXXX, 1932, p. 313; DE SAEGER, Rev. Zool. Bot. Afr., XXXV, 1941, p. 234.

Cap; Congo Belge (dét. incert.).

Hôte : au Congo Belge, éclos de nids d'*Epanaphe carteri* WALS. (Notodontidae), contenant également *Tegulifera audeoudi* DE JOAN. (Pyralididae), nids récoltés sur *Bridelia micrantha*.

Cocons : inconnus.

[XXV. — **Apanteles coxalis** SZÉPLIGETI.]

Apanteles coxalis SZÉPLIGETI, Wiss. Ergebn. d. Z. Afrika Exp., III, 1911, p. 413, ♀; DE SAEGER, Rev. Zool. Bot. Afr., XXXV, 1941, p. 239, ♂ ♀ (dét. incert.).

Tanganyika Territory; Congo Belge : Arebi, Bondo Mabe.

Hôte et cocons : inconnus.

[XXVI. — *Apanteles sesamiae* CAMERON.]

Apanteles sesamiae CAMERON, Trans. S. Afr. Phil. Soc., XVI, 1905-1907, p. 335, ♀; WILKINSON, Trans. Ent. Soc. Lond., LXXX, 1932, p. 307, ♂ ♀; ULLYETT, Bull. Ent. Res., XXVI, 1935, p. 253; DE SAEGER, Rev. Zool. Bot. Afr., XXXIV, 1941, p. 343.

Cap; Transvaal; Uganda; Soudan; Nyasaland; Kenya; Congo Belge : Nyangwe (Lomami), Ndele (Ituri), Rutshuru (Kivu), Nioka (Uele).

Hôtes : *Busseola fusca* FULLER (= *Sesamia fusca* HMPS.) au Cap, au Kenya et en Uganda, où il a été obtenu de Sorgho, de la canne à sucre et de tiges de maïs; au Soudan, de *Sesamia cretica* LED. et au Nyasaland d'un Pyralide du genre *Chilo*; au Congo belge, un spécimen est signalé comme obtenu d'une chenille d'*Heliothis*, une série a été obtenue de *Busseola fusca* et une autre est renseignée « ex fruits d'*Abutilon* », en même temps que *Enarmonia* sp. et *Crociosema plebeiana* L. (Noctuidae), enfin une série est signalée « ex foreuse des tiges de Sorgho, *Busseola fusca* ».

Cocons : blancs, solitaires ou réunis lâchement. Durée de la nymphose : 5 à 7 jours (26° C., 80 % humidité, Afrique du Sud).

[XXVII. — *Apanteles congoensis* DE SAEGER.]

Apanteles congoensis DE SAEGER, Rev. Zool. Bot. Afr., XXXIV, 1941, p. 344, ♂ ♀.

Congo Belge : Eala (Équateur), Bolombo (Congo-Ubangi), Bambesa (Uelé), Dembia (Uelé); Cameroun : Atok (LEPESME, PAULHAN, VILLIERS, 1939).

Hôte : *Dichocrocis* (= *Conogethes*) *crocodora* MEYR. (Pyraustidae) sur Caféier, tant au Congo Belge qu'au Cameroun.

Cocons : blancs, agglomérés en une petite masse, sans disposition particulière, rappelant les cocons d'*Ap. sagax*, mais moins entourés de soies libres.

Épiparasites : Des spécimens de cette Pyrauste ont été obtenus sur Caféier robusta, en même temps que *Eurytoma syleptae* FERR. (Chalc. Eurytomidae) ainsi que des épi- et métaparasites Proctotrupidés et Chalcidiens.

Biologie : espèce grégaire. Les larves nymphosent à l'extérieur de l'hôte, celui-ci ayant atteint presque son complet développement. Nombre de parasites : 15 à 30 par chenille. Durée de la nymphose : 19 jours (Eala, août-septembre).

ESPECES ETHIOPIENNES
NE FIGURANT PAS DANS LES RECOLTES
FAITES AU CONGO BELGE ⁽¹⁾.

[1. — **Apanteles acraeae** WILKINSON.]

Apanteles acraeae WILKINSON, Trans. Ent. Soc. Lond., LXXX, 1932, p. 304.

Uganda, ♂ ♀.

Hôte : *Acraea acerata* HEW., sur *Ipomoea batatas* (patate douce).

Cocons : blancs ou jaune pâle, isolés, entourés d'une résille en dôme.

[2. — **Apanteles afer** WILKINSON.]

Apanteles afer WILKINSON, Trans. Ent. Soc. Lond., LXXX, 1932, p. 316.

Uganda, ♂ ♀.

Hôte : obtenu d'une chenille platycéphale, vivant sur les feuilles de *Pennisetum* (elephant-grass) et de Maïs.

Cocons : blancs et assez allongés.

[3. — **Apanteles africanus** CAMERON.]

Apanteles africanus CAMERON (nec VIERECK), Ann. Transv. Mus. II, 1911, p. 207, ♀; BRUES, Ann. S. Afr. Mus., XIX, 1924, p. 145.

Apanteles (Protapanteles) beneficus VIERECK, Proc. U. S. Nat. Mus., XL, 1911, p. 175.

Apanteles cameroni BRUES, Ann. S. Afr. Mus., XIX, 1924, p. 145.

Apanteles africanus CAM., WILKINSON, Trans. Ent. Soc. Lond., LXXX, 1932, p. 307; WILKINSON, Stylops, III, fasc. 7, 1934, p. 147.

Afrique du Sud; Est africain portugais; Nyasaland; Kenya; Uganda.

Hôte : *Orgyia* (= *Notolophus*) *vetusta* HMPS (Lymantriidae); *Porthesia dewitzi* GRÜNGB., Lymantriide commun sur le Coton en Uganda et *Epanaphe carteri* WALS. (Notodontidae); *Euproctis isis* BAKER (Lymantriidae) en Afrique du Sud et au Nyasaland.

(1) Les espèces marquées d'un astérisque sont douteuses, par suite de description insuffisante.

[4. — **Apanteles atellae** WILKINSON.]

Apanteles atellae WILKINSON, Trans. Ent. Soc. Lond., LXXX, 1932, p. 321,
♂ ♀.

Uganda.

Hôte : *Atella phalantha* DRURY (Nymphalidae).

Cocons : réunis sans disposition déterminée, blancs, recouverts d'une taie de soies jaune pâle.

[5. — **Apanteles belliger** WILKINSON.]

Apanteles belliger WILKINSON, Bull. Ent. Res. XX, 1929, p. 107, ♂ ♀.

Ile Maurice.

Hôte : *Cirphis unipuncta* HAW. (Noctuidae).

Cocons : probablement solitaires, jaune paille.

[6. — **Apanteles caesar** WILKINSON.]

Apanteles caesar WILKINSON, Proc. R. Ent. Soc. Lond., VII, 1931, p. 131,
♂ ♀.

Sud-Ouest africain; Cap.

Hôte et *cocons* : inconnus.

[7. — **Apanteles carinatus** SZÉPLIGETI *.]

Apanteles carinatus SZÉPLIGETI, Ann. Mus. Nat. Hung. XI, 1913, p. 602),
(sexe ?); WILKINSON, Trans. Ent. Soc. Lond., LXXX, 1932, p. 323.

Tanganyika Territory.

Hôte et *cocons* : inconnus.

[8. — **Apanteles chrysiippi** (VIERECK).]

Apanteles (*Protapanteles*) *chrysiippi* VIERECK, Proc. U. S. Nat. Mus., XL,
1911, p. 175; WILKINSON, Trans. Ent. Soc. Lond., LXXX, 1932, p. 309,
♂ ♀.

Est africain portugais; Transvaal.

Hôte : *Danais chrysippus* L. (Danaidae).

Cocons : inconnus.

[9. — **Apanteles discretus** SZÉPLIGETI *.]

Apanteles discretus SZÉPLIGETI, Voy. ALLUAUD et JEANNEL Afr. orient. angl. 1911-1912, Hymén. IV, 1914, p. 185, ♀.

Kenya.

Hôte et cocons : inconnus.

[10. — **Apanteles endymion** WILKINSON.]

Apanteles endymion WILKINSON, Trans. Ent. Soc. Lond., LXXX, 1932, p. 332, ♂ ♀.

Uganda.

Hôte : inconnu.

Cocons : un seul cocon conservé, papyracé et fauve.

[11. — **Apanteles eros** WILKINSON.]

Apanteles eros WILKINSON, Trans. Ent. Soc. Lond., LXXX, 1932, p. 312, ♂ ♀.

Afrique du Sud.

Hôte et cocons : inconnus.

[12. — **Apanteles flagellator** WILKINSON.]

Apanteles flagellator WILKINSON, Bull. Ent. Res., XXI, 1930, p. 153, ♂ ♀.

Uganda.

Hôte et cocons : inconnus.

[13. — **Apanteles flavipes** (CAMERON).]

Cotesia flavipes CAM., Mém. Proc. Manch. Ph. Soc., IV, 1891, p. 185.

Apanteles nonagriæ OLLIFF., Agr. Gaz. N. S. Wales, IV, 1893, p. 381;

VIERECK, Proc. U. S. Nat. Mus., XLIV, 1913, p. 645.

Apanteles (Stenopleura) chilocida VIERECK, Proc. U. S. Nat. Mus., XLIII, 1912, p. 582; WILKINSON, Bull. Ent. Res., XIX, 1928, p. 94.

Apanteles (Stenopleura) simplicis VIERECK, Proc. U. S. Nat. Mus., XLIV, 1913, p. 645; NAWA, Insect. World, XIX, 1915, p. 455.

Apanteles flavatus ISHIDA, Kansho Meichu Chosa Hokoku, I, 1915, p. 97.

Apanteles flavipes WILKINSON, Bull. Ent. Res., XIX, 1928, p. 93; WATANABE, Trans. Sapporo Nat. Hist. Soc., XII, 1932, p. 68; WATANABE, Insect. Matsum., VII, 1932, p. 84; FAHRINGER, Opusc. Bracon., Bd IV, Pal. reg., Bd III, 1935, p. 101.

(Indes, Chine, Japon); île Maurice.

Hôtes : (*Chilo simplex* BUTL. [Crambidae], *Chilo infuscatellus* SNELL., *Schoenobius incertellus* WLK. [Pyralididae], *Diatraea venosata* WLK. [Pyralididae], *Sesamia inferens* WLK. [Noctuidae]). A l'île Maurice, d'EMMEREZ DE CHARMOY, en 1916, et MOUTIA, en 1935, signalent *Ap. flavipes* parasitant *Diatraea venosata* WLK., sur Canne à sucre. Ce dernier auteur renseigne 65 à 75 cocons par chenille parasitée.

[14. — **Apanteles galleriae** WILKINSON.]

Apanteles galleriae WILKINSON, Stylops, I, fasc. 6, 1932, p. 139, ♂ ♀ ;
WILKINSON, Stylops, III, fasc. 7, 1934, p. 154.
France; île Maurice.

Hôte : *Galleria mellonella* L. (Tineidae), dans les ruches d'abeilles en France et à l'île Maurice.

Cocons : inconnus.

[15. — **Apanteles glyphodes** WILKINSON.]

Apanteles glyphodes WILKINSON, Trans. Ent. Soc. Lond., LXXX, 1932,
p. 306, ♂ ♀.
Uganda.

Hôte : *Glyphodes sericea* DRURY (Pyralididae). Une série d'exemplaires originaires de Kampala (1929) est renseignée comme élevée d'une Tordeuse sur « Munywamalzi » (!).

Cocons : blancs, réunis sans disposition déterminée et peu densément.

[16. — **Apanteles hylas** WILKINSON.]

Apanteles hylas WILKINSON, Trans. Ent. Soc. Lond, LXXX, 1932, p. 311, ♀.
Afrique du Sud.

Hôte et cocons : inconnus.

[17. — **Apanteles incompletus** SZÉPLIGETI *.]

Apanteles incompletus SZÉPLIGETI, Voy. ALLUAUD et JEANNEL, Afr. orient.
angl. 1911-1912, Hymén. IV, 1914, p. 185, ♀.
Tanganyika Territory; Kenya.

Hôte et cocons : inconnus. Au Kenya, les spécimens ont été capturés dans une forêt de Bambous.

[18. — **Apanteles lacteipennis** SZÉPLIGETI *.]

Apanteles lacteipennis SZÉPLIGETI, Ann. Mus. Nat. Hung., XI, 1913, p. 602,
♀.
Tanganyika Territory.

Hôte et cocons : inconnus.

[19. — **Apanteles latiannulatus** (CAMERON) *.]

Xestapanteles latiannulatus CAMERON, Z. Naturw., LXXXI, 1910, p. 448, ♂ ♀. *Apanteles latiannulatus* (CAMERON), MUESEBECK, Proc. U. S. Nat. Mus., LXIX, 1931, art. 16, p. 2; WILKINSON, Trans. Ent. Soc. Lond., LXXX, 1932, p. 324.

Mozambique.

Hôte et cocons : inconnus.

[20. — **Apanteles laxatus** WILKINSON.]

Apanteles laxatus WILKINSON, Bull. Ent. Res., XXI, 1930, p. 485, ♂ ♀; WILKINSON, Stylops, III, fasc. 7, 1934, p. 145.

Uganda.

Hôte : *Porthesia producta* WLK. (Lymantriidae).

Cocons : inconnus.

[21. — **Apanteles liopleuris** SZÉPLIGETI *.]

Apanteles liopleuris SZÉPLIGETI, Voy. ALLUAUD et JEANNEL Afr. orient. angl. 1911-1912, Hymén., IV, 1914, p. 185, ♂.

Tanganyika Territory.

Hôte et cocons : inconnus.

[22. — **Apanteles maculitarsis** CAMERON.]

Apanteles maculitarsis CAMERON, Rec. Albany Mus., I, 1904, p. 173, ♀; CAMERON, Ann. S. Afr. Mus., V, 1907, p. 204; BRUES, Ann. S. Afr. Mus., XIX, 1924, p. 145; BRUES, Proc. Amer. Acad. Arts et Sci., LXI, 1926, p. 418; WILKINSON, Trans. Ent. Soc. Lond., LXXX, 1932, p. 305.

Apanteles capensis CAMERON, Ann. S. Afr. Mus., V, 1907, p. 503, ♂ ♀.

Apanteles testaceolineatus CAMERON, Ann. Transv. Mus., II, 1911, p. 208, ♀.

Apanteles testaceioventris CAMERON, Ann. Transv. Mus., II, 1911, p. 208, ♂.

Apanteles (Protapanteles) africanus VIERECK (nec CAMERON), Proc. U. S. Nat. Mus., XL, 1911, p. 174.

Cap; Transvaal.

Hôtes : *Nudaurelia* (= *Gonimbrasia*) *tyrrea* GRAM. (Saturniidae); *Osteodes turbulentata* GUÉN. (Geometridae) sur *Acacia karroo* (= *horrida*); *Nudaurelia* (= *Gonimbrasia*) *cytherea* F. (Saturniidae); *Chloridea* (= *Heliothis*) *armigera* HBN. (Noctuidae) sur différentes plantes cultivées et surtout les Pois.

Cocons : inconnus.

[23. — **Apanteles menuthias** WILKINSON.]

Apanteles menuthias WILKINSON, Stylops, IV, fasc. 12, 1935, p. 266, ♀.

Madagascar.

Hôte et cocons : inconnus.

[24. — **Apanteles mlanje** WILKINSON.]

Apanteles mlanje WILKINSON, Bull. Ent. Res., XX, 1929, p. 449, ♂ ♀.
Nyasaland.

Hôte et cocons : inconnus.

[**Apanteles mlanje nigricoxis** WILKINSON.]

Apanteles mlanje nigricoxis WILKINSON, s. sp., Trans. Ent. Soc. Lond., LXXX, 1932, p. 308, ♂ ♀.

Uganda.

Hôte et cocons : inconnus.

[25. — **Apanteles orientalis** SZÉPLIGETI *.]

Apanteles orientalis SZÉPLIGETI, Ann. Mus. N. Hung., XI, 1913, p. 602, ♂.

Localité inconnue.

Hôte et cocons : inconnus.

[26. — **Apanteles paludicolae** CAMERON.]

Apanteles paludicolae CAMERON, Spol. Zeylan., VI, 1909, p. 41, ♀; WILKINSON, Bull. Ent. Res., XIX, 1928, p. 98; Id., Bull. Ent. Res., XX, 1929, p. 109; Id., Stylops, III, f. 7, 1934, p. 148.

Apanteles platyptiliae CAMERON, Spol. Zeylan., VI, 1909, p. 41, ♂ ♀; WILKINSON, Bull. Ent. Res., XIX, 1928, p. 98.

[Ceylan; hôtes : *Trichoptilus paludum* ZELL. [= *Trichoptilus paludicola* FLETCH.] (Pterophoridae) et *Platyptilia molopias* MEYR. (Pterophoridae)].

Soudan anglo-égyptien; Uganda.

Hôtes : au Soudan, *Sphenarches caffer* ZELL. (Pterophoridae); en Uganda, *Marasmarcha crepuscularis* MEYR. (Pterophoridae), dans des gousses de *Cajanus indicus*.

Cocons : blancs.

[27. — **Apanteles prosper** WILKINSON.]

Apanteles prosper WILKINSON, Trans. Ent. Soc. Lond., LXXX, 1932, p. 319, ♂ ♀.

Uganda.

Hôte : inconnu.

Cocons : blancs, réunis en une masse avec une profusion de soies blanches et sans disposition particulière.

[28. — **Apanteles risbeci** DE SAEGER.]

Apanteles risbeci DE SAEGER, Rev. Zool. Bot. Afr., XXXVI, 1942, p. 61, ♀.

Sénégal.

Hôte : *Prodenia litura* F. (Noctuidae).

Cocons : inconnus.

[29. — **Apanteles ruficrus** (HALIDAY).]

Microgaster ruficrus HALIDAY, Ent. Mag., II, 1835, p. 253, ♂ ♀.

Apanteles ruficrus HAL., REINHARD, Deutsch. Ent. Z., XXIV, 1880, p. 368; MARSHALL, Trans. Ent. Soc. Lond., 1885, p. 166; MARSHALL, in ANDRÉ, Spec. Hym. Eur. Alg., IV, 1889, p. 410; Id., V^{bis}, p. 177; LYLE, Entomologist, XLIX, 1917, p. 161; GAHAN, Bull. Ent. Res., XIX, 1928, p. 256; WILKINSON, Bull. Ent. Res., XX, 1929, p. 108, Id., Trans. Ent. Soc. Lond., LXXX, 1932, p. 309; PAOLI, Prodr. Ent. agrar. Somalia ital., 1931-1933, p. 345.

Apanteles antipoda ASHMEAD, Proc. Linn. Soc. N. S. Wales, XXV, 1900, p. 355; WILKINSON, Bull. Ent. Res., XIX, 1928, p. 95; Id., XX, 1929, p. 108

Apanteles manilae ASHMEAD, J. N. Y. Ent. Soc., XII, 1904, p. 19 (nec *Glypta panteles manilae* ASHM., 1905).

Apanteles sydneyensis CAMERON, Proc. Linn. Soc. N. S. Wales, XXXVI, 1911, p. 342.

Apanteles (Protapanteles) narangae VIERECK, Proc. U. S. Nat. Mus., XLIV, n° 1974, 1913, p. 342.

Espèce paraissant cosmopolite. Soudan, Uganda, Somalie italienne.

Hôte : au Soudan, *Cirphis loreyi* DUP. et probablement *Sesamia cretica* LEB. (Noctuidae), ce dernier hôte infestant *Pennisetum typhoideum* à Khar toum; en Somalie, *Cirphis loreyi* DUP. et *Sesamia calamistis* HMPS. (Noctuidae), ainsi que *Chloridea (=Heliopsis) armigera* HUBN. (Noctuidae), sur maïs.

Cocons : blanchâtres, solitaires ou réunis en une masse pouvant atteindre une soixantaine de cocons, sans disposition particulière.

Épiparasite : *Eurytoma* sp. signalé par PAOLI en Somalie, de *Cirphis loreyi* DUP., sur maïs.

[30. — **Apanteles rugosus** SZÉPLIGETI *.]

Apanteles rugosus SZÉPLIGETI, Voy. ALLUAUD et JEANNEL, Afr. orient. angl., 1911-1912, Hymén., IV, 1914, p. 184, ♂.

Kenya.

Hôte et cocons : inconnus.

[31. — *Apanteles seyrigi* WILKINSON.]

Apanteles seyrigi WILKINSON, Proc. R. Ent. Soc. Lond., V, f. 4, 1936, p. 81,
♂ ♀.
Madagascar.

Hôte : *Epitarsipus rufithorax* LE CERF (Aegeriadae).

Cocons : blancs, allongés, de 5 à 11,5 mm., particulièrement tronqués à l'extrémité de sortie, l'opercule presque plat, tandis que l'extrémité opposée est fort épointée.

[32. — *Apanteles transvaalensis* CAMERON.]

Apanteles transvaalensis CAMERON, Ann. Transv. Mus., II, 1911, p. 208, ♀;
WILKINSON, Trans. Ent. Soc. Lond., LXXX, 1932, p. 320.
Transvaal.

Hôte et *cocons* : inconnus.

[33. — *Apanteles trochanteratus* SZÉPLIGETI.]

Apanteles trochanteratus SZÉPLIGETI, Wiss. Ergebn. d. Z. Afrika Exp., III,
1911, p. 412, ♀; WILKINSON, Trans. Ent. Soc. Lond., LXXX, 1932, p. 310.
Tanganyika Territory.

Hôte et *cocons* : inconnus.

[34. — *Apanteles xanthostigma* (HALIDAY).]

Microgaster xanthostigma HALIDAY, Entom. Mag., II, 1834, p. 244, ♂.
Microgaster ochrostigma WESMAEL, Nouv. Mém. Ac. Sci. Brux., X, 1837,
p. 55, ♀ ♀; RATZEBURG, Ichneum. Forstinsect., III, 1852, p. 53.
Apanteles xanthostigma REINHARD, Deutsche Entom. Zeitschr., XXIV, 1880,
p. 365; *Id.*, *ibid.*, XXV, 1881, p. 40.
Apanteles xanthostigma MARSHALL, Trans. Ent. Soc. Lond., IV, 1885, p. 195;
Id., Spec. Hymén. Eur. Alg., IV, 1889, p. 449.
Apanteles ochrostigma THOMSON, Opusc. Entom., XX, 1895, p. 2263.
Apanteles xanthocarpa SZÉPLIGETI, in Zichy, 3 Asiat. Reise, II, 1901, p. 152.
Apanteles xanthostigma SILVESTRI, Boll. Lab. Zool. Portici, II, 1908, p. 149.
Apanteles xanthostigma NIEZABITOWSKI, Fauna brac. Polski, Krakau, 1909,
p. 32; FAHRINGER, Opusc. Bracon., Bd III, Pal. reg., 1935, p. 210.
Apanteles xanthostigma HANCOCK, Ann. Rep. Dept. Agric. Uganda, 1926,
p. 29; WILKINSON, Bull. Ent. Res., XXII, 1931, p. 79.
(Europe, Sibérie); Uganda.

Hôte : *Syllepta derogata* F. (Pyraustidae).

Cocons : en Uganda, inconnus; en Europe, solitaires, blanc jaunâtre.

LISTE DES HÔTES ET DE LEURS PARASITES.

<i>Achaea catellâ</i> GUÉNÉE	<i>Apanteles aethiopicus</i> WILKINSON.
<i>Acraea acerata</i> HEWITSON	— <i>acraeae</i> WILKINSON.
— <i>terpsychore</i> LINNÉ	— <i>lefèvrei</i> DE SAEGER.
<i>Acrocercops bifasciata</i> WALSINGHAM	— <i>syleptae</i> FERRIÈRE.
<i>Amphicallia pactolicus</i> BUTLER	— <i>gratiosus</i> WILKINSON.
<i>Antigastra catalaunalis</i> DUPONCHEL	— <i>aethiopicus</i> WILKINSON.
<i>Anthozela anonidii</i> GHESQUIÈRE	— <i>anthozelae</i> DE SAEGER.
<i>Argyroploce batrachopa</i> MEYRICK ?	— <i>coffea</i> WILKINSON.
<i>Atella phalantha</i> DRURY	— <i>atellae</i> WILKINSON.
<i>Bombycopsis bipars</i> WALKER	— <i>seydeli</i> DE SAEGER.
<i>Busseola fusca</i> FULLER	— <i>sesamiae</i> CAMERON.
<i>Catlebeda</i> sp.	— <i>aethiopicus</i> WILKINSON.
<i>Cacoecia</i> (v. <i>Tortrix</i>).	
<i>Charops</i> sp. (Ichneum.) ?	— <i>gowdeyi</i> GAHAN.
<i>Chilo</i> sp.	— <i>sesamiae</i> CAMERON.
<i>Chloridea armigera</i> HÜBNER	— <i>maculitarsis</i> CAMERON.
— — HÜBNER	— <i>ruficrus</i> (HALIDAY).
— sp.	— <i>sesamiae</i> CAMERON.
<i>Cirphis loreyi</i> DUPONCHEL	— <i>ruficrus</i> (HALIDAY).
— <i>unipuncta</i> HAWORTH	— <i>belliger</i> WILKINSON.
<i>Crociosema plebeiana</i> LINNÉ	— <i>sesamiae</i> CAMERON.
<i>Crystallozyga anthotropha</i> GHESQUIÈRE	— <i>uroxys</i> DE SAEGER.
<i>Danaïd chrysippus</i> LINNÉ	— <i>chrysiippi</i> WILKINSON.
<i>Dasychira goodi</i> HOLLAND	— <i>gratiosus</i> WILKINSON.
<i>Deleimeria apicalis</i> WALKER	<i>Microgaster fasciipennis</i> GAHAN.
<i>Diaphania</i> (v. <i>Glyphodes</i>).	
<i>Diatraea venosata</i> WALKER	<i>Apanteles flavipes</i> (CAMERON).
<i>Dichocrocis crocodora</i> MEYRICK	<i>Microgaster vacillatrix</i> WILKINSON.
— — MEYRICK	<i>Apanteles congoensis</i> DE SAEGER.
— <i>surusalis</i> WALKER ?	<i>Microgaster earina</i> WILKINSON.
<i>Diparopsis castanea</i> HAMPSON	<i>Apanteles earterus</i> WILKINSON.
<i>Earias</i> sp.	<i>Microgaster fasciipennis</i> GAHAN.
— <i>biplaga</i> WALKER	— <i>earina</i> WILKINSON.
— — WALKER	<i>Apanteles diparopsidis</i> LYLE.
— <i>insulana</i> BOISDUVAL	— <i>earterus</i> WILKINSON.

<i>Earias insulana</i> BOISDUVAL	<i>Apanteles diparopsidis</i> LYLE.
<i>Elaeodes prasinodes</i> PROUT	— <i>aethiopicus</i> WILKINSON.
<i>Enarmonia</i> sp.	— <i>sesamiae</i> CAMERON.
— (v. <i>Argyroploce</i>).	
<i>Epanaphe carteri</i> WALSINGHAM	— <i>fuscicornis</i> (CAMERON) ?
— — WALSINGHAM	— <i>africanus</i> CAMERON.
<i>Epigynopteryx ansorgei</i> WARREN	<i>Microgaster leppeleyi</i> WILKINSON.
<i>Epigynopteryx tabitha</i> WARREN ?	— <i>leppeleyi</i> WILKINSON.
<i>Epiptema dohertyi</i> WARREN	<i>Apanteles epiplemicidus</i> DE SAEGER.
<i>Epitarsipus rufithorax</i> LE CERF	— <i>seyrigi</i> WILKINSON.
<i>Eublemma</i> sp.	— <i>ghesquièrei</i> DE SAEGER.
— <i>costimaculata</i> SAALMÜLLER	— — DE SAEGER.
<i>Euproctis isis</i> BAKER	— <i>africanus</i> CAMERON.
<i>Filodes productalis</i> HAMPSON	<i>Microgaster vacillatrix</i> WILKINSON.
<i>Galleria mellonella</i> LINNÉ	<i>Apanteles galleriae</i> WILKINSON.
<i>Gonimbrasia</i> (v. <i>Nudaurelia</i>).	
<i>Glyphodes sericea</i> DRURY	— <i>glyphodes</i> WILKINSON.
<i>Hamanumida daedalus</i> FABRICIUS	— <i>aethiopicus</i> WILKINSON.
<i>Hapalia ablactalis</i> WALKER	— <i>hapaliae</i> DE SAEGER.
<i>Heliothis</i> (v. <i>Chloridea</i>).	
<i>Holocera angulata</i> AURIVILLIUS	<i>Apanteles aethiopicus</i> WILKINSON.
<i>Ischnurges</i> sp.	— <i>coffea</i> WILKINSON.
— <i>octoguttalis</i> FELDER	— — WILKINSON.
<i>Lamprosema indicata</i> FABRICIUS	— <i>pentagonius</i> DE SAEGER.
<i>Leucoptera coffeina</i> WASHBOURN	<i>Mirax leucopterae</i> WILKINSON.
— — WASHBOURN	<i>Apanteles bordagei</i> GIARD.
<i>Marasmarcha crepuscularis</i> MEYRICK ...	— <i>paludicola</i> CAMERON.
<i>Marasmia grisealis</i> GHESQUIÈRE	<i>Microgaster austrina</i> WILKINSON.
<i>Mycalesis medontias</i> HEWITSON	<i>Apanteles pallidocinctus</i> GAHAN.
<i>Mylothris chloris</i> FABRICIUS	— <i>pistrinariae</i> WILKINSON.
<i>Notolophus</i> (v. <i>Orgyia</i>).	
<i>Nudaurelia cytherea</i> FABRICIUS	— <i>maculitarsis</i> CAMERON.
— <i>rubra</i> BOUVIER	— <i>seydeli</i> DE SAEGER.
— <i>tyrrea</i> CRAMER	— <i>maculitarsis</i> CAMERON.
<i>Nygmea</i> (v. <i>Euproctis</i>).	
<i>Orgyia vetusta</i> HAMPSON	— <i>africanus</i> CAMERON.
<i>Osteodes turbulentata</i> GUÉNÉE	— <i>maculitarsis</i> CAMERON.
<i>Papilio angolanus</i> GOEZE	— <i>pallidocinctus</i> GAHAN.
— <i>demodocus</i> LINNÉ	— — GAHAN.
<i>Phaeosina insigniata</i> GAEDE	<i>Microgaster vacillatrix</i> WILKINSON.
<i>Platyedra cunctatrix</i> MEYRICK ?	<i>Microgaster earina</i> WILKINSON.
— <i>erebodoxa</i> MEYRICK	<i>Apanteles disparopsidis</i> LYLE.
— <i>gossypiella</i> SAUNDERS	— — LYLE.
— — SAUNDERS	— <i>earterus</i> WILKINSON.

- Porthesia dewitzi* GRÜNBERG
 — *producta* WALKER
Prodenia litura FABRICIUS
 Pyralidae Gn. sp.
Pyroderces cecidicida GHESQUIÈRE

Saliunca homochroa HOLLAND
Sesamia calamistis HAMPSON
 — *cretica* LEDERER
 — — LEDERER
 — (v. *Busseola*).
Sphenarches caffer ZELLER
Spilosoma lutescens f. *nyangweensis*
 STRAND.
 — *maculosa* STOLL
 — *mundata* WALKER
 — sp.
 — sp.
Syllepta derogata FABRICIUS
 — — FABRICIUS
 — — FABRICIUS
 — — FABRICIUS
 — — FABRICIUS
 — *sabinusalis* WALKER

Taragama polydora obliquatum STRAND.
Tegulifera audeoudi DE JOANNIS
Thliptoceras (v. *Ischnurges*).
Tinea allutella REBEL
Tortrix occidentalis (WALSINGHAM)

Urota sinope WESTWOOD
Utetheisa pulchella LINNÉ
- Apanteles africanus* CAMERON.
 — *laxatus* WILKINSON.
 — *risbeci* DE SAEGER.
 — *ugandaensis* GAHAN.
 — *pyrodercetus* DE SAEGER.

 — *aethiopicus* WILKINSON.
 — *ruficrus* (HALIDAY).
 — — (HALIDAY).
 — *sesamiae* CAMERON.

 — *paludicolae* CAMERON.
 — *eucosmae* WILKINSON.

 — *spilosomae* DE SAEGER.
 — *eucosmae* WILKINSON.
 — — WILKINSON.
 — *gratiosus* WILKINSON.
 — *bredoi* DE SAEGER.
 — *eucosmae* WILKINSON.
 — *sagax* WILKINSON.
 — *syleptae* FERRIÈRE.
 — *xanthostigmus* (HALIDAY).
Microgaster sylleptae DE SAEGER.
- Apanteles gratiosus* WILKINSON.
 — *fuscicornis* CAMERON ?

Apanteles carpatus (SAY).
 — *ugandaensis* GAHAN.

 — *seydeli* DE SAEGER.
 — *aethiopicus* WILKINSON.

LISTES DES PARASITES (Epiparasites).

ICHNEUMONIDES.

- Sénégal :
Mesochorus nigellus WILKINSON (Mesochor.). *Microgaster austrina* WILKINSON.
 Congo Belge :
Mesochorus ornatus WILKINSON (Mesochor.). *Apanteles lefevrei* DE SAEGER.
 Soudan :
Stictopisthus africanus FERRIÈRE (Mesochor.). *Apanteles syleptae* FERRIÈRE.

CHALCIDIDES.

- Somalie :
Catolaccus sp. (Eupelm.). *Apanteles ruficrus* (HALIDAY).
 Natal :
Elasmus masii natalensis FERRIÈRE (Elasm.). *Apanteles diparopsidis* LYLE.
 Soudan :
Eupelmus soudanensis FERRIÈRE (Eupelm.). *Apanteles syleptae* FERRIÈRE.
 Congo Belge :
Eurytoma syleptae FERRIÈRE (Eurytom.). *Apanteles congoensis* DE SAEGER.
 Somalie :
Eurytoma sp. (Eurytom.). *Apanteles ruficrus* (HALIDAY).
 Nigérie :
Pleurotropis amaurocoela WATERSTON (Euloph.). *Apanteles* sp.
 Nyasaland et Congo Belge :
Synthomosphyrum phaeosoma WATERSTON (Euloph.). *Apanteles sagax* WILKINSON.

PROCTOTRUPIDES.

- Congo Belge :
Calliceras sp. (Callicer.). *Apanteles sagax* WILKINSON.
 Proctotrupides Gn. sp. *Apanteles congoensis* DE SAEGER.
 Somalie :
 Proctotrupides Gn. sp. *Apanteles aethiopicus* WILKINSON.

INDEX BIBLIOGRAPHIQUE.

- ASHMEAD, W. H., 1898 (1897), Description of New Parasitic Hymenoptera (*Proc. Entom. Soc. Washington*, IV, pp. 159-167).
- 1900, Classification of the Ichneumon-Flies of the Superfamily *Ichneumonidea* (*Proc. U. S. Nat. Mus.*, XXIII, p. 132).
- BRUES, CH. T., 1924, Some South African Parasitic Hymenoptera of the Families *Evaeniidae*, *Braconidae*, *Alysiidae* and *Plumariidae*, in the South African Museum with a Catalogue of the known species (*Ann. South Afr. Mus.*, XIX, p. 145).
- 1962, Studies on the Ethiopian *Braconidae*, with a Catalogue of the African Species (*Proceed. of the American Academy of Arts and Sciences*, LXI, [8], pp. 417-420).
- CAMERON, P., 1904, Description of New Genera and Species of Hymenoptera from Dunbrody, Cape Colony (*Records of the Albany Museum*, Grahamstown, I, pp. 173-174).
- 1905, On the Hymenopterous Parasites of the Mealie stalk-borer (*Sesamia fusca* HAMPSON) (*Trans. South African Philosophical Soc.*, XVI, p. 335).
- 1907, Description of Species of the South African Museum, Cape Town (*Ann. South Afr. Mus.*, V, pp. 203-204).
- 1909, On some undescribed *Ichneumonidae* and *Braconidae*, reared by Mr T. BAINBRIDGE FLETCHER, R. H., from Ceylonese Lepidoptera (*Pterophoridae*) (*Spolia Zeylanica*, VI, pp. 41-43).
- 1910, On some African Species of the Subfamilies *Exothescinae*, *Aphrastobraccininae*, *Cheloninae*, *Doryctinae*, *Cardiochilinae* and *Microgasterinae* in the Royal Berlin Zoological Museum (*Zeitschrift für Naturwissenschaften*, LXXI, pp. 447-450).
- 1911, On the Parasitic Hymenoptera collected by Mr A. J. T. JANSE, Transvaal (*Ann. Transv. Mus.*, II, pp. 207-208).
- DE SAEGER, H., 1937, L'*Apanteles sagax* WILKN., parasite de la Pyrale du Cotonnier (*Bulletin agricole du Congo Belge*, XXVIII, [1], pp. 145-150).
- 1941 a, Le genre *Apanteles* au Congo Belge, Contribution à l'étude du genre (*Revue de Zoologie et de Botanique Africaines*, XXXIV, [3-4], pp. 322-347; XXXV, [3], pp. 218-268).
- 1942 a, Le genre *Microgaster* au Congo Belge (*Revue de Zoologie et de Botanique Africaines*, XXXV, [3], pp. 333-341).
- 1942 b, Un nouvel *Apanteles* du Sénégal (*Revue de Zoologie et de Botanique Africaines*, XXXVI, [1], pp. 61-63).
- 1942 c, *Paradelius*, genre nouveau de *Microgasterinae* (*Revue de Zoologie et de Botanique Africaines*, XXXVI, [3], pp. 313-316).
- 1942 d, Les *Apanteles*, Hyménoptères Braconides, parasites de Lépidoptères (*Bulletin agricole du Congo Belge*, XXXIII, [2-3], pp. 234-288).
- FAHRINGER, J., 1937, Opuscula braconologica, Vienne, Palaearkt. reg., Bd III, 520 p.
- FERRIÈRE, C., in P. VAYSSIÈRE et J. MIMEUR, Les Insectes du Cotonnier en A. O. F. (*Bibl. Institut Nat. d'Agronomie Coloniale*, pp. 66, 71).
- 1931, Notes on African *Chalcidoidea* (*Bull. Entom. Res.*, XXII, p. 132).
- FOERSTER, A., 1862, Synopsis der Familien und Gattungen der Braconen (*Verh. Naturh. Verein. preuss. Rheinlande*, XIX, p. 245).

- GAHAN, A. B., 1918 (1919), Four new African Parasitic *Hymenoptera* belonging to the Subfamily *Microgasterinae* (*Proc. U. S. Nat. Mus.*, LIV, pp. 587-590).
- 1928, Some reared Parasitic *Hymenoptera* from the Sudan (*Bull. Entom. Res.*, XIX, p. 256).
- GHESQUIÈRE, J., 1940, Catalogues raisonnés de la Faune entomologique du Congo Belge, Lépidoptères, Microlépidoptères (*Ann. Musée du Congo Belge*, III (II), VII, fasc. 1, pp. 72-73, 76-77).
- 1942, *ibidem*, III (II), VII, fasc. 2, pp. 133, 140, 141, 148, 151, 187.
- HALIDAY, A. H., 1833, An Essay on the Classification of the Parasitic *Hymenoptera* of Britain, which correspond with the *Ichneumon minuti* of LINNAEUS (*Entom. Magazine*, I, pp. 262-263).
- 1834, *ibidem*, II, p. 234.
- LYLE, G. T., 1927, Two new species of *Apanteles* (*Bull. Entom. Res.*, XVII, pp. 415-416).
- MARSHALL, T. A., 1885, Monograph of British *Braconidae*, part I (*Trans. Roy. Entom. Soc.*, London, pp. 151-261).
- 1888, in ANDRÉ, Species des Hyménoptères d'Europe et d'Algérie (*Les Braconides*, IV, pp. 387-555).
- 1897, in *idem* (*Ibidem*, V^{bis}, pp. 174-188).
- MUESEBECK, C. F. W., 1921, A revision of the North American Species of *Ichneumon*-Flies, belonging to the genus *Apanteles* (*Proc. U. S. Nat. Mus.*, LVIII, pp. 485-576).
- 1922, A revision of the North American *Ichneumon*-Flies, belonging to the Subfamilies *Neoneurinae* and *Microgasterinae* (*Proc. U. S. Nat. Mus.*, n° 2436, LXI, art. 15, pp. 6-76).
- 1931, Description of a new genus and eight new species of *Ichneumon*-Flies, with taxonomic notes (*Proc. U. S. Nat. Mus.*, n° 2882, LXXIX, art. 16, pp. 1-10).
- 1935, On two little known genera of *Braconidae* (*Proc. Entom. Soc.*, Washington, XXXVII, p. 173).
- PAOLI, G., 1931-1933, Prodomo di Entomologia agraria della Somalia italiana, Florence, pp. 345-348.
- RATZEBURG, J. T. C., 1852, Die *Ichneumon*en der Forstinsecten in forstlicher und entomologischer Beziehung, Berlin, III, p. 65.
- REINHARD, H., 1880, Beitrage zur Kenntniss einiger *Braconiden*-Gattungen. Fünfter Stück. XVI: Zur Gattung *Microgaster* LATR. (*Deutsche Entom. Zeitschrift*, XXIV, pp. 353, 368).
- SAY, TH., 1836, in LECOMTE, Writ. of Th. Say (*Entomologist*, II, 1859, p. 714).
- SHESTAKOW, A., 1932, Zur Kenntniss der asiatischen *Braconiden* (*Zoological Anzeiger*, XCIX, pp. 259-260).
- SNOODGRASS, R. E., 1911, The thorax of the *Hymenoptera* (*Proc. U. S. Nat. Mus.*, XXXIX, pp. 37-91).
- 1935, Principles of Insect Morphology, New York.
- SZEPLIGETI, GY., 1902, Tropische Cenocoelioniden und *Braconiden* aus der Sammlung des ungarischen National Museum (*Természettudományi Füzetek*, XXV, p. 77).
- 1904, in WYTSMAN, Genera Insectorum, fasc. 22: *Braconidae*, pp. 102-115.
- 1911, *Braconidae* der I. Zentral-Afrika Expedition (*Wissenschaft Ergebniss der Zentral-Afrika Expedition*, III, pp. 412-413).
- 1913, Neue Afrikanische *Braconiden* aus der Sammlung des ungarischen National Museum (*Ann. Mus. Nat. Hungarici*, XI, p. 602).
- 1914, in Voyage Alluaud et Jeannel en Afrique orientale, 1911-1912, Hyménopt. *Braconidae*, IV, pp. 184-185.
- THOMSON, C. G., 1895, Opuscula Entomologica (*Bidrag till Braconidernas kannedom*, Lund, XX, p. 2246).
- ULLYETT, G. C., 1935, Notes on *Apanteles sesamiae* CAMERON, a parasite of the maize Stalk-borer (*Busseola fusca* FULLER), in South Africa (*Bull. Entom. Res.*, XXVI, pp. 253-262).

- VIERECK, H. L., 1911, Description of six new genera and thirty-one new species of Ichneumon-Flies (*Proc. U. S. Nat. Mus.*, XL, n° 1812, pp. 174-175).
- 1913, Description of six new genera and twelve new species of Ichneumon-Flies (*Proc. U. S. Nat. Mus.*, XLIV, n° 1974, p. 642).
- WATANABE, A., 1932, Notes on *Braconidae* of Japan. III: *Apanteles* (*Insecta Matsum*, Tokio, VII, n° 1-2, pp. 74-102).
- WILKINSON, D. S., 1927 *a*, Wing terminology (*Bull. Entom. Res.*, XVIII, pp. 45-46).
- 1927 *b*, On the Indo-Malayan Species of the genus *Microgaster* (*Bull. Entom. Res.*, pp. 171, 178).
- 1928 *a*, On three Braconid Parasites of the Gelechiid Moth, *Platyedra erebodoxa* MEYRICK (*Bull. Entom. Res.*, XVIII, pp. 394-395).
- 1928 *b*, A revision of the Indo-Australian Species of the genus *Apanteles* (*Bull. Entom. Res.*, XIX, pp. 79-146).
- 1928 *c*, Two new parasites of *Tirathaba rufivena* WALKER, in Malaya (*Bull. Entom. Res.*, XIX, p. 202).
- 1928 *d*, New Parasitic Hymenoptera (*Bull. Entom. Res.*, XIX, p. 264).
- 1929 *a*, New parasitic Hymenoptera and notes on other species (*Bull. Entom. Res.*, XX, pp. 107-113).
- 1929 *b*, New species and host records of *Braconidae* (*Bull. Entom. Res.*, XX, p. 206).
- 1929 *c*, Seven new species of *Braconidae* (*Bull. Entom. Res.*, XX, pp. 443-453).
- 1929 *d*, A revision of the Indo-Australian and Ethiopian species of the genus *Microgaster* (*Trans. Roy. Entom. Soc.*, London, LXXVII, pp. 99-123).
- 1930 *a*, A revision of the Indo-Australian species of the genus *Microplitis* (*Bull. Entom. Res.*, XXI, pp. 23-27).
- 1930 *b*, New species and host records of *Ichneumonidae* and *Braconidae* (*Bull. Entom. Res.*, XXI, pp. 150-157).
- 1930 *c*, New *Braconidae* and other notes (*Bull. Entom. Res.*, XXI, pp. 276-284).
- 1930 *d*, New species and host records of *Braconidae* (*Bull. Entom. Res.*, XXI, pp. 482-485).
- 1931, *Braconidae*, notes and new species (*Bull. Entom. Res.*, XXII, pp. 76-82).
- 1932 *a*, A revision of the Ethiopian species of the genus *Apanteles* (*Trans. Roy. Entom. Soc.*, London, LXXX, pp. 301-344).
- 1932 *b*, Three new Braconids (*Stylops*, I, p. 87).
- 1932 *d*, Four new *Apanteles* (*Stylops*, I, pp. 139-144).
- 1934 *a*, On some *Microgasterinae* (*Stylops*, III, pp. 118-120).
- 1934 *b*, On some *Apanteles* (*Stylops*, III, pp. 145-156).
- 1935 *a*, On some Braconids (*Stylops*, IV, p. 72).
- 1935 *b*, Two new *Apanteles* (*Stylops*, IV, pp. 266-269).
- 1936, *Microgasterinae*, notes and new species (*Proc. Roy. Entom. Soc.*, London, V, B, pp. 81-88).
- 1937, On two new palearctic species of *Apanteles* (*Proc. Roy. Entom. Soc.*, London, VI, B, pp. 65-72).
- 1938 *a*, A new species of *Apanteles* from South Africa (*Proc. Roy. Entom. Soc.*, London, VII, B, pp. 131-133).
- 1938 *b*, On identity of *Apanteles circumscriptus* NEES (*Proc. Roy. Entom. Soc.*, London, VII, B, pp. 41-51).
- 1938 *c*, On a further two new species of *Apanteles* (*Proc. Roy. Entom. Soc.*, London, VII, B, pp. 222-227).
- 1938 *d*, A new species of *Apanteles* bred from *Carposina adreptella*, attacking raspberry in New Zealand (*Bull. Entom. Res.*, XXIX, pp. 247-249).
- 1939, On two species of *Apanteles* not previously recognized from the Western palearctic region (*Bull. Entom. Res.*, XXX, pp. 78-84).

INDEX ALPHABÉTIQUE.

GENRES ET SYNONYMES.

Pages.	Pages.
<i>Acaelius</i> HALIDAY 31	MICROGASTERINAE 22
<i>Acoelius</i> HALIDAY 31	Microplitis FOERSTER 37
Adelius HALIDAY 31	Mirax HALIDAY 34
<i>Allapanteles</i> BRETHES 129	Myriola SHESTAKOW 23
<i>Anomopterus</i> ROHWER 31	Oligoneurus SZÉPLIGETI. . . . 23-25
Apanteles FOERSTER 129	Paradelius DE SAEGER 33
<i>Centistidea</i> ROHWER 34	<i>Parapanteles</i> ASHMEAD... .. 24
<i>Cotesia</i> CAMERON 129	Paroligoneurus MUESEBECK 24
<i>Cryptapanteles</i> VIERECK 129	<i>Pleiomorus</i> (WESMAEL) RATZ. 31
<i>Diolcogaster</i> ASHMEAD 50	<i>Protapanteles</i> ASHMEAD 129
Dirrhope FOERSTER 23	<i>Protomicroplitis</i> ASHMEAD 50
<i>Dolichogenidea</i> VIERECK 129	<i>Pseudapanteles</i> ASHMEAD 129
<i>Glyptapanteles</i> ASHMEAD 129	Snellenius WESTWOOD 24
<i>Hygroplitis</i> THOMSON 50	<i>Stenopleura</i> VIERECK 129
<i>Hypomicrogaster</i> ASHMEAD 50	<i>Urogaster</i> ASHMEAD 129
Mesocoelus SCHULTZ 23	<i>Xanthomicrogaster</i> CAMERON 51
Microgaster LATREILLE 50	<i>Xestapanteles</i> CAMERON 129

ESPECES, SOUS-ESPECES, ABERRATIONS ET SYNONYMES.

Pages.	Pages.
achaeus sp. n. [Apanteles] ... 139, 204	<i>africanus</i> (VIER.) [Apanteles]... .. 326
acraeae WILKN. [Apanteles] 322	agama sp. n. [Microgaster] 56, 83
aethiopica sp. n. [Microplitis]. 39, 47, 48	agynus sp. n. [Apanteles] 135, 173
aethiopicus WILKN. [Apanteles]. 130, 144, 250	alastor sp. n. [Apanteles]. 147, 271, 275
aethiopicus sp. n. [Paroligoneu- rus] 25, 29	amenophis sp. n. [Apanteles]. 137, 189
afer WILKN. [Apanteles] 322	anandra sp. n. [Microgaster] 55, 76
africana BRUES [Mirax] 34, 37	annulicornis ASHM. [Apanteles] 304
africanus CAM. [Apanteles] 322	anthozelae DE S. [Apanteles] . 141, 316
	anthracomerus ab. n. [Apanteles] 145, 258
	<i>antipoda</i> ASHM. [Apanteles] 328

	Pages.		Pages.
anubis sp. n. [Apanteles]	134, 153	demolitor WILKN. [Microplitis]	38
argus sp. n. [Apanteles]	137, 188	deprimator (F.) [Microgaster]	51
arundinariae sp. n. [Apanteles].	149, 298 , 301	dioryctriae WILKN. [Apanteles]	265
atellae WILKN. [Apanteles]... ..	323	diparopsidis LYLE [Apanteles].	146, 260, 262, 318
atropa sp. n. [Microgaster].	58, 97 , 103, 104, 107	discretus SZÉPL. [Apanteles]	324
australiensis ASHM. [Apanteles]	130	earina WILKN. [Microgaster]	55, 76, 77
austrina WILKN. [Microgaster].	59, 109	earterus WILKN. [Apanteles].	144, 246, 249, 258, 317
bambusae WILKN. [Apanteles]	300	elaeodes sp. n. [Apanteles]	141, 222
bambusana sp. n. [Microplitis].	39, 43 , 49	ensiger (SAY) [Apanteles]	320
baoris WILKN. [Apanteles]	257	endymion WILKN. [Apanteles]	324
basimacula (CAM.) [Microgaster]	56, 84, 93	epaphus sp. n. [Apanteles]	140, 216
bellatulus sp. n. [Apanteles]	145, 250	epectina sp. n. [Microgaster]... ..	57, 89, 90
belliger WILKN. [Apanteles]	323	epectinopsis sp. n. [Microgaster]	57, 89
<i>beneficus</i> (VIER.) [Apanteles]	322	epiplemicidus DE S. [Apanteles].	146, 169, 319
bicolor SZÉPL. [Microgaster]	58, 109	eros WILKN. [Apanteles]	257, 295, 324
bifissus sp. n. [Apanteles]... ..	140, 212	eucosmae WILKN. [Apanteles] 134, 161, 168	
bitalensis sp. n. [Apanteles]	145, 261	eurygaster (CAM.) [Microgaster].	100, 108, 129
bordagei GIARD [Apanteles]	142, 316	eurytergis DE S. [Apanteles] 150, 300, 320	
brédoi DE S. [Apanteles]	147, 308, 319	eutelus DE S. [Apanteles]	137, 183
bumbana DE S. [Microgaster]	54, 64, 67	falcatus (NEES) [Apanteles]	241
burunganus sp. n. [Apanteles]... ..	142, 239	fallax sp. n. [Apanteles]	148, 285 , 287
caesar WILKN. [Apanteles]	323	fasciipennis GAHN. [Microgaster] 55, 76, 77	
<i>cameroni</i> BRUES [Apanteles]	322	flagellator WILKN. [Apanteles]	324
caniae WILKN. [Apanteles]... ..	286, 292	<i>flavatus</i> ISHIDA [Apanteles]	324
<i>capensis</i> CAM. [Apanteles]	326	flavipes (CAM.) [Apanteles]	324
carinatus SZÉPL. [Apanteles]	323	fontinalis sp. n. [Apanteles].	150, 205 , 311, 313
carpatus (SAY) [Apanteles]	150, 320	fulvipes (HAL.) [Apanteles]	197
cato sp. n. [Apanteles]	151, 308	furax sp. n. [Apanteles]	149, 286, 295
<i>chilocida</i> (VIER.) [Apanteles]	324	fuscicornis (CAM.) [Apanteles], 150, 320	
chrysiippi (VIER.) [Apanteles]	323	fuscinervis CAM. [Apanteles]	134, 160
cincticornis sp. n. [Microgaster].	60, 117 , 120, 122	gähinga sp. n. [Apanteles].	137, 184 , 188, 189
cinyras sp. n. [Apanteles]... ..	138, 192, 198	galleriae WILKN. [Apanteles]	325
circinus sp. n. [Apanteles]... ..	140, 214 , 216	gandoensis sp. n. [Apanteles].	146, 251
circumscriptus (NEES) [Apanteles]... ..	8	geometrivorus DE S. [Apanteles] 135, 171	
coffea WILKN. [Apanteles]	144, 317	ghesquière DE S. [Apanteles]	142, 242
colemanni (VIER.) [Apanteles]	182	ghesquière DE S. [Paradelius]	33
congensis sp. n. [Microplitis]	38, 39	gitebe sp. n. [Apanteles]	147, 268
congoensis DE S. [Apanteles] 135, 151, 321		glaphyra sp. n. [Microgaster]	56, 81
conspicabilis sp. n. [Apanteles].	149, 302	glyphodes WILKN. [Apanteles]..	197, 325
convexus sp. n. [Paroligoneurus].	25, 29		
coronata sp. n. [Microgaster]	56, 86		
coxalis SZÉPL. [Apanteles]	150, 308		
coxalis sp. n. [Microgaster].	55, 78 , 320		
croceipes (CRESS.) [Microplitis]	38		
cuspidalis sp. n. [Apanteles] 135, 169 , 172			
cyclorhaphus sp. n. [Apanteles].	148, 287		

	Pages.		Pages.
gowdeyi GAHN. [Apanteles] ...	137, 183	laxus sp. n. [Apanteles] ...	146, 265
gratiosus WILKN. [Apanteles]	135, 171, 314	lefèvrei DE S. [Apanteles] ...	133, 314
guyanensis CAM. [Apanteles] ...	174	leppeleyi WILKN. [Microgaster] .	59, 111
hapaliae DE S. [Apanteles] ...	143, 317	leucopterae WILKN. [Mirax]	34, 35, 36, 37
henicopus sp. n. [Apanteles] ...	133, 152	liopleuris SZÉPL. [Apanteles] ...	326
heterocera sp. n. [Microgaster].	60, 121	lissopleurus sp. n. [Apanteles] .	136, 175
hiero sp. n. [Apanteles] ...	139, 208	longistylus sp. n. [Apanteles] .	148, 281
homocera sp. n. [Microgaster].	60, 120 , 121, 122	luteocinctus DE S. [Apanteles]	147, 268, 270
horus sp. n. [Apanteles] ...	134, 163	maculipalpis DE S. [Apanteles].	146, 319
hyalinipennis FOERST. [Adelius] ...	33	maculitarsis CAM. [Apanteles] ...	326
hyblaeae WILKN. [Apanteles] ...	241	major ab. n. [Microgaster] ...	59, 117
hylas WILKN. [Apanteles] ...	286, 297, 325	<i>manilae</i> (ASHM.) [Apanteles] ...	328
hymeniae WILKN. [Apanteles] ...	308	manilae ASHM. [Microplitis] ...	48
hyperion sp. n. [Apanteles] ...	141, 85	maynéi DE S. [Apanteles] ...	145, 318
igae WAR. [Apanteles] ...	320	mediana RUTHE [Microplitis] ...	45
incompletus SZÉPL. [Apanteles] ...	325	megagaster sp. n. [Apanteles] .	148, 278
indica WILKN. [Microgaster] ...	209	megathymi RILEY [Apanteles] ...	246
insolens WILKN. [Apanteles] ...	133, 151	megaulax sp. n. [Microgaster] .	59, 111
insularis MUES. [Mirax] ...	37	melanotus sp. n. [Apanteles] ...	134, 166
integra WILKN. [Microgaster] ...	56, 88	melissus sp. n. [Apanteles]... ..	137, 187
intricatus sp. n. [Apanteles].	138, 188, 194 , 198	melligaster PROV. [Microgaster] ...	100
isis sp. n. [Microplitis]... ..	38, 42	menuthias WILKN. [Apanteles]... ..	326
ituriensis DE S. [Apanteles] ...	140, 316	metus ab. n. [Apanteles] ...	139, 207
javensis ROHWER [Apanteles] ...	265	mibale ab. n. [Apanteles] ...	136, 179
johnsoni MUES. [Paroligoneurus]..	25	mikeno sp. n. [Microgaster] ...	58, 100
kabasha ab. n. [Apanteles]... ..	147, 271	mimus ab. n. [Apanteles] ...	139, 206
kamatembe ab. n. [Apanteles].	145, 260	mine ab. n. [Apanteles] ...	136, 179
kashwa ab. n. [Apanteles] ...	148, 284	misatu ab. n. [Apanteles] ...	136, 179
kirii ab. n. [Apanteles] ...	147, 270	mitanu ab. n. [Apanteles] ...	136, 180
kivuana sp. n. [Microgaster] ...	54, 67	mLANJE WILKN. [Apanteles].	139, 206, 209, 221, 327
kivuensis DE S. [Apanteles] ...	135, 314	moko ab. n. [Apanteles] ...	136, 179
kivuensis sp. n. [Paroligoneurus].	25, 28 , 29	montanus sp. n. [Apanteles] ...	141, 236
lacteipennis SZÉPL. [Apanteles] .	137, 325	mubilibana sp. n. [Mirax] ...	34
lacteipennis ab. n. [Apanteles] ...	183	<i>narangae</i> (VIER.) [Apanteles] ...	328
langerburgensis SZÉPL. [Apanteles].	150, 268, 305, 308	neavei WILKN. [Apanteles]... ..	138, 203, 206
latiannulatus (CAM.) [Apanteles] ...	326	neglecta sp. n. [Microgaster] ...	56, 85
laurae sp. n. [Microgaster] ...	54, 61	neleus sp. n. [Apanteles] ...	139, 210
laxatus WILKN. [Apanteles] ...	326	niger sp. n. [Microplitis] ...	39, 46
		nigerrimus ROMAN [Apanteles]... ..	187
		nigra ab. n. [Microplitis] ...	39, 50
		nigricoxis WILKN. [Apanteles]	206, 208, 327
		nigricoxis ab. n. [Apanteles] ...	149, 292
		nigrifemur ab. n. [Apanteles] ...	151, 313
		nigromacula sp. n. [Microgaster].	57, 90, 91, 92, 93 , 95
		ninus sp. n. [Apanteles] ...	138, 192
		nitidus sp. n. [Apanteles] ...	144, 243

	Pages.		Pages.
nkuli DE S. [Apanteles] ...	137, 192, 200	rubens ab. n. [Apanteles] ...	134, 168
<i>nonagriæ</i> (OLL.) [Apanteles] ...	324	ruficrus (HAL.) [Apanteles]...	226
nox ab. n. [Apanteles] ...	139, 207	rufilabris HAL. [Mirax] ...	34
nyamuragira ab. n. [Microgaster].	54, 63	rufipes ab. n. [Apanteles] ...	142, 242
nyasaensis WILKN. [Apanteles]...	133, 152	rugosus SZÉPL. [Apanteles]...	328
nycteus sp. n. [Apanteles]	141, 227 , 230, 232	rutshuru ab. n. [Apanteles] ...	147, 271
nyongera ab. n. [Apanteles] ...	148, 277	rutshuruensis ab. n. [Apanteles]	134, 163
		rwindicus s. sp. n. [Apanteles]	144, 249
obscura (NEES) [Apanteles] ...	130	sagax WILKN. [Apanteles] ...	142, 316
obscurior ab. n. [Microgaster] ...	57, 95	sake ab. n. [Apanteles] ...	145, 259
<i>ochrostigma</i> (WESM.) [Apanteles] ...	329	salebrosus MARSHLL. [Apanteles] ...	229
olivierellæ WILKN. [Apanteles] ...	8, 281	sarpedon sp. n. [Apanteles] ...	147, 271
orientalis SZÉPL. [Apanteles] ...	327	schoutedeni DE S. [Apanteles] .	147, 268
osiris sp. n. [Apanteles] ...	138, 200 , 219	semirufa sp. n. [Microgaster] ...	55, 79
		sesamiae CAM. [Apanteles]...	110, 151, 321
pallidocinctus GAHN. [Apanteles].		seydeli DE S. [Apanteles] ...	136, 315
	135, 160, 315	seyrigi WILKN. [Apanteles] ...	329
palpicolor sp. n. [Microgaster].		significans WALK. [Apanteles] ...	277
	55, 74 , 78, 80	<i>simplificis</i> (VIER.) [Apanteles] ...	324
paludicolæ CAM. [Apanteles] ...	327	simulator ab. n. [Apanteles] ...	145, 253
<i>papilionis</i> WILKN. [Apanteles] ...	315	simulissimus sp. n. [Apanteles].	135, 171
parallelus LYLE [Apanteles] ...	192	simus sp. n. [Apanteles] ...	136, 141, 176
parasæ ROHWER [Apanteles] ...	249	sordipes (NEES) [Microplitis] ...	37
parvicornis sp. n. [Apanteles]...	133, 155	spilosomæ DE S. [Apanteles] 137, 168, 183	
pelops sp. n. [Apanteles] ...	149, 254, 288	stenoculus sp. n. [Adelius] ...	31
pentagonius DE S. [Apanteles].	144, 317	stenoterga sp. n. [Microgaster] 60 , 124 , 129	
perniciosa WILKN. [Microgaster] ...	72	subaltus sp. n. [Apanteles] ...	151, 312
persimilis WILKN. [Microgaster] 55, 76, 78		subfasciatus HAL. [Adelius] ...	31
pistrinariae WILKN. [Apanteles].		sulcata sp. n. [Microgaster] ...	57, 91
	133, 155, 314	sundanus WILKN. [Apanteles] ...	157
platyedræ WILKN. [Apanteles].		superba sp. n. [Microgaster] ...	58, 103
	258, 260, 261	<i>sydneyensis</i> CAM. [Apanteles] ...	328
<i>platyptiliae</i> CAM. [Apanteles] ...	327	syleptæ FERR. [Apanteles]	
plutellæ KURDJ. [Apanteles] 225, 226, 228			146, 268, 308, 319
pluto sp. n. [Microgaster] ...	54, 72	syleptæ DE S. [Microgaster].	
propylæ DE S. [Apanteles].			58, 104, 105, 109
	134, 161, 162, 163, 165, 176	sylvaticus sp. n. [Apanteles] ...	149, 301
prosper WILKN. [Apanteles] ...	327		
psaræ WILKN. [Microgaster] ...	67, 100	taeniaticornis WILKN. [Apanteles]...	304
psilocnema sp. n. [Microgaster].	60, 126	taylori WILKN. [Apanteles]...	187
pteroloba sp. n. [Microgaster]...	54, 65	tearæ WILKN. [Microgaster] ...	104
pullus ab. n. [Apanteles] ...	140, 221	tereus sp. n. [Apanteles] ...	140, 217
punctulatus ab. n. [Apanteles].	134, 162	testaceicornis NIEZ. [Microplitis] ...	48
pyrodercetus DE S. [Apanteles].	142, 241	<i>testaceolineatus</i> CAM. [Apanteles].	326
		<i>testaceioventris</i> CAM. [Apanteles]...	326
regalis DE S. [Apanteles] ...	141, 316	thespis sp. n. [Apanteles] ...	141, 233
risbeci DE S. [Apanteles] ...	328	transutus sp. n. [Apanteles] ...	141, 230
rixosa WILKN. [Microgaster] ...	63	transvaalensis CAM. [Apanteles] ...	329
ruandana sp. n. [Microgaster] .	58, 106		

	Pages.		Pages.
triptolemus sp. n. [Apanteles].		venustus sp. n. [Apanteles] ...	136, 180
	140, 216, 217, 218	vivax sp. n. [Apanteles]	146, 262
trochanteratus SZÉPL. [Apanteles]	241, 329	vulcana sp. n. [Microgaster] ..	54, 70 , 72
tunetensis MARSHLL. [Microplitis]...	38	<i>wilkinsoni</i> DE S. [Apanteles]	317
turneri WILKN. [Microgaster]...	55, 76, 77	wittei sp. n. [Apanteles] ...	145, 254 , 261
ugandaensis GAHN. [Apanteles].	135, 168	wittei sp. n. [Microgaster] ...	59, 113 , 117
uroxys DE S. [Apanteles]	142, 238	wittei sp. n. [Paroligoneurus]	25 , 28, 29, 31
vacillatrix WILKN. [Microgaster].		<i>xanthocarpa</i> SZÉPL. [Apanteles] ...	329
	54, 61, 67, 96	xanthopholis sp. n. [Apanteles].	
vacillatropsis sp. n. [Microgaster].	58, 96		149, 285, 286, 292 , 298
valvatus sp. n. [Apanteles] ...	144, 246	<i>xanthostigma</i> (HAL.) [Apanteles] ...	329
		xanthostigma ab. n. [Microgaster]	59, 117
		xanthostigmus (HAL.) [Apanteles]...	329

TABLE DES MATIÈRES

	Pages.
AVANT-PROPOS	3
Classification	7
Variations	10
Diagnoses	11
Rapport des sexes	12
Mensurations	12
Dessins	12
Liste des localités où des <i>Microgasterinae</i> furent récoltés	13
Relevé des altitudes où des captures furent faites	17
Clef des genres	23
Étude des genres et espèces	24
Clef des espèces éthiopiennes du genre <i>Paroligoneurus</i>	25
Clef des espèces éthiopiennes du genre <i>Mirax</i>	34
Clef des espèces éthiopiennes du genre <i>Microplitis</i>	38
Clef des espèces éthiopiennes du genre <i>Microgaster</i>	52
Clef des espèces congolaises du genre <i>Apanteles</i>	131
Espèces congolaises d' <i>Apanteles</i> ne figurant pas dans la collection de la Mission de Witte	314
Espèces éthiopiennes d' <i>Apanteles</i> ne figurant pas dans les récoltes faites au Congo Belge	322
Liste des hôtes... ..	330
Liste des parasites... ..	333
Index bibliographique	334
INDEX ALPHABÉTIQUE... ..	337
TABLE DES MATIÈRES	342

PLANCHES

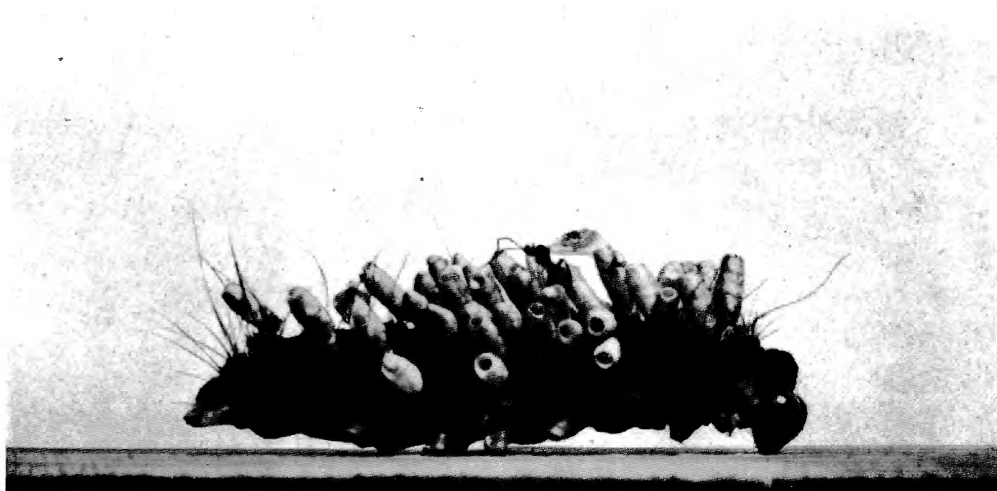
EXPLICATION DES FIGURES

FIG. 1. — Chenille de Lasiocampide parasitée par *Apanteles grattiosus* WILKINSON. Les cocons sont fixés à l'hôte par leur pôle anal. L'ouverture de sortie et l'opercule de fermeture sont bien visibles.

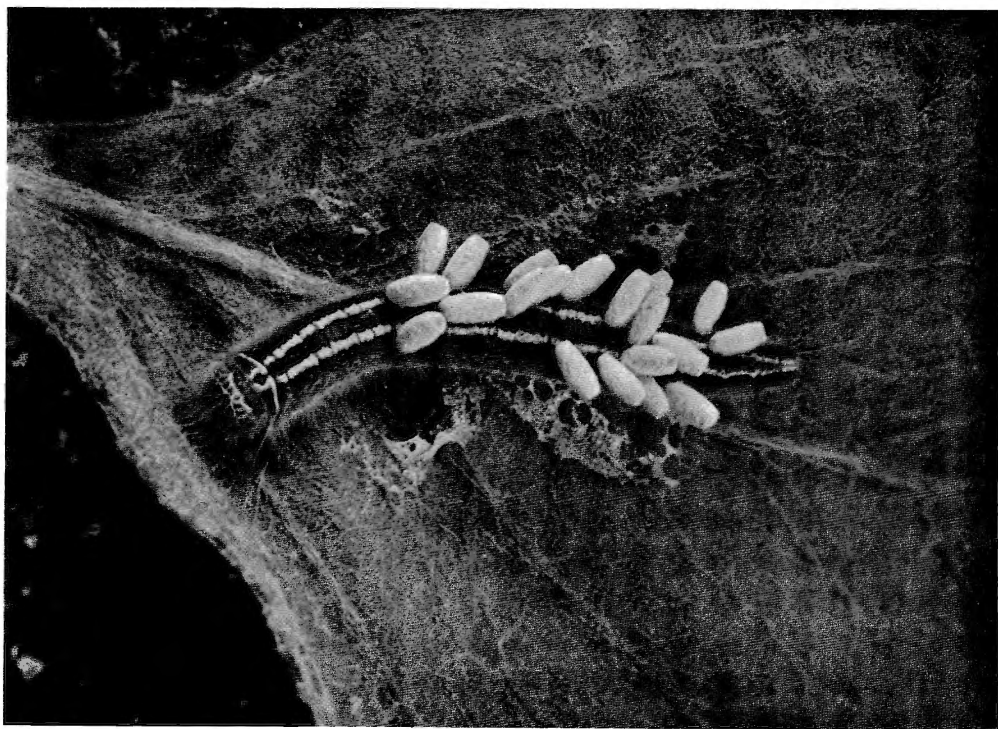
Photo H. DE SAEGER.

FIG. 2. — Chenille de Lasiocampide portant des cocons d'*Apanteles* sp. Cas, paraissant exceptionnel, où la chenille survit après la sortie de larves parasites internes.

Photo G. F. DE WITTE (Coll. Musée du Congo Belge).



1. Chenille de Lasiocampide parasitée par *Apanteles gratiosus* WILKINSON.



2. Chenille de Lasiocampide parasitée par *Apanteles* sp.



3. Rutshuru. Vue générale de la région vers le Sud-Est (alt. 1.285 m.).



4. Ruhengeri (Ruanda), vers les volcans Karisimbi, Mikeno et Visoke (alt. 1.850 m.).

EXPLICATION DES FIGURES

- FIG. 3. — Rutshuru [alt. 1.285 m.].
Région vers le Sud-Est, comprise entre Rutshuru et les
Virunga; en grande partie d'origine volcanique, savanes et
plaines fertiles, propres à la culture. Au fond les volcans
Muhavura, Gahinga et Sabinyo.

Photo G. F. DE WITTE (Coll. Inst. Parcs Nat. Congo Belge).

- FIG. 4. — Ruhengeri (Ruanda), région vers l'Ouest [alt. 1850 m.].
Végétation remaniée et cultures. Au fond les volcans. Kari-
simbi, Mikeno et Visoke.

Photo G. F. DE WITTE (Coll. Inst. Parcs Nat. Congo Belge).

EXPLICATION DES FIGURES

FIG. 5. — Tshumba (Mushari), région vers le Sud-Est [alt. 2.100 m.].
Végétation remaniée et cultures. Au fond, à droite, le volcan
Nyamuragira.

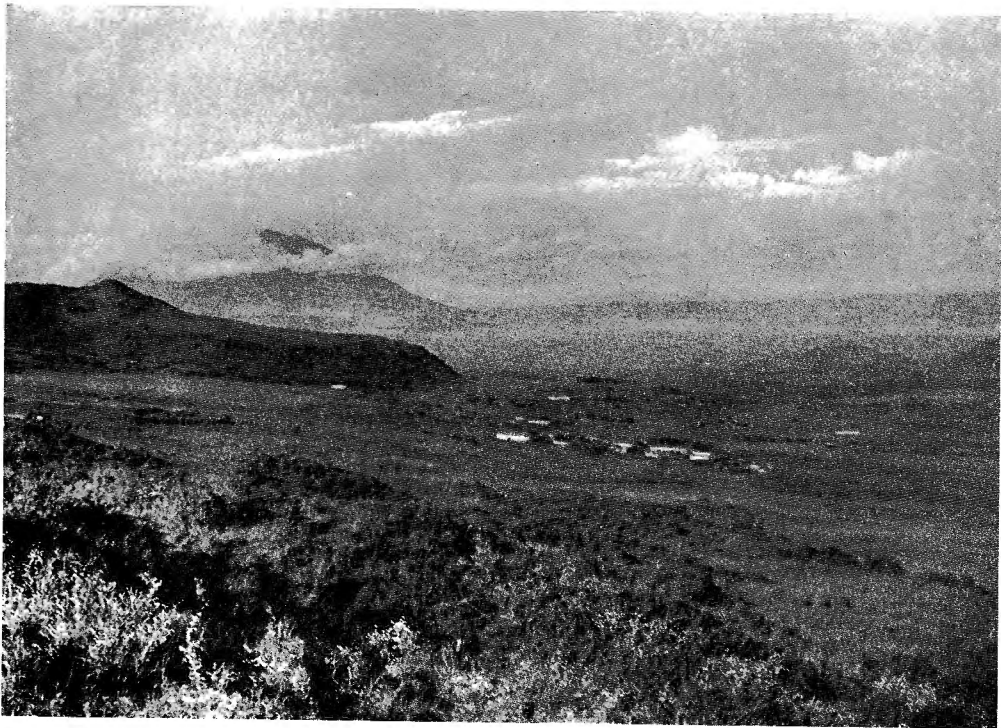
Photo G. F. DE WITTE (Coll. Inst. Parcs Nat. Congo Belge).

FIG. 6. — Nyabirehe, versant Sud du volcan Karisimbi (Ruanda) [alt.
2.400 m.].
Région en direction du Nord-Est. Végétation remaniée et
cultures. Au loin le volcan Muhavura.

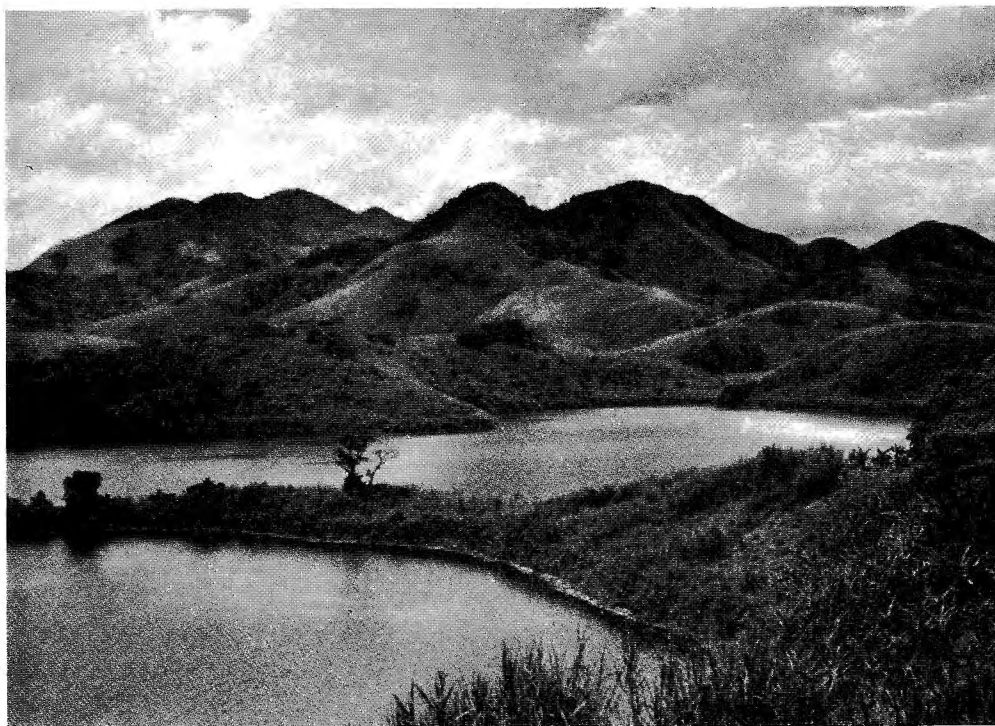
Photo G. F. DE WITTE (Coll. Inst. Parcs Nat. Congo Belge)



5. Tshumbá (Mushari) (alt. 2.100 m.).



6. Nyabirehe, vers le volcan Muhavura (alt. 2.400 m.).



7. Kalondo, lac Ndaraga (Mokoto) (alt. 1.725 m.).



8. Burunga (Mokoto), vers l'Est (alt. 2.000 m.).

EXPLICATION DES FIGURES

- FIG. 7. — Kalondo, lac Ndaraga (Mokoto) [alt. 1.725 m.].
Presqu'île et vue vers le côté Est du lac. Végétation remaniée et cultures dans la savane à *Acanthus*.

Photo G. F. DE WITTE (Coll. Inst. Parcs Nat. Congo Belge).

- FIG. 8. — Burunga (Mokoto), région en direction de l'Est [alt. 2.000 m.].
Marais de Luamatari, situé dans une vallée en partie colmatée, avec végétation à *Papyrus* et entouré de toute part par la forêt sclérophylle. A remarquer la floraison de nombreuses plantes herbacées. Au fond les volcans Muhavura, Sabinyo, Mikeno, Nyamuragira et Nyiragongo.

Photo G. F. DE WITTE (Coll. Inst. Parcs Nat. Congo Belge).

EXPLICATION DES FIGURES

FIG. 9. — Nyasheke, versant Est du volcan Nyamuragira [alt. 1.820 m.].
Forêt mésophile sur lave désagrégée, montrant l'abondance
de la flore de sous-bois où souvent dominant les fougères.

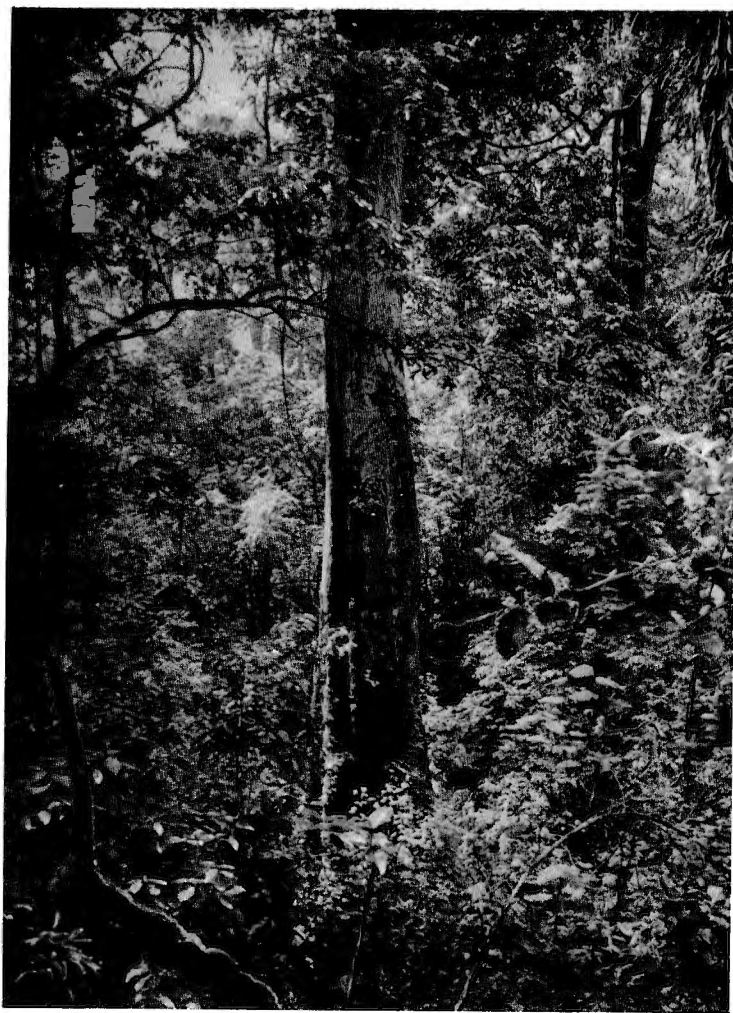
Photo G. F. DE WITTE (Coll. Inst. Parcs Nat. Congo Belge).

FIG. 10. — Nyasheke, versant Est du volcan Nyamuragira [alt. 1.820 m.].
Forêt mésophile montrant l'encombrement du taillis où les
essences de grande dimension sont peu nombreuses et repré-
sentent la forêt de transition, sous-jacente.

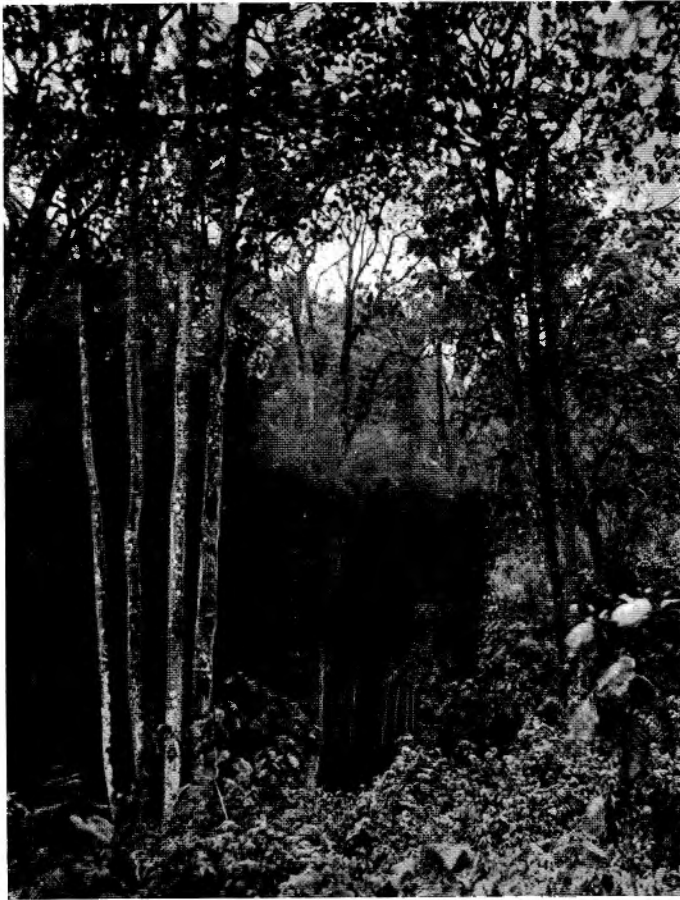
Photo G. F. DE WITTE (Coll. Inst. Parcs Nat. Congo Belge).



9. Nyasheke (alt. 1.820 m.).



10. Nyasheke (alt. 1.820 m.).



11. Bitashimwa (alt. 2.000 m.).



12. Munagana (Djomba) (alt. 2.000 m.).

EXPLICATION DES FIGURES

FIG. 11. — Bitashimwa, au Nord de Lulenga [alt. 2.000 m.].
Forêt mixte où apparaissent des bouquets de Bambous de
taille peu développée.

Photo G. F. DE WITTE (Coll. Inst. Parcs Nat. Congo Belge).

FIG. 12. — Munagana (Djomba), vers le marais de Tshengelero [alt.
2.000 m.].
Petite mare dans une excavation de lave, servant d'abreu-
voir. Savane-pâturage d'altitude, à végétation modifiée.

Photo G. F. DE WITTE (Coll. Inst. Parcs Nat. Congo Belge).

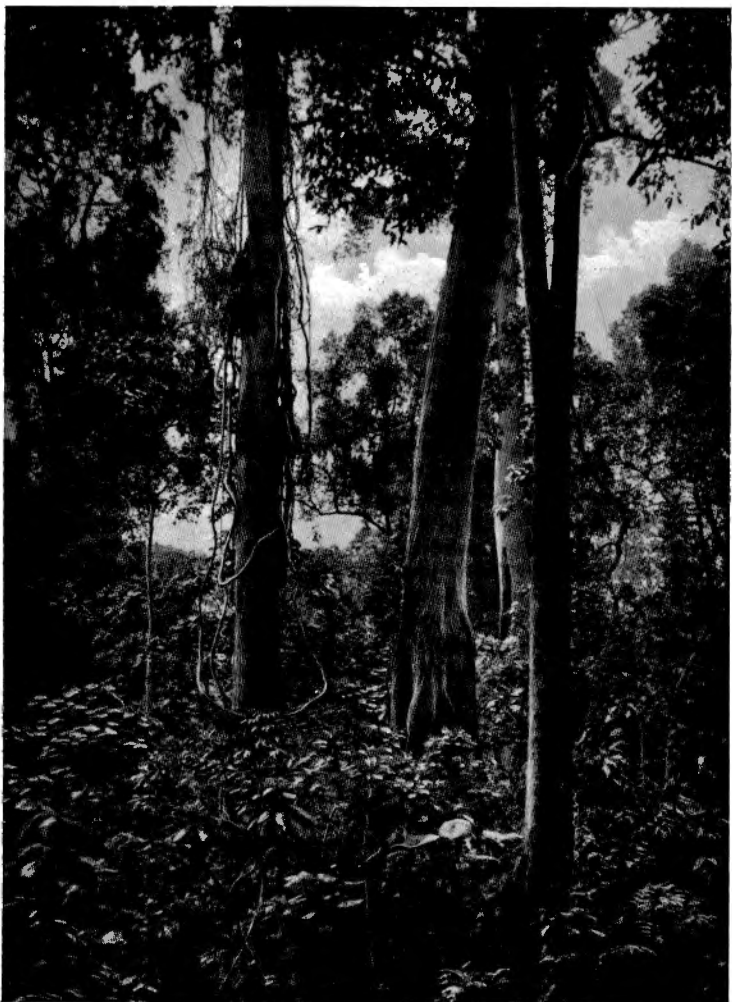
EXPLICATION DES FIGURES

FIG. 13. — Shamuheru, versant Est du volcan Nyamuragira [alt. 2.175 m.]. Forêt de montagne sclérophylle à tendance mésophile, sur lave désagrégée, à sous-bois dense, abondamment fourni en essences diverses.

Photo G. F. DE WITTE (Coll. Inst. Parcs Nat. Congo Belge).

FIG. 14. — Shamuheru, versant Est du volcan Nyamuragira [alt. 2.175 m.]. Végétation typique d'un *Ficus* dans la forêt de montagne à sous-bois encombré d'herbacées diverses.

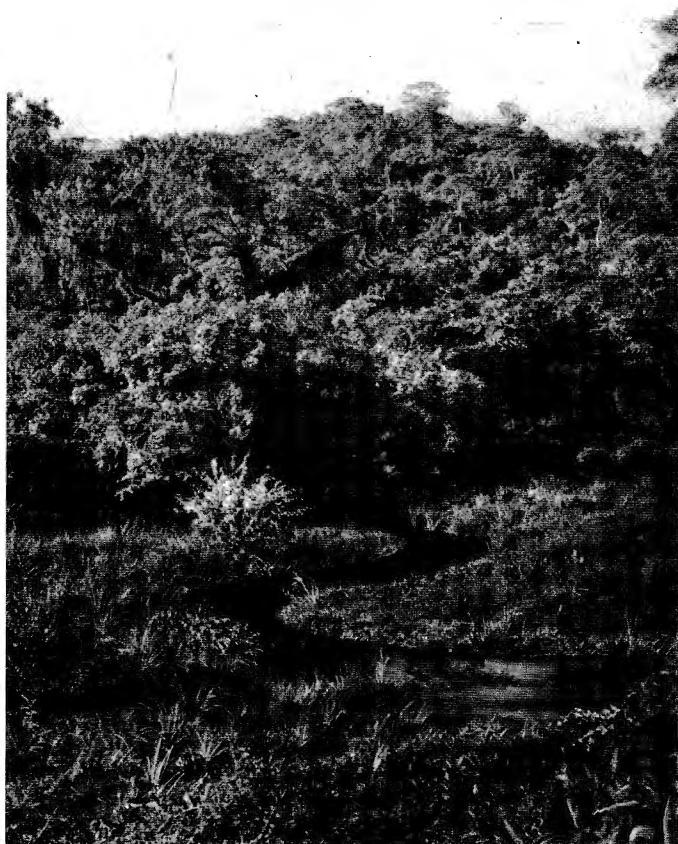
Photo G. F. DE WITTE (Coll. Inst. Parcs Nat. Congo Belge).



13. Shamuheru (alt. 2.175 m.).



14. Shamuheru (alt. 2.175 m.).



15. Rivière Bishakishaki, région du Kamatembe (alt. 2.100 m.).



16. Forêt dans la région du Kamatembe (alt. 2.100 m.).

EXPLICATION DES FIGURES

FIG. 15. — Région du Kamatembe au Nord-Ouest du volcan Nyamuragira [alt. 2.100 m.].

La rivière Bishakishaki, clairière de graminées dans la forêt sclérophylle à tendance mésophile, sur lave ancienne, avec îlots de forêt de montagne.

Photo G. F. DE WITTE (Coll. Inst. Parcs Nat. Congo Belge).

FIG. 16. — Région du Kamatembe [alt. 2.100 m.].

Forêt sclérophylle à tendance mésophile, caractéristique du milieu humide; couvert bas et peu dense, herbacées vivaces et plantes épiphytes nombreuses.

Photo G. F. DE WITTE (Coll. Inst. Parcs Nat. Congo Belge).

EXPLICATION DES FIGURES

FIG. 17. — Région de Tshamugussa, au Nord du volcan Visoke [alt. 2.250 m.].

Vers la limite inférieure du sous-étage des Bambous. Les formations d'*Arundinaria alpina* y sont rarement pures, le sol est abondamment couvert d'herbacées diverses.

Photo G. F. DE WITTE (Coll. Inst. Parcs Nat. Congo Belge).

FIG. 18. — Région de Tshamugussa, au Nord du volcan Visoke [alt. 2.250 m.].

Étage de la forêt de montagne à caractère sclérophylle, dans la plaine des laves des Virunga coupée de prairies à graminées.

Photo G. F. DE WITTE (Coll. Inst. Parcs Nat. Congo Belge).



17. Peuplement de Bambous dans la région de Tshamugussa (alt. 2.250 m.).



18. Région de Tshamugussa (alt. 2.250 m.).



19. Lac Gando (Ruanda) (alt. 2.400 m.).



20. Ilega (Ruanda) (alt. 2.400 m.).

EXPLICATION DES FIGURES

FIG. 19. — Lac Gando, versant Sud du volcan Karisimbi, Ruanda [alt. 2.400 m.].
Cratère adventif à la base du volcan, entouré d'une ceinture de forêt à *Brillantaisia*. Au fond le volcan Karisimbi.

Photo G. F. DE WITTE (Coll. Inst. Parcs Nat. Congo Belge).

FIG. 20. — Ilega, versant Sud du volcan Karisimbi, à l'Est du lac Gando, Ruanda [alt. 2.400 m.].
Taillis sclérophylle sur lave désagrégée. Au loin le volcan Nyiragongo.

Photo G. F. DE WITTE (Coll. Inst. Parcs Nat. Congo Belge).

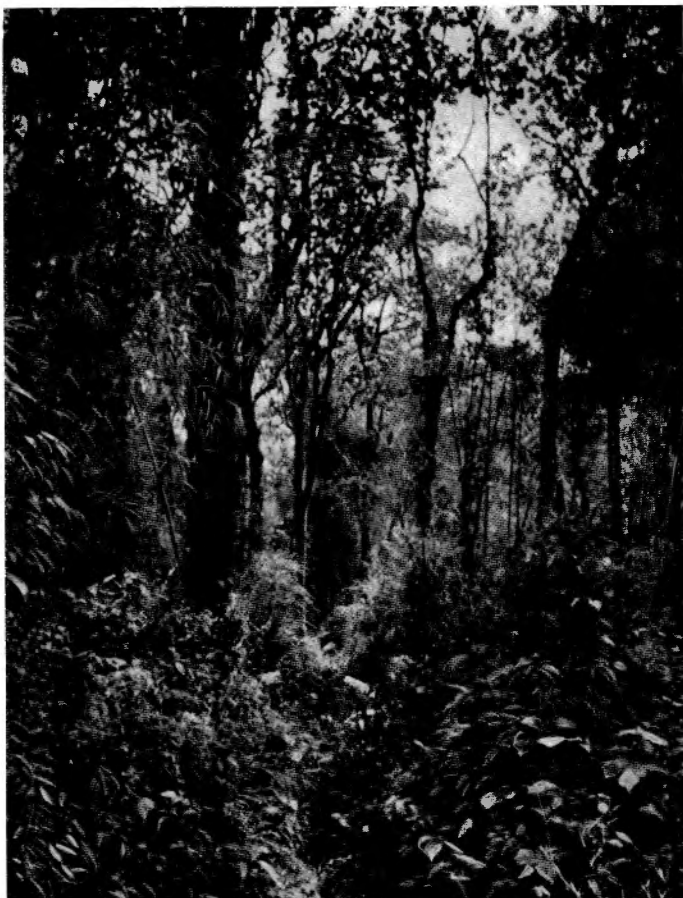
EXPLICATION DES FIGURES

- FIG. 21. — Vers Rweru, versant Ouest des volcans Mikeno et Karisimbi
[alt. 2.400 m.].
Forêt mixte vers la limite inférieure du sous-étage des Bam-
bous. Couvert peu dense d'essences mésophiles, mélangées
d'*Arundinaria*, flore du sous-bois très abondante.

Photo G. F. DE WITTE (Coll. Inst. Parcs Nat. Congo Belge).

- FIG. 22. — Vers Rweru, versant Ouest des volcans Mikeno et Karisimbi.
[alt. 2.400 m.].
Taillis secondaire d'essences héliophiles.

Photo G. F. DE WITTE (Coll. Inst. Parcs Nat. Congo Belge).



21. Vers Rweru (alt. 2.400 m.).



22. Vers Rweru (alt. 2.400 m.).



23. Vallée de la rivière Bikwi (alt. 3.100 m.).



24. Kabara (alt. 3.200 m.).

EXPLICATION DES FIGURES

- FIG. 23. — Vallée de la rivière Bikwi, versant Sud du volcan Karisimbi, Ruanda [alt. 3.100 m.].
Limite inférieure de l'étage alpin sur le volcan Karisimbi.
Végétation herbacée très touffue, mousses et *Usnea* abondants.
Photo G. F. DE WITTE (Coll. Inst. Parcs Nat. Congo Belge).

- FIG. 24. — Kabara, col entre les volcans Karisimbi et Mikeno, station sur le versant Sud de ce dernier [alt. 3.200 m.].
Massif d'*Hagenia abyssinica* sur un abondant sous-bois herbacé.
Photo G. F. DE WITTE (Coll. Inst. Parcs Nat. Congo Belge).
-

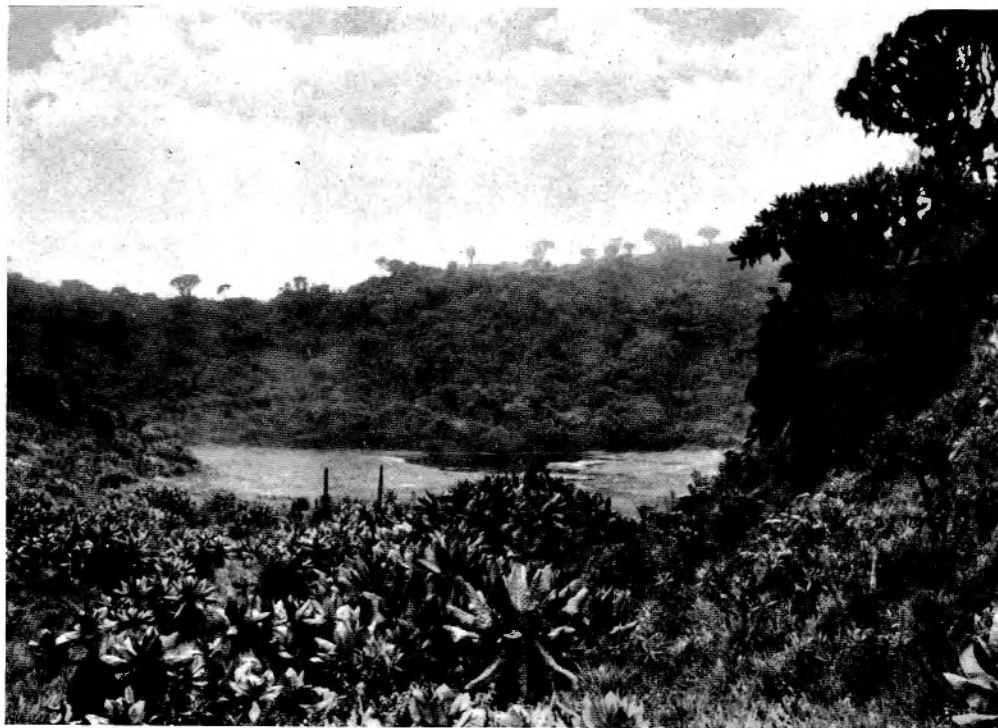
EXPLICATION DES FIGURES

FIG. 25. — Volcan Gahinga [alt. 3.475 m.].
Intérieur de l'ancien cratère et marais-cratère en partie
comblé, occupé par une prairie à *Deschampsia*. Sur les
rebords du cratère, *Senecio* et *Lobelia*; sur la crête, des
Philippia longifolia.

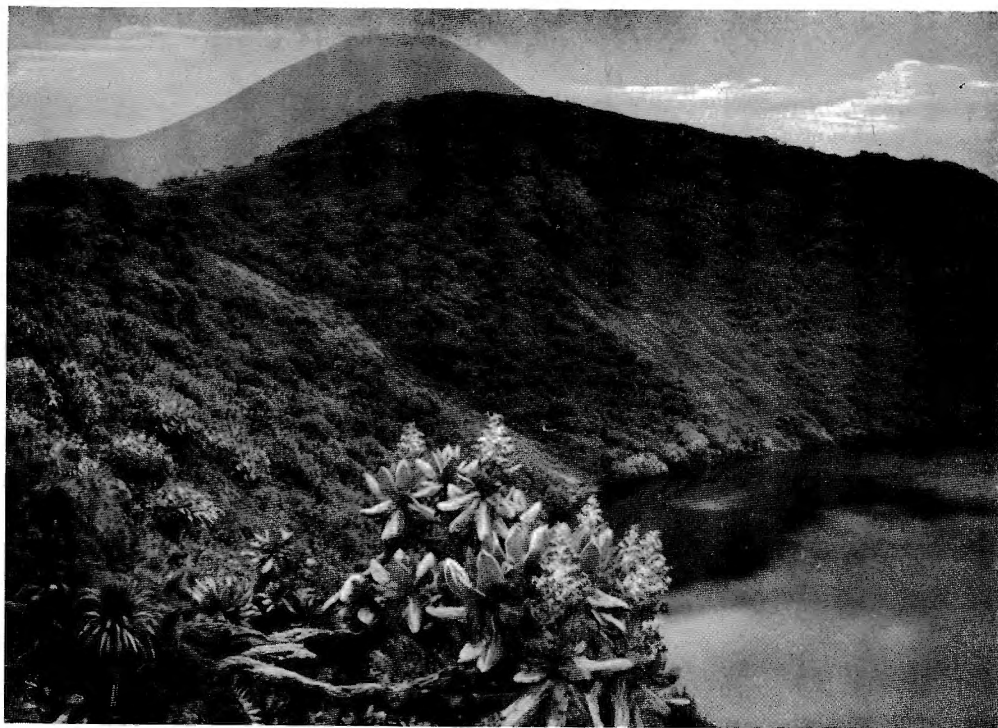
Photo G. F. DE WITTE (Coll. Inst. Parcs Nat. Congo Belge).

FIG. 26. — Sommet du volcan Visoke [alt. 3.770 m.].
Cratère-lac, étage alpin, *Senecio* et *Lobelia*. Au fond le vol-
can Karisimbi.

Photo G. F. DE WITTE (Coll. Inst. Parcs Nat. Congo Belge).



25. Ancien cratère du volcan Gahinga (alt. 3.475 m.).



26. Sommet du volcan Visoke (alt. 3.770 m.).

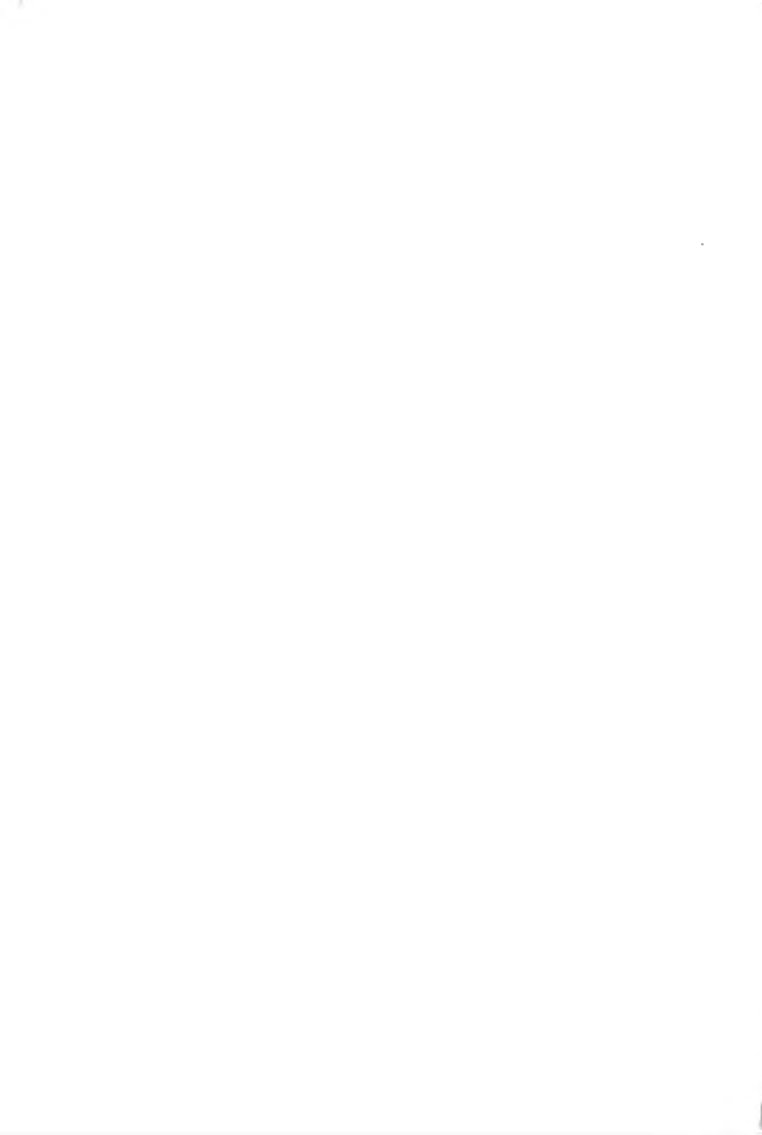


P 4137

RBINS 18751

vol 47

- dépliant (x1)



I. — Mission G. F. DE WITTE (1933-1935) (suite).

I. — Zending G. F. DE WITTE (1933-1935) (vervolg).

Fasc. Afl.	28. A. HUSTACHE (Lughy), <i>Curculionidae</i>	1939
Fasc. Afl.	29. A. JANSSENS (Bruxelles), <i>Copriini</i> (<i>Coleoptera Lamellicornia</i> , Fam. <i>Scarabaeidae</i>) ...	1940
Fasc. Afl.	30. L. BERGER (Bruxelles), <i>Lepidoptera-Rhopalocera</i>	1940
Fasc. Afl.	31. V. LABOISSIÈRE (Paris), <i>Galerucinae</i> (<i>Coleoptera Phytophaga</i> , Fam. <i>Chrysomelidae</i>)...	1940
Fasc. Afl.	32. V. LALLEMAND (Bruxelles), <i>Homoptera</i> (<i>Cicadidae</i> , <i>Cercopidae</i> , <i>Fulgoridae</i> , <i>Dictyophoridae</i> , <i>Ricaniidae</i> , <i>Cixiidae</i> , <i>Derbidae</i> , <i>Flatidae</i>)	1941
Fasc. Afl.	33. G. F. DE WITTE (Bruxelles), <i>Batraciens et Reptiles</i> , avec Introduction de V. VAN STRAELEN	1941
Fasc. Afl.	34. L. MADER (Wien), <i>Coccinellidae</i> : — I. Teil	1941
Fasc. Afl.	35. R. PAULIAN (Paris), <i>Aphodinae</i> (<i>Coleoptera Lamellicornia</i> , Fam. <i>Scarabaeidae</i>) ...	1942
Fasc. Afl.	36. A. VILLIERS (Paris), <i>Langurinae et Cladoxeninae</i> (<i>Coleoptera Clavicornia</i> , Fam. <i>Erotylidae</i>)	1942
Fasc. Afl.	37. L. BURGEON (Tervueren), <i>Chrysomelidae</i> (S. Fam. <i>Eumolpinae</i>)	1942
Fasc. Afl.	38. A. JANSSENS (Bruxelles), <i>Dynastinae</i> (<i>Coleoptera Lamellicornia</i> , Fam. <i>Scarabaeidae</i>).	1942
Fasc. Afl.	39. V. LABOISSIÈRE (Paris), <i>Hallicinae</i> (<i>Coleoptera Phytophaga</i> , Fam. <i>Chrysomelidae</i>).	1942
Fasc. Afl.	40. F. BORCHMANN (Hamburg), <i>Lagriidae und Alleculidae</i>	1942
Fasc. Afl.	41. H. DEBAUCHE (Louvain), <i>Lepidoptera Heterocera</i>	1942
Fasc. Afl.	42. E. UHMANN (Stollberg), <i>Hispinae</i>	1942
Fasc. Afl.	43. 1. <i>Pentastomida</i> , par R. HEYMONS (Berlin); 2. <i>Orthoptera: Phasmidae</i> , par K. GUENTHER (Dresden); 3. <i>Hemiptera: Membracidae</i> , by W. D. FUNKHOUSER (Lexington U.S.A.); 4. <i>Coleoptera: Silphidae</i> , par A. JANSSENS (Bruxelles); 5. <i>Dryopidae</i> , par J. DELEVÈ (Bruxelles); 6. <i>Lymexylonidae</i> , par L. BURGEON (Tervueren); 7. <i>Bostrychidae</i> , par P. LESNE (Paris); 8. <i>Geotrupinae</i> , par A. JANSSENS (Bruxelles); 9. <i>Cassidinae</i> , von F. SPAETH (Wien); 10. <i>Ipidae</i> , von H. EGGERS (Bad Nauheim); 11. <i>Platypodidae</i> , par K. E. SCHEDL (Hann. Münden); 12. <i>Hymenoptera: Sphegidae</i> , by G. ARNOLD (Bulawayo)...	1943
Fasc. Afl.	44. G. MARLIER (Bruxelles), <i>Trichoptera</i>	1943
Fasc. Afl.	45. H. SCHOUTEDEN (Tervueren), <i>Reduviidae, Emesidae, Heterocephalidae</i> (<i>Hemiptera Heteroptera</i>)	1944
Fasc. Afl.	46. R. PAULIAN (Paris), <i>Hybosoridae et Trogidae</i> (<i>Coleoptera Lamellicornia</i>)	1944

II. — Mission H. DAMAS (1935-1936).

II — Zending H. DAMAS (1935-1936).

Fasc. Afl.	1. H. DAMAS (Liège), <i>Recherches Hydrobiologiques dans les Lacs Kivu, Edouard et Ndalaga</i>	1937
Fasc. Afl.	2. W. ARNDT (Berlin), <i>Spongilliden</i>	1938
Fasc. Afl.	3. P. A. CHAPPUIS (Cluj, Roumanie), <i>Copépodes Harpacticoides</i>	1938
Fasc. Afl.	4. E. LELOUP (Bruxelles), <i>Moerisia Alberti</i> nov. sp. (<i>Hydropolype dulcicole</i>)	1938
Fasc. Afl.	5. P. DE BEAUCHAMP (Strasbourg), <i>Rotifères</i>	1939
Fasc. Afl.	6. M. POLL (Tervueren), avec la collaboration de H. DAMAS (Liège), <i>Poissons</i>	1939
Fasc. Afl.	7. V. BREHM (Eger), <i>Cladocera</i>	1939
Fasc. Afl.	8. W. CONRAD (Bruxelles), P. FREMY (St. Lô), F. HUSTEDT (Ploen) et A. PASCHER (Sous presse.) (Prague), <i>Algues</i> (Ter pers.)	1944
Fasc. Afl.	9. J. H. SCHUURMANS STEKHOVEN Jr (Utrecht), <i>Nématodes libres d'eau douce</i>	1944
Fasc. Afl.	10. J. H. SCHUURMANS STEKHOVEN Jr (Utrecht), <i>Nématodes parasites</i>	1944
Fasc. Afl.	11. G. MARLIER (Bruxelles), <i>Trichoptera</i>	1943
Fasc. Afl.	12. W. KLIE (Bad Pyrmont), <i>Ostracoda</i>	1944
Fasc. Afl.	13. G. MARLIER (Bruxelles), <i>Callemboles</i>	1944

III. — Mission P. SCHUMACHER (1933-1936).

III. — Zending P. SCHUMACHER (1933-1936).

Fasc. Afl.	1. P. SCHUMACHER (Antwerpen), <i>Die Kivu-Pygmäen und ihre Soziale Umwelt im Albert-Nationalpark</i>	1943
Fasc. Afl.	2. P. SCHUMACHER (Antwerpen), <i>Anthropometrische Aufnahmen bei den Kivu-Pygmäen</i> .	1939

IV. — Mission J. LEBRUN (1937-1938).

IV. — Zending J. LEBRUN (1937-1938).

Fasc. Afl.	1. J. LEBRUN (Bruxelles), <i>La végétation de la plaine alluviale au Sud du lac Edouard</i> (Sous presse.) (Ter pers.)	
Fasc. Afl.	2-5. (En préparation.) (In voorbereiding.)	
Fasc. Afl.	6. F. DEMARET et V. LEROY (Bruxelles), <i>Mousses</i>	1944
Fasc. Afl.	7. (En préparation.) (In voorbereiding.)	
Fasc. Afl.	8. P. VAN OYE (Gand), <i>Desmidiées</i>	1943

V. — Mission S. FRECHKOP (1937-1938).

V. — Zending S. FRECHKOP (1937-1938).

Fasc. Afl.	1. S. FRECHKOP (Bruxelles), <i>Mammifères</i>	1943
------------	--	------

**Exploration du Parc National Albert et du Parc National de la Kagera.
 Exploratie van het Nationaal Albert Park en van het Nationaal Park der Kagera.**

I. — Mission L. VAN DEN BERGHE (1936).		I. — Zending L. VAN DEN BERGHE (1936).	
Fasc. } 1. L. VAN DEN BERGHE (Anvers), <i>Enquête parasitologique. — I. — Parasites du sang</i>			
Afl. } <i>des vertébrés</i>			1942
Fasc. } 2. L. VAN DEN BERGHE (Anvers), <i>Enquête parasitologique. — II. — Helminthes parasites.</i>			1943
Afl. }			

Exploration du Parc National de la Kagera. — Exploratie van het Nationaal Park der Kagera.

I. — Mission J. LEBRUN (1937-1938).		I. — Zending J. LEBRUN (1937-1938).	
Fasc. } 1 à			(In voorbereiding.)
Afl. }			(En préparation.)
II. — Mission S. FRECHKOP (1938).		II. — Zending S. FRECHKOP (1938).	
Fasc. } 1. S. FRECHKOP (Bruxelles), <i>Mammifères</i>			1944
Afl. }			

**ASPECTS DE VEGETATION
 DES PARCS NATIONAUX DU CONGO BELGE**

AVIS

Les *Aspects de Végétation des Parcs Nationaux du Congo Belge* paraissent par fascicules de six planches, accompagnées de notices explicatives.
 La publication est divisée en séries, consacrées chacune à un *Parc National du Congo Belge*.
 La première série a pour objet le *Parc National Albert*.
 Les fascicules peuvent s'acquérir séparément.
 L'Institut des *Parcs Nationaux du Congo Belge* n'accepte aucun échange.

FASCICULES PARUS

SÉRIE I. — PARC NATIONAL ALBERT

Volume I.

Fasc. 1-2. — W. ROBYNS (Bruxelles), <i>Aperçu général de la végétation</i> (d'après la documentation photographique de la mission G. F. DE WITTE)	1937
Fasc. 3-4-5. — J. LEBRUN (Bruxelles), <i>La végétation du Nytragongo</i>	1942

PUBLICATIONS SÉPARÉES

<i>Mammifères et Oiseaux protégés au Congo Belge</i> , par S. FRECHKOP, avec Introduction de V. VAN STRAELEN	1937
<i>Contribution à l'étude de la Morphologie du Volcan Nyamuragira</i> , par R. HOIER (Rutshuru)	1939
<i>Animaux protégés au Congo Belge et dans le Territoire sous mandat du Ruanda-Urundi, ainsi que les espèces dont la protection est assurée en Afrique (y compris Madagascar) par la Convention Internationale de Londres du 8 novembre 1933 pour la protection de la Faune et de la Flore africaines, avec la Législation concernant la Chasse, la Pêche, la Protection de la Nature et les Parcs Nationaux au Congo Belge et dans le Territoire sous Mandat du Ruanda-Urundi</i> , par S. FRECHKOP, en collaboration avec G. F. DE WITTE, J.-P. HARROY et E. HUBERT, avec Introduction de V. VAN STRAELEN.	1941
<i>Beschermde Dieren in Belgisch Congo en in het Gebied onder mandaat van Ruanda-Urundi, evenals de Soorten waarvan de bescherming verzekerd is in Afrika (met inbegrip van Madagascar) door de Internationale Overeenkomst van Londen van 8 November 1933 voor de bescherming van de Afrikaansche Flora en Fauna, met de Wetgeving betreffende de Jacht, de Visschertij, de Natuurbescherming en de Nationale Parken van Belgisch Congo en in het Gebied onder mandaat van Ruanda-Urundi</i> , door S. FRECHKOP, in medewerking met G. F. DE WITTE, J.-P. HARROY en E. HUBERT, met Inleiding van V. VAN STRAELEN	1943

**VEGETATIEBEELDEN
 DER NATIONALE PARKEN VAN BELGISCH CONGO**

BERICHT

De *Vegetatiebeelden der Nationale Parken van Belgisch Congo* verschijnen in afleveringen van zes platen, van verklarende aantekeningen vergezeld.
 De publicatie is ingedeeld in reeksen, waarvan elke aan één der *Nationale Parken van Belgisch Congo* gewijd is.
 De eerste reeks handelt over het *Nationaal Albert Park*.
 De afleveringen kunnen afzonderlijk aangeschaft worden.
 Het *Instituut der Nationale Parken van Belgisch Congo* neemt geen ruilingen aan.

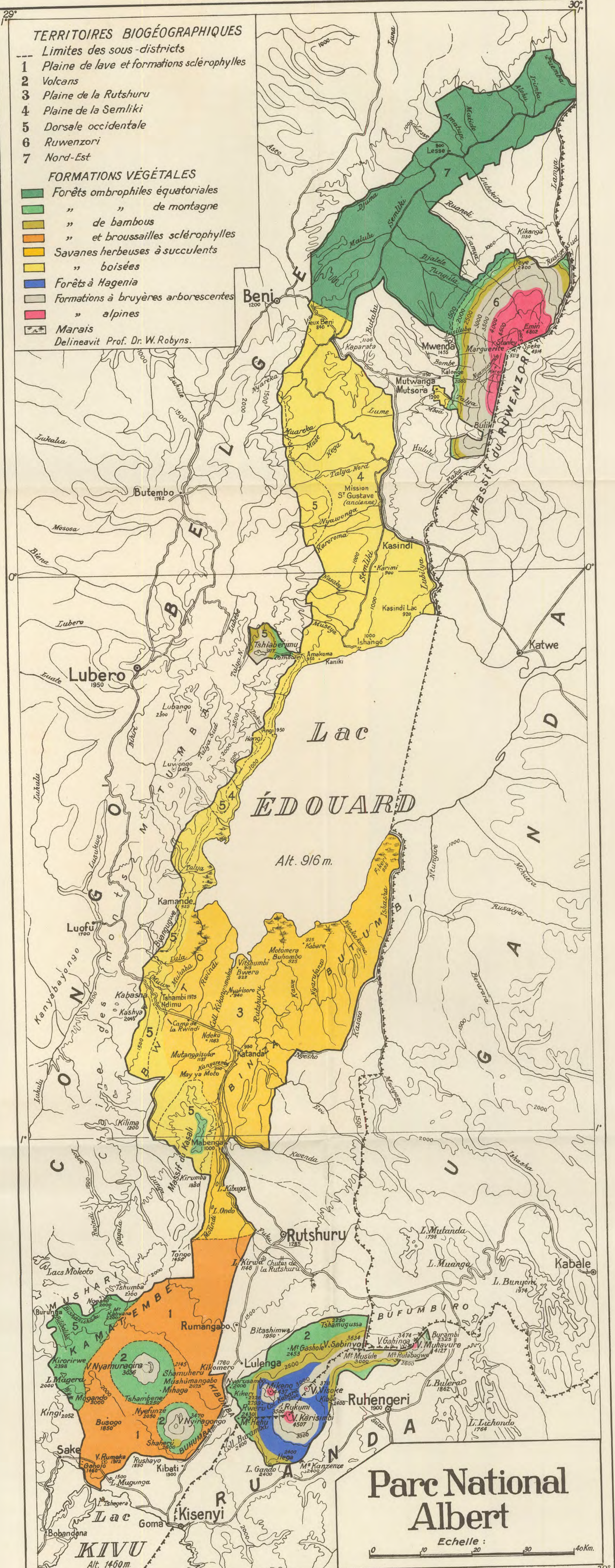
VERSCHEENEN AFLEVERINGEN

REEKS I. — NATIONAAL ALBERT PARK.

Boekdeel I.

Afl. 1-2. — W. ROBYNS (Brussel), <i>Algemeen overzicht der vegetatie</i> (volgens de fotografische documentatie der zending G. F. DE WITTE)	1937
--	------

LOSSE PUBLICATIES



Parc National Albert

Echelle : 0 10 20 30 40 Km.